

FACULTAD DE CIENCIA Y TECNOLOGÍA. ESCUELA DE INGENIERÍA CIVIL Y GERENCIA DE CONSTRUCCIONES.

Estudio de tráfico, diseño geométrico, diseño hidrológico, drenaje, diseño de pavimento y presupuesto de la vía San Fernando - Yaguarcocha, cantón San Fernando - provincia del Azuay, longitud de 4 kilómetros.

Trabajo de graduación previo a la obtención del título de:
INGENIERO CIVIL CON ÉNFASIS EN GERENCIA DE
CONSTRUCCIONES

Autores:

PAÚL ANDRÉS PEÑA CABRERA. CRISTOPHER RENÉ CABRERA GUAMBAÑA.

Director:

JUAN PABLO RIQUETTI MORALES

CUENCA, ECUADOR.

2016.

DEDICATORIA

A Dios por darme a las personas que amo en la vida, mi hermano Jean que en el lugar donde se encuentre, me da la voluntad, la fuerza de seguir adelante y nunca me ha dejado solo

A mi madre Nora, quien me inculco los mejores valores, la cual ha sido un ejemplo de lucha, superación, trabajo, me supo sacar adelante con todo su amor, esfuerzo y ha estado presente apoyándome toda mi vida y lo seguirá haciendo.

Mis abuelos Manuel y Rosa, los cuales constantemente me han demostrado su cariño.

Mi tío Pedro mi segundo padre el cual me quiso como a su hijo, ha velado por mí desde niño al igual que todos estos años

A mi padre Rene el cual me ha apoyado y me ha enseñado lo valioso que es ayudar al prójimo.

Mis hermanas Diana y Juliana al igual que a sus hijos, por el inmenso cariño que he recibido.

Mi padrino Ángel, mis tíos Wilson, Ruperto, Mariana, Leopoldina, Ligia ya que ellos son un ejemplo de trabajo, bondad, siempre me han apoyado económica y moralmente. A todos mis primos en especial a Steven

En fin, todos aquellos que me han ayudado para poder alcanzar una meta más en mi vida.

Cristopher Cabrera G.

Quiero dedicar esta tesis en primer lugar a Dios, luego a mis padres Marco y Ana, a mis hermanos Michelle y Johao que han sido la base fundamental en la realización de este proyecto. En especial a todas las personas que han influido de forma positiva en mi formación.

ÍNDICE DE CONTENIDOS

| DEDICATORIA | ii |
|---|-------|
| ÍNDICE DE CONTENIDOS | iii |
| ÍNDICE DE FIGURAS | x |
| ÍNDICE DE TABLAS | xiii |
| RESUMEN | xvii |
| ABSTRACT | xviii |
| INTRODUCCIÓN | 1 |
| | |
| CAPÍTULO I. ESTUDIOS PRELIMINARES | 3 |
| | |
| 1.1 Generalidades. | 3 |
| 1.1.1 Introducción | 3 |
| 1.1.2 Condiciones climáticas de la zona | 3 |
| 1.1.3 Localización, descripción y justificación del proyecto | 3 |
| 1.1.4 Estudio de las actividades socio económicos de la población | 4 |
| 1.2 Topografía. | 5 |
| 1.2.1 Introducción y definición | 5 |
| 1.2.2 Trazado de la poligonal | 5 |
| 1.2.3 Reconocimiento, ubicación de los puntos de inicio y fin de la carretera | 6 |
| 1.2.4 Levantamiento topográfico | 6 |
| 1.2.5 Curvas de nivel | 7 |

| 1.3 Estudio de suelos | |
|--|----|
| 1.3.1 Toma de muestras. | 7 |
| 1.3.2 Ensayos de laboratorio | 8 |
| 1.3.2.1 Análisis granulométrico. | 8 |
| 1.3.2.2 Limite líquido. | 8 |
| 1.3.2.3 Límite plástico. | 9 |
| 1.3.2.4 Índice de plasticidad. | 9 |
| 1.3.2.5 Índice de liquidez | 9 |
| 1.3.2.6 Contenido de humedad | 9 |
| 1.3.2.7 Carta de plasticidad. | 10 |
| 1.3.2.8 Proctor modificado | 11 |
| 1.3.2.9 Determinación del CBR | 11 |
| 1.3.3 Resultados de análisis de laboratorio. | 12 |
| 1.4 Estudio geológico. | 13 |
| 1.4.1 Introducción. | 13 |
| 1.4.2 Características geológicas de la zona | 14 |
| 1.4.3 Zonas de inestabilidad | 14 |
| 1.4.4 Conclusiones. | 14 |
| 1.4.5 Estudio de tráfico y población. | 15 |
| 1.4.5.1 Determinación del TPDA | 15 |
| 1.4.5.2 El factor horario. | 16 |
| 1.4.5.3 Factor diario. | 16 |
| 1.4.5.4 Factor semanal | 17 |

| 1.4.5.5 Factor mensual. | 17 |
|---|-----------------|
| 1.4.5.6 Tráfico existente | 18 |
| 1.4.5.7 Proyecciones del tráfico. | 18 |
| 1.4.6 Estudio de la población servida. | 19 |
| 1.4.6.1 Población demandante | 19 |
| 1.4.6.2 Población objetivo. | 19 |
| 1.4.7 Clasificación de la vía según su orden | 20 |
| 1.4.7.1 Clasificación administrativa | 20 |
| 1.4.7.2 Clasificación técnica oficial | 20 |
| 1.4.7.2.1 Clasificación por capacidad TPDA | 21 |
| 1.4.7.2.2 Clasificación por jerarquía vial | 21 |
| 1.4.7.2.3 Clasificación por la funcionalidad de la red vial | 22 |
| CAPÍTULO II. DISEÑO HORIZONTAL Y VERTICAL DE L | A VÍA 23 |
| 2.1 Dibujo y diseño | 23 |
| 2.1.1 Normas de diseño | 23 |
| 2.1.1.1 Derecho de vía. | 23 |
| 2.1.1.2 Sección transversal de la vía | 23 |
| 2.1.1.3 Ancho de corona | 24 |
| 2.1.1.4 Ancho de superficie de rodamiento | 24 |
| 2.1.1.5 Gradientes. | 25 |
| 2.1.1.6 Gradientes transversales. | 25 |

| 2.1.1.7 Velocidad de diseño | 25 |
|--|----|
| 2.1.1.8 Distancia de visibilidad de parada | 28 |
| 2.1.1.9 Desarrollo del peralte. | 32 |
| 2.1.1.10 Sobreancho | 35 |
| 2.1.1.11 Longitudes de curvas | 38 |
| 2.1.1.12 Grado de curvatura | 38 |
| 2.1.1.13 Curvas circulares. | 38 |
| 2.1.1.14 Curvas verticales. | 40 |
| 2.1.1.15 Curvas verticales cóncavas. | 41 |
| 2.1.1.16 Pendientes | 42 |
| 2.1.1.17 Taludes | 43 |
| 2.1.1.18 Cortes | 43 |
| 2.1.1.19 Rellenos | 44 |
| 2.1.1.20 Cálculo de volúmenes. | 44 |
| 2.1.1.21 Movimiento de terracerías | 44 |
| 2.1.1.22 Acarreo | 45 |
| 2.1.1.23 Sobre acarreo | 45 |
| 2.1.1.24 Préstamos y desperdicios. | 46 |
| 2.1.1.25 Curvas de masas. | 46 |
| 2.2 Diseño definitivo. | 47 |
| 2.2.1 Diseño Horizontal | 47 |
| 2.2.2 Diseño Vertical | 54 |
| 2 2 3 Diseño Transversal | 56 |

| 2.2.4 Sección Transversal. | 61 |
|--|----|
| 2.2.5 Materiales. | 62 |
| CAPÍTULO III: DISEÑO DE PAVIMENTO FLEXIBLE | 68 |
| 3.1 Variables de entrada | 68 |
| 3.1.1 Cargas equivalentes en el periodo de diseño | 68 |
| 3.1.1.1 LEF (Load Equivalent Factor) | 69 |
| 3.1.1.2 Factor de distribución por dirección | 69 |
| 3.1.1.3 Factor de distribución por carril | 70 |
| 3.1.1.4 Índice de servicialidad | 70 |
| 3.1.1.5 Factor camión. | 71 |
| 3.1.1.6 Factor de crecimiento. | 72 |
| 3.1.1.7 Cálculo de ejes equivalentes en el diseño | 73 |
| 3.2 Confiabilidad en el diseño. | 75 |
| 3.2.1 Desviación estándar del sistema. | 75 |
| 3.2.2 Módulo de resiliencia (Mr) | 76 |
| 3.2.3 Módulo de los materiales que forman el pavimento | 77 |
| 3.3 Diseño estructural del pavimento | 77 |
| 3.3.1 Determinación del número estructural requerido | 77 |
| 3.3.2 Coeficiente elástico de capas (ai) | 78 |
| 3.3.3 Factores de drenajes de capas (mi) | 80 |
| 3.3.4 Selección de los espesores de las capas | 81 |

| 3.4 Diseño del pavimento definitivo. | 83 |
|---|-----|
| CAPÍTULO IV: ESTUDIO HIDROLÓGICO | 95 |
| 4.1 Drenaje superficial | 95 |
| 4.1.1 Intensidad de lluvias máximas | 95 |
| 4.1.2 Caudal máximo para el diseño de estructuras de obra menor | 94 |
| 4.1.2.1 Coeficiente de Escorrentía | 95 |
| 4.1.2.2 Tiempo de Concentración | 95 |
| 4.1.2.3 Método empleado para la determinación del caudal | 95 |
| 4.2 Alcantarillas. | 102 |
| 4.2.1 Sección y tipo de alcantarillas | 102 |
| 4.2.2 Carga permisible de entrada (HEP) | 102 |
| 4.2.3 Velocidades máximas y mínimas en las alcantarillas | 102 |
| 4.2.4 Diseño de alcantarilla circular. | 103 |
| 4.2.4.1 Coeficiente de rugosidad (n) | 103 |
| 4.3 Drenaje subterráneo. | 104 |
| 4.3.1 Subdrenes | 104 |
| 4.3.1.1 Cálculo de caudal en los subdrenes | 105 |
| 4.3.1.2 Profundidad y espaciamiento | 105 |
| 4.3.1.3 Materiales y recomendaciones | 105 |
| 4.4 Cunetas | 106 |
| 4 4 1 Diseño de cunetas | 106 |

| 4.4.1.1 Cunetas laterales. | 106 |
|---|-----|
| 4.5 Estudio hidrológico e hidráulico del proyecto | 110 |
| 4.5.1 Test de Kolmogorov Smirmov. | 122 |
| 4.5.2 Diseño del caudal máximo. | 125 |
| 4.5.3 Diseño de cunetas | 127 |
| 4.5.4 Diseño hidráulico de cunetas | 128 |
| 4.5.5 Datos y resultados de cálculo. | 129 |
| 4.5.6 Diseño de alcantarillas. | 130 |
| 4.5.7 Flujo con control de salida. | 130 |
| 4.5.8 Cálculo de alcantarillas del proyecto | 134 |
| CAPÍTULO V: PRESUPUESTO | 135 |
| 5.1 Determinación de rubros | 135 |
| 5.2 Cantidades de obra | 136 |
| 5.2.1 Objetivos. | 136 |
| 5.2.2 Desarrollo. | 136 |
| 5.3 Análisis de precios unitarios. | 136 |
| | |
| CONCLUSIONES | 138 |
| BIBLIOGRAFÍA | 140 |
| ANEXOS | 142 |

ÍNDICE DE FIGURAS

| Figura 1. 1 Determinación del proyecto vial |
|--|
| Figura 1. 2 Carta de plasticidad |
| Figura 1. 3 Formaciones geológicas del Ecuador |
| Figura 1. 4 Características del camino Agrícola/ Forestal |
| Figura 2. 1 Gráfico de distancia de parada |
| Figura 2. 2 Distancia de visibilidad de parada terreno plano |
| Figura 2. 3 Distancia de visibilidad de parada en pendiente |
| Figura 2. 4 Peralte de acuerdo al tipo de área |
| Figura 2. 5 Esquema para determinar el sobreancho en un carril |
| Figura 2. 6 Composición de curva circular |
| Figura 2. 7 Representación de cálculo de curva de masa |
| Figura 2. 8 Creación de alineación |
| Figura 2. 9 Composición de alineación |
| Figura 2. 10 Norma de diseño de alineación |
| Figura 2. 11 Configuración de curva y espiral |
| Figura 2. 12 Configuración de radio por defecto para curva |
| Figura 2. 13 Selección de tangentes con curvas para el diseño |
| Figura 2. 14 Trazado de curvas entre tangentes |
| Figura 2. 15 Notificación de incumplimiento de norma |
| Figura 2. 16 Edición de etiquetas |
| Figura 2. 17 Valores predeterminados en etiquetas |

| Figura 2. 18 Creador de estilo de etiqueta en curva | 52 |
|--|----|
| Figura 2. 19 Vista de etiquetado | 53 |
| Figura 2. 20 Configuración de la etiqueta PI. | 53 |
| Figura 2. 21 Asignación de etiquetas al diseño | 54 |
| Figura 2. 22 Vista de etiqueta PI. | 54 |
| Figura 2. 23 Colocación del ancho de calzada | 55 |
| Figura 2. 24 Valores de diseño de calzada. | 56 |
| Figura 2. 25 Colocación del peralte en los carriles. | 56 |
| Figura 2. 26 Creación del perfil de terreno | 57 |
| Figura 2. 27 Creación de perfil de diseño. | 58 |
| Figura 2. 28 Configuración de curva vertical. | 58 |
| Figura 2. 29 Diseño con la opción tangente con curva | 59 |
| Figura 2. 30 Creación de la sección transversal. | 59 |
| Figura 2. 31 Eje transversal de la calzada | 60 |
| Figura 2. 32 Sección transversal de la vía. | 60 |
| Figura 2. 33 Propiedades del ensamblaje | 61 |
| Figura 2. 34 Configuración de la calzada | 61 |
| Figura 2. 35 Configuración de la cuneta. | 62 |
| Figura 2. 36 Configuración del talud derecho. | 62 |
| Figura 2. 37 Sección definitiva del proyecto | 63 |
| Figura 2. 38 Creación de la obra lineal | 63 |
| Figura 2. 39 Asignación de objetivos en la obra lineal | 64 |
| Figura 2. 40 Creación de las líneas de muestreo. | 64 |

| Figura 2. 41 Vista de sección transversal por lineas de muestreo | 65 |
|--|-----|
| Figura 2. 42 Configuración para el cálculo de materiales | 66 |
| Figura 2. 43 Configuración de los materiales empleados | 66 |
| Figura 3. 1 Peso y tipo de vehículos motorizados | 68 |
| Figura 3. 2 Gráfica del módulo de resilencia | 76 |
| Figura 3. 3 Nomograma para el diseño de pavimento flexible | 78 |
| Figura 3. 4 Esquema del número estructural. | 82 |
| Figura 3. 5 Grafica percentil-CBR. | 86 |
| Figura 3. 6 Entrada de datos programa AASHTO93 | 87 |
| Figura 3. 7 Verificación del número estructural | 89 |
| Figura 3. 8 Numero estructural de la base | 91 |
| Figura 3. 9 Número estructural de la subbase. | 91 |
| Figura 3. 10 Número estructural de la subrasante | 92 |
| Figura 4. 1 Anuario meteorológico 2011 | 95 |
| Figura 4. 2 Curvas de intensidad de lluvia | 96 |
| Figura 4. 3 Curvas de intensidad de lluvia Estación M142 | 97 |
| Figura 4. 4 Zonificación de intensidad de lluvias | 98 |
| Figura 4. 5 Ecuaciones representativas de la zona | 99 |
| Figura 4. 6 Cuneta tipo. | 126 |
| Figura 4. 7 Flujo con control de salida | 131 |
| Figura 4. 8 Valor de Ke | 133 |
| Figura 4. 9 Longitud de quebrada en el sector de María Auxiliadora | 134 |
| Figura 4, 10 Longitud de quebrada en el sector de Yaguarcocha | 134 |

INDICE DE TABLAS

| Tabla 1. 1 Ubicación del proyecto vial | 4 |
|--|----|
| Tabla 1.2 Percentiles de resistencia respecto al tráfico | 12 |
| Tabla 1. 3 Conteo automático vehicular | 15 |
| Tabla 1. 4 Consumo de combustibles de la provincia del Azuay | 17 |
| Tabla 1. 5 Clasificación Funcional de las vías en base al TPDAd | 20 |
| Tabla 2. 1 Clasificación del ancho de calzada según el TPDA | 24 |
| Tabla 2. 2 Clasificación de superficies de rodadura | 25 |
| Tabla 2. 3 Clasificación de velocidad de diseño según el TPDA | 27 |
| Tabla 2. 4 Clasificación del radio y grado de curva | 28 |
| Tabla 2. 5 Distancia de parada para pendientes de 3%,6% y 9% | 32 |
| Tabla 2. 6 Gradiente longitudinal para el desarrollo del peralte | 34 |
| Tabla 2. 7 Peralte de acuerdo al radio y velocidad de diseño | 35 |
| Tabla 2. 8 Sobreancho de acuerdo a radio y velocidad | 37 |
| Tabla 2. 9 Valor de K para curva vertical convexa | 41 |
| Tabla 2. 10 Valor de K para curva vertical cóncava | 42 |
| Tabla 2. 11 Diseño recomendable para taludes | 43 |
| Tabla 2. 12 Longitud de acarreo de acuerdo al tipo de máquina | 45 |
| Tabla 3. 1 Factor de distribución por carril | 69 |
| Tabla 3. 2 Factor de distribución por carril | 70 |
| Tabla 3. 3 Factores equivalentes de carga. | 71 |
| Tabla 3 4 Factores de crecimiento de tránsito | 73 |

| Tabla 3. 5 Cálculo de ejes equivalentes de diseño | 74 |
|---|----|
| Tabla 3. 6 Confiabilidad de diseño | 75 |
| Tabla 3. 7 Desviación Estándar del sistema. | 76 |
| Tabla 3. 8 Coeficiente elástico para carpeta asfáltica | 78 |
| Tabla 3. 9 Coeficiente elástico para base y subbase | 79 |
| Tabla 3. 10 Calidad de drenaje y tiempo de evacuación de agua | 80 |
| Tabla 3. 11 Selección del coeficiente de drenaje | 80 |
| Tabla 3. 12 Espesores mínimos sugeridos | 81 |
| Tabla 3. 13 Tipos de vehículos | 83 |
| Tabla 3. 14 Cantidad de TPDA | 83 |
| Tabla 3. 15 Factores de crecimiento | 84 |
| Tabla 3. 16 Cantidad de LEF | 84 |
| Tabla 3. 17 Número de ESALS | 85 |
| Tabla 3. 18 Trafico de Diseño | 85 |
| Tabla 3. 19 Percentil de diseño de subrasante | 85 |
| Tabla 3. 20 % CBR-Percentil | 86 |
| Tabla 3.21 Calculo del factor de equivalencia de carga | 88 |
| Tabla 3. 22 Clasificación de los vehículos | 88 |
| Tabla 3. 23 Obtención de los ESALS | 89 |
| Tabla 3. 24 Aplicación de los factores y distribución de carril | 89 |
| Tabla 3. 25 Materiales y porcentaje de CBR | 90 |
| Tabla 3. 26 Porcentaje de CBR y Modulo de resiliencia | 90 |
| Tabla 3, 27 Módulo de resiliencia de cada capa | 92 |

| Tabla 3. 28 Sumatoria de cada número estructural | 93 |
|--|-----|
| Tabla 3. 29 Espesores de cada capa. | 94 |
| Tabla 4. 1 Coeficiente de escorrentía | 100 |
| Tabla 4. 2 Velocidad máxima erosiva en cunetas | 102 |
| Tabla 4. 3 Coeficiente de rugosidad | 103 |
| Tabla 4. 4 Espaciamiento de Subdrenes | 105 |
| Tabla 4. 5 Valores del coeficiente de rugosidad o de Manning | 107 |
| Tabla 4. 6 Características de cuneta triangular | 109 |
| Tabla 4. 7 Velocidad máxima admisible en canales y cunetas | 109 |
| Tabla 4. 8 Anuario meteorologico 1991 | 110 |
| Tabla 4. 9 Anuario meteorologico 1992 | 110 |
| Tabla 4. 10 Anuario meteorologico 1993 | 111 |
| Tabla 4. 11 Anuario meteorologico 1994 | 111 |
| Tabla 4. 12 Anuario meteorologico 1995 | 112 |
| Tabla 4. 13 Anuario meteorologico 1996 | 112 |
| Tabla 4. 14 Anuario meteorologico 1997 | 113 |
| Tabla 4. 15 Anuario meteorologico 1998 | 113 |
| Tabla 4. 16 Anuario meteorologico 1999. | 114 |
| Tabla 4.17 Anuario meteorologico 2000. | 114 |
| Tabla 4. 18 Anuario meteorologico 2001 | 115 |
| Tabla 4. 19 Anuario meteorologico 2002 | 115 |
| Tabla 4. 20 Anuario meteorologico 2003 | 116 |
| Tabla 4, 21 Anuario meteorologico 2004 | 116 |

| Tabla 4. 22 Anuario meteorologico 2005 | 117 |
|---|-----|
| Tabla 4. 23 Anuario meteorologico 2006. | 117 |
| Tabla 4. 24 Anuario meteorológico 2007 | 118 |
| Tabla 4. 25 Anuario meteorológico 2008. | 118 |
| Tabla 4. 26 Anuario meteorológico 2009 | 119 |
| Tabla 4. 27 Anuario meteorológico 2010 | 119 |
| Tabla 4. 28 Año y precipitación máxima correspondiente | 120 |
| Tabla 4. 29 Muestra y orden de precipitación máxima | 120 |
| Tabla 4. 30 Valores calculados para el método de Gumbel | 122 |
| Tabla 4. 31 Valores obtenidos del Test de Kolmogorov-Smirmov | 123 |
| Tabla 4. 32 Distribución del estadístico del Test de Kolmogorov | 124 |
| Tabla 5.1 Formato para costos | 137 |

ESTUDIO DE TRÁFICO, DISEÑO GEOMÉTRICO, DISEÑO HIDROLÓGICO, DRENAJE, DISEÑO DE PAVIMENTO Y PRESUPUESTO DE LA VÍA SAN FERNANDO - YAGUARCOCHA, CANTÓN SAN FERNANDO - PROVINCIA DEL AZUAY, LONGITUD DE 4 KILÓMETROS.

RESUMEN

La zona determinada como Yaguarcocha (Parroquia San Fernando, cantón San Fernando, provincia del Azuay, Ecuador) posee un desarrollado sector ganadero, que genera un gran porcentaje de lácteos para el consumo de la Provincia del Oro, por lo que es necesario mejorar la vía existente para reducir el tiempo de transporte de los productos. Para esto se realizara un diseño preliminar que incluye el estudio de tráfico, diseño geométrico, diseño hidrológico, drenaje, diseño de pavimento y la estimación del presupuesto para el proyecto vial San Fernando – Yaguarcocha.

Palabras clave: Mejorar, vía existente, diseño geométrico, diseño hidrológico, drenaje, pavimento, presupuesto.

Juan Pablo Riquetti Morales

Director de Titulación

Paúl Cornelio Cordero Díaz

Director de Escuela

Paúl Andrés Peña Cabrera

Cristopher René Cabrera Guambaña

Autores

TRAFFIC STUDY, GEOMETRIC DESIGN, HYDROLOGIC DESIGN, DRAINAGE, PAVEMENT DESIGN, AND BUDGET ESTIMATE FOR SAN FERNANDO – YAGUARCOCHA ROAD, SAN FERNANDO CANTON - AZUAY PROVINCE, 4 KILOMETERS LONG.

ABSTRACT

The area known as Yaguarcocha (San Fernando Parrish, San Fernando Canton, Azuay Province, Ecuador) has a developed livestock sector which produces a large percentage of the milk consumed in El Oro Province; therefore, it is necessary to improve the existing road so as to reduce the transport time of the products. In order to accomplish this objective, a preliminary design that includes traffic study, geometric design, hydrologic design, drainage, pavement design and budget estimate for the San Fernando — Yaguarcocha highway project will be carried out.

Keywords: Improvements, Existing Road, Geometric Design, Hydrologic Design. Drainage, **Pave**ment, Budget.

Juan Pablo Riquețti Morales

Thesis Director

Paúl Andrés Peña Cabrera

AZUAY

Dpto. Idiomas

Paúl Cornelio Cordero Díaz School Director

Cristopher René Cabrera Guambaña

Authors

Lic. Lourdes Crespo

Peña Cabrera Paúl Andrés,

Cabrera Guambaña Cristopher René

Trabajo de Titulación

Ing. Juan Pablo Riquetti, Msc.

Junio, 2016

ESTUDIO DE TRÁFICO, DISEÑO GEOMÉTRICO, DISEÑO HIDROLÓGICO, DRENAJE, DISEÑO DE PAVIMENTO Y PRESUPUESTO DE LA VÍA SAN FERNANDO - YAGUARCOCHA, CANTÓN SAN FERNANDO - PROVINCIA DEL AZUAY, LONGITUD DE 4 KILÓMETROS.

INTRODUCCIÓN

En primera instancia se realizará un análisis del estado actual de la vía para luego proceder a hacer un estudio de tráfico (TPDA) que nos servirá para hacer un estimado del flujo vehicular en la zona, en segunda instancia tenemos que realizar un levantamiento topográfico de todo el trayecto que se va a construir para saber el estado actual de la calzada, luego se procederá a realizar los estudios de suelos que nos ayudará a determinar con qué tipo de estrato estamos trabajando y la capacidad resistente del suelo.

Posteriormente realizaremos el diseño del sistema de drenaje necesario para un buen manejo de las aguas lluvias, tanto desde su recolección hasta su disposición hacia alguna fuente hidrográfica.

Por último con todos los datos que se han obtenido, se diseñará los espesores del pavimento flexible, base, sub base, mejoramiento, necesarios para su construcción.

OBJETIVOS GENERALES

 Diseñar el pavimento flexible más eficiente para la vía San Fernando-Yaguarcocha, de 4 km de longitud.

OBJETIVOS ESPECÍFICOS

- Determinar la poligonal.
- Establecer el aforo vehicular en la vía.
- Determinar el adecuado trazado y diseño geométrico para el tramo de vía.
- Determinar las propiedades geotécnicas de la subrasante según la Norma Ecuatoriana Vial. (MTOP, 2013)
- Determinar el estado actual de la vía, dimensiones.
- Aplicar la metodología para determinar la estructura del pavimento.
- Determinar el estado de las alcantarillas, dimensiones y composición.
- Determinar el presupuesto necesario para realizar el proyecto.
- Entregar proyecto finalizado.

ALCANCES Y RESULTADOS

Con la aplicación de cada una de las especificaciones en los diferentes estudios realizados, se obtendrá un mejor diseño que ayudará a optimizar los recursos que se requieren para su construcción, a más de garantizar un buen desempeño y una durabilidad de tal manera que sea un beneficio para la sociedad

CAPITULO 1

ESTUDIOS PRELIMINARES

1.1 Generalidades

1.1.1 Introducción a los estudios preliminares

La presente tiene como finalidad tener un conocimiento general del proyecto, tomando en cuenta la ubicación, condiciones climáticas, y las principales formas de producción en el sector, además de conocer cuáles son los principales problemas que se pueden solucionar con la implantación del proyecto vial.

1.1.2 Condiciones climáticas de la zona

Para la estimación de las condiciones meteorológicas se ha tomado datos del INAHMI en su publicación denominado anuario meteorológico (INAMHI), para lo cual se basó en datos de la estación Pucara-Colegio Técnico Agropecuario (MB86), se escogió la misma debido a la similitud de características climáticas entre los cantones Pucará y San Fernando, por lo que se tomaron los siguientes datos: precipitación anual de 1014 mm.

1.1.3 Localización, descripción y justificación del proyecto

El proyecto vial está localizado entre las comunidades San Francisco y Yaguarcocha, en el cantón San Fernando, Provincia del Azuay en la siguiente grafica (Figura 1.1) se presenta su ubicación.



Figura 1. 1 Determinación del proyecto vial

Fuente: Google Earth, 2016.

Tabla 1. 1 Ubicación del proyecto vial

| Comunidad | Latitud | Longitud | Cota | |
|---------------|------------|-------------|------|--|
| | 9652246.78 | 693942.55 m | 2745 | |
| San Francisco | m S | Е | | |
| | 9652760.16 | 693263.37 m | 2822 | |
| Yaguarcocha | m S | Е | 2822 | |

En el sector, al existir una vía que es de vital importancia para el traslado de distintos tipos de materiales hacia los cantones de Santa Isabel y Pucará, al estar en mal estado dificulta el transporte de materiales, además de un problema de levantamiento de polvo que perjudica a los habitantes de las viviendas colindantes, provocando problemas respiratorios y a menudo se presentan baches que disminuyen la velocidad de circulación de los vehículos.

1.1.4 Estudio de las actividades socioeconómicas de la población

La principal actividad económica que se desarrolla en el sector es la ganadera, siendo la producción de leche y sus derivados la más destacada del cantón. También la compra y venta de ganado, es un factor productivo que aporte al mejoramiento de la economía del cantón. Dentro del campo agrícola esta la siembra de papas, maíz que son los más destacados. (Dirección financiera del G.A.D de San Fernando, 2014).

1.1 Topografía

1.2.1 Introducción y definición

Para la realización de los estudios topográficos es necesario coordinar con la población que está siendo beneficiada, tratando de recabar datos históricos como los principales problemas que se pueden dar en quebradas, ríos y especialmente con el comportamiento de fallas geológicas presentes en el trayecto de vía. La topografía se puede definir como la caracterización física de la vía, ya que comprende el "alineamiento horizontal, sus pendientes, sus distancias de visibilidad y sus secciones transversales". (MTOP, 2013).

1.2.2 Trazado de la poligonal

El trazado de la poligonal es uno de los pasos generales desde los cuales su busca establecer "puntos de control y puntos de apoyo para el levantamiento de detalles, replanteo de proyectos". (Casanova, 2012).

Las poligonales pueden ser de dos tipos: la poligonal abierta y la poligonal cerrada. Dentro de la aplicación de los distintos tipos de poligonales, están para replanteos viales la poligonal abierta que en si es la más fácil comprende los siguientes procedimientos:

A. Cálculo de acimutes o rumbos entre alineaciones (ley de propagación de los acimutes).

La ley de la propagación de los acimutes trata que a partir de un acimut conocido, conocer el valor de los acimutes desconocidos.

- B. Cálculo de las proyecciones de los lados
- C. Cálculo de las coordenadas de los vértices.

1.2.3 Reconocimiento y ubicación de los puntos de inicio y fin de la carretera

Procedemos a realizar el siguiente procedimiento:

- Primero colocamos puntos inicial (Xo) y final (Xf) y tomamos sus coordenadas.
- Se toman puntos de apoyo para Xo que serán los siguientes:
- ➤ Primer punto de apoyo de Xo (Apo1)=por lo general se toman casas adyacentes o cualquier tipo de referencia visible.
- > Segundo punto de apoyo de Xo (Apo2)=Se suele poner estacas al borde de la vía
 - Se toman puntos de apoyo para Xo que serán los siguientes:
- ➤ Primer punto de apoyo de Xf (Apf1)=por lo general se toman casas adyacentes o cualquier tipo de referencia visible.
- Segundo punto de apoyo de Xf (Apf2)=Se suele poner estacas al borde de la vía
 De los puntos antes mencionados se toman las coordenadas respectivas.
 - Luego se toma como referencia Apo1 se coloca la estación en ese punto y se hace girar en sentido horario hasta el punto p0 teniendo así el ángulo horizontal, de la misma forma se saca el ángulo horizontal para el caso del punto final.

1.2.4 Levantamiento topográfico

En el proyecto vial fue necesario para realizar el levantamiento topográfico, tomar como referencia el punto inicial Xo con el cual empezamos a relacionar con los diferentes puntos que se encontraban más adelante de tal manera de enlazarse con el punto final, estos puntos de enlace se los hace considerando un cambio de estación, de la misma forma se fueron tomando puntos de referencia a los costados del eje vial a una distancia de 20m, para lo cual todos los puntos que se tomaron estarán en coordenadas Universal Transverse Mercator (UTM) en el elipsoide WGS84.

1.2.4 Curvas de nivel

Las curvas de nivel dentro del estudio topográfico constituyen una parte fundamental dentro de la determinación de las cotas, e inclinaciones (pendientes) en un proyecto, pero antes necesitamos conocer cuál es el significado de una curva de nivel. Para Leonardo Casanova en su libro "Topografía Plana" define : a la curva de nivel como la traza que una superficie de terreno marcada sobre un plano horizontal que la intersecta, o como una línea continua que une puntos de igual cota o elevación.

Para esto se considera una equidistancia es decir que la altura o separación vertical entre cote y cota es igual para conocer dicha distancia definiremos la siguiente ecuación:

Equidistancia=(Escala con la que se trabaja)/(1000) (Casanova, 2012).

Existen distintos métodos para estimar las distancias horizontales entre las curvas de nivel en este caso citaremos el método analítico que aplicamos en nuestro caso.

1.3 Estudio de suelos

1.3.1 Toma de muestras

La toma de muestras es un procedimiento básico para poder analizar las propiedades del suelo.

El procedimiento que se sigue para el muestreo es el siguiente, siguiendo el eje de la vía desde el punto inicial del proyecto vial, haciendo excavaciones (calicatas) cada 500 m y con una profundidad de 1.5m, el material recolectado será el que se emplee para realizar los ensayos de laboratorio para definir la factibilidad del proyecto. (MTOP, 2013).

1.3.2 Ensayos de laboratorio

Con el material recolectado mediante el muestreo, procedemos a realizar ensayos en el laboratorio los mismos que comprenden: análisis granulométrico, límite líquido, límite plástico, contenido de humedad y la determinación del CBR (California Bearing Ratio), con los valores obtenidos podemos comparar con un modelo que está establecido por un sistemas definido que pueden ser la clasificación AASHTO(American Association State Highway and Transportation Officials) que generalmente es usada para proyectos viales y otro caso puede ser la SUCS que es menos usada.

1.3.2.1 Análisis Granulométrico

Realizamos los ensayos enmarcados en la siguiente categorización:

Los porcentajes retenidos el tamiz Nº4 se consideran gravas

Los porcentajes que pasan el tamiz Nº 4 y retenidos en el tamiz #200 son arenas

Los porcentajes que pasan el en el tamiz #200 son considerados limos y arcillas

Basados en las Normas INEN, ASTM Y AASHTO.

1.3.2.2 Límite Líquido

El limite líquido se define como la humedad donde por encima del suelo esta como fluido viscoso y por debajo de ella se encuentra en estado plástico. Para el límite líquido se emplea un aparato denominado Cuchara de casa grande que nos sirve para determinar la humedad del suelo, el procedimiento consta en que con 25 golpes del aparato (Cuchara de casa grande) el suelo se una 1.27 cm. (Das).

El limite líquido siempre es mayor que el límite plástico.

1.3.2.3 Límite Plástico

El límite plástico se lo define como el contenido de humedad, con el cual el suelo al ser enrollado en rollos de 3.2mm se agrieta. (Das)

L.P=Limite plástico

L.L=Límite Líquido.

1.3.2.4 Índice de plasticidad

Este término se relaciona con la diferencia entre los porcentajes de límite líquido y límite plástico.

El valor del IP es siempre positivo, entero y porcentual.

1.3.2.5 Índice de liquidez

Es un parámetro que nos sirve para determinar el estado de consistencia del suelo, obtenido a partir de la siguiente expresión: (Das).

I. L. =
$$\frac{WN-L.P}{L.P}$$
(Ecuación2)

Donde WN = Contenido de Humedad natural del suelo en el sitio.

1.3.2.6 Contenido de humedad

El contenido de humedad se refiere el porcentaje de humedad que está contenida en la muestra de suelo. (Das)

$$WN = \frac{WHumedo}{WSeco} * 10$$
(Ecuación3).

W húmedo= Peso húmedo de la muestra de suelo contenido del recipiente menos el peso seco del suelo en el recipiente.

Wseco= Peso seco del suelo del recipiente-peso de recipiente.

1.3.2.7 Carta de plasticidad. (Método de la SUCS)

Se trata de una tabla que separa las arcillas inorgánicas de los limos inorgánicos mediante una línea A, en la parte de arriba de la línea A se encuentran las arcillas inorgánicas y debajo los limos inorgánicos. Esta carta relaciona el índice de plasticidad con el limite líquido es así que para limites líquidos entre 10 y 30 en el caso de las arcillas están los de baja plasticidad, para el caso de los limos están los de baja compresibilidad, con limites líquidos mayores 30 y menores a 50 están los de mediana plasticidad y compresibilidad, con limites líquidos mayores a 50 están los de alta plasticidad y alta compresibilidad. (Das).

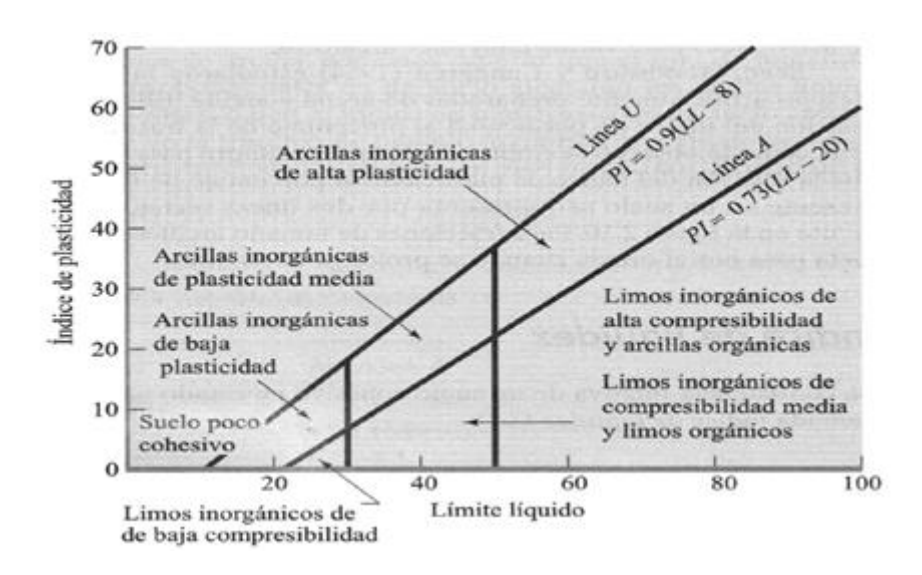


Figura 1. 2 Carta de plasticidad

Fuente: Das.

1.3.2.8 Proctor modificado

Este método también es conocido como relación humedad-densidad de suelos se usa un martillo de 4.54 Kg (10lb) y se deja caer a una altura de 45.7cm (ASTM D 1557-78). Mediante el γd seco máximo obtuvimos la W óptima.

1.3.2.9 Determinación del CBR

Para la determinación del CBR (Índice de Soporte de California) es necesario referirnos a las especificaciones del MTOP en la NEVI 12 Volumen 2-B, donde se define al CBR como la relación entre la tensión mecánica para penetrar 0.1" en un material dado y la tensión mecánica tensión necesario para la misma penetración en un material arbitrario adoptado como patrón.

$$\%CBR = \frac{\sigma_{0.1"}muestra}{\sigma_{0.1"}patr\'{o}n}$$

Además, en la misma norma considera que se deben realizar 3 tipos de ensayos como:

- Ensayo de compactación.
- Ensayo de esponjamiento (expansión).
- Ensayo de penetración.

Otro factor que está ligado con el %CBR es el Modulo de Resiliencia que representa el esfuerzo y la deformación recuperable en el ensayo triaxial.

Además para tener una proyección del %CBR que vamos a tomar en cuenta debemos conocer el número de ejes de 8.2 toneladas por carril de diseño, y de esta manera poder elegir el percentil con el que vamos a trabajar.

Tabla 1.2 Percentiles de resistencia respecto al tráfico

| Número de ejes de 8.2T en el carril de diseño | Percentil a seleccionar para hallar la resistencia | | | | |
|--|---|--|--|--|--|
| <10 ⁴ | 60 | | | | |
| 10⁴ - 10 ⁶ | 75 | | | | |
| > 10 ⁶ | 87.5 | | | | |

Fuente: MTOP,2013.

1.3.3 Resultados del Análisis de Laboratorio

Los resultados del análisis de Laboratorio se encuentran el ANEXO H.

1.4 Estudios geológicos

1.4.1 Introducción

La geología del Cantón San Fernando está conformada por la formación Tarqui como se puede observar en la figura (GEO-01).



Figura 1. 3 Formaciones geológicas del Ecuador

Fuente: GEO-01.

1.4.2 Características geológicas de la zona

El cantón San Fernando existen afloramientos del cuaternario y terciario generados en el Neógeno que están entre la edad entre en el plioceno y pleistoceno que se distribuyen en todo el territorio del cantón.

1.4.3 Zonas de inestabilidad

Las zonas de inestabilidad se pueden relacionar con los principales problemas estructurales que se presentan a lo largo del proyecto vial, entre los cuales se destacan deslizamientos por la inestabilidad de taludes y en algunos sectores se presentan hundimientos por la presencia de sequias que no están bien conducidas.

1.4.4 Conclusiones

Tomando en cuenta nuestro proyecto a la altura del tramo 3+000, se presentan pequeños deslizamientos que en época invernal son un problema constante debido a la obstaculización vial y a la altura del tramo 3+700 se presenta un hundimiento por la presencia de sequias que no tienen una correcta conducción por lo que afectan de manera directa a la vía. La Formación Tarqui está formada por rocas piro clásticas ácidas principalmente compuestas por flujos obscuros de granos finos de composición andesita.

Por lo general esta formación es muy compacta, no se presentan grandes desplazamientos, y en si presenta grandes características, al ser una toba riolítica o también denominada piedra de cantera, su uso en todo tipo de construcción es de gran uso debido a la dureza y resistencia que presenta.

1.4.5 Estudio de tráfico

1.4.5.1 Determinación del TPDA

El TPDA por sus siglas se define como Tráfico Promedio Diario Anual, representa el tráfico total que circula en un año, dividido para 365, es decir el tráfico promedio por día.

Para la determinación del TPDA emplearemos el método de los factores, para esto necesitamos tener el conteo automático el mismo que obtuvimos del departamento de factibilidad del Ministerio de Transporte y Obras Públicas.

Tabla 1. 3 Conteo automático vehicular.

DIRECCION DE ESTUDIOS - DEPARTAMENTO DE FACTIBILIDAD - MTOP CONTEO AUTOMATICO DE TRAFICO

CARRETERA: SAN FERNANDO - YAGUARCOCHA FECHA: SEMANA 16 AL 22 DE NOVIEMBRE DEL 2015 TRAMO: SAN FERNANDO - YAGUARCOCHA

UBICACIÓN: KM 2 VIA A Shaglli

| HORAS | LUNES | MARTES | MIERCOLES | JUEVES | VIERNES | SABADO | DOMINGO |
|-------------|-------|--------|-----------|--------|---------|--------|---------|
| 00:00-01:00 | 20 | 47 | 28 | 18 | 45 | 66 | 94 |
| 01:00-02:00 | 12 | 25 | 20 | 21 | 35 | 45 | 58 |
| 02:00-03:00 | 8 | 10 | 5 | 10 | 40 | 49 | 97 |
| 03:00-04:00 | 10 | 25 | 16 | 18 | 25 | 26 | 70 |
| 04:00-05:00 | 30 | 26 | 29 | 31 | 24 | 40 | 35 |
| 05:00-06:00 | 52 | 48 | 39 | 40 | 45 | 50 | 57 |
| 06:00-07:00 | 120 | 124 | 122 | 128 | 98 | 115 | 93 |
| 07:00-08:00 | 248 | 239 | 236 | 241 | 201 | 189 | 106 |
| 08:00-09:00 | 228 | 208 | 189 | 201 | 187 | 186 | 200 |
| 09:00-10:00 | 194 | 194 | 200 | 198 | 198 | 222 | 217 |
| 10:00-11:00 | 198 | 215 | 227 | 215 | 225 | 268 | 336 |
| 11:00-12:00 | 210 | 209 | 223 | 210 | 228 | 269 | 252 |
| 12:00-13:00 | 202 | 239 | 216 | 208 | 239 | 279 | 394 |
| 13:00-14:00 | 259 | 230 | 223 | 210 | 288 | 335 | 310 |
| 14:00-15:00 | 240 | 275 | 238 | 222 | 226 | 354 | 458 |
| 15:00-16:00 | 277 | 250 | 235 | 241 | 299 | 337 | 330 |
| 16:00-17:00 | 232 | 242 | 230 | 239 | 320 | 280 | 295 |
| 17:00-18:00 | 249 | 264 | 251 | 249 | 309 | 422 | 368 |

| 18:00-19:00 | 273 | 200 | 190 | 180 | 273 | 369 | 408 |
|-------------|--------|--------|--------|--------|--------|--------|--------|
| 19:00-20:00 | 186 | 173 | 164 | 157 | 225 | 230 | 190 |
| 20:00-21:00 | 154 | 155 | 147 | 135 | 213 | 209 | 189 |
| 21:00-22:00 | 130 | 107 | 102 | 99 | 159 | 186 | 134 |
| 22:00-23:00 | 100 | 79 | 75 | 61 | 130 | 163 | 63 |
| 23:00-24:00 | 68 | 54 | 50 | 20 | 75 | 98 | 40 |
| TOTALES | 3700 | 3638 | 3455 | 3352 | 4107 | 4787 | 4794 |
| % | 13.29% | 13.07% | 12.41% | 12.04% | 14.76% | 17.20% | 17.22% |

Se lo realiza a través de conteos manuales durante 7 días seguidos sin que se cuente con que hayan sucedido eventos especiales. (MTOP, 2003). Adjunto en el ANEXOA.

El tráfico observado (TO) en nuestro proyecto es la suma de los conteos manuales de todos los días de la semana, por lo tanto el TO es de 2250 vehículos y no se tomó en cuenta las 611 motocicletas.

1.4.5.2 El Factor horario (FH)

Transforma el volumen vehicular registrado en un determinado número de horas a volumen diario promedio.

$$FH = \frac{\text{\# de veh.del d\'ia (conteo autom\'atico)}}{\text{\# de veh.del conteo autom\'atico correspondientes a las horas del conteo manual}}$$
 (Ecuaci\'on4).

$$FH = \frac{4794}{3359} = 1.427.$$

1.4.5.3 Factor diario (FD)

Transforma el volumen diario promedio a volumen semanal promedio.

$$FD = \frac{\text{Promedio diario semanal del conteo automático.}}{\text{\# de veh.del día (conteo automático).}}$$
(Ecuación5).

$$FD = \frac{27833/7}{4794}$$

$$FD = 0.829$$

1.4.5.4 Factor semanal (FS)

Transforma el volumen semanal promedio en volumen mensual promedio.

$$FS = \frac{\frac{\text{suma del tráfico semanal del conteo automático}}{\text{numero de semanas del conteo}}}{\text{trafico total de la semana del conteo automático}}$$
(Ecuación6).

$$FS = \frac{\frac{27833}{1}}{27833} = 1$$

1.4.5.5 Factor mensual (FM).

Transforma el volumen mensual promedio en tráfico promedio diario anual (TPDA).

Tabla 1. 4 Consumo de combustibles de la provincia del Azuay.

| PRODUCTO | CONSUMO COMBUSTIBLE AÑO 2014 (EN GALONES) | | | | |
|----------|--|-----------|-----------|------------|------------|
| | ENERO | FEBRERO | MARZO | ABRIL | MAYO |
| EXTRA | 4,557,568 | 4,308,070 | 4,543,080 | 4,588,660 | 4,835,309 |
| SUPER | 569,776 | 536,965 | 558,614 | 580,805 | 575,407 |
| DIESEL 2 | 1,045,927 | 1,251,417 | 1,112,744 | 1,187,597 | 1,251,546 |
| PREMIUM | 3,833,995 | 3,762,398 | 3,726,065 | 3,874,931 | 4,192,633 |
| TOTAL | 10,007,266 | 9,858,850 | 9,940,503 | 10,231,993 | 10,854,895 |

| JUNIO | JULIO | AGOSTO | SEPTIEMBRE | OCTUBRE | NOVIEMBRE | DICIEMBRE | TOTAL |
|---|------------|------------|------------|------------|------------------|------------|-------------|
| 4,467,620 | 4,706,150 | 4,562,977 | 4,726,763 | 4,925,932 | 4,594,505 | 5,154,221 | 55,970,855 |
| 518,698 | 583,679 | 624,209 | 590,255 | 632,378 | 553,908 | 633,775 | 6,958,469 |
| 1,108,784 | 1,091,639 | 1,147,747 | 1,242,822 | 1,109,963 | 1,076,108 | 1,147,035 | 13,773,329 |
| 3,787,456 | 4,122,804 | 4,037,359 | 4,138,892 | 4,268,070 | 4,001,768 | 4,247,689 | 47,994,060 |
| 9,882,558 | 10,504,272 | 10,372,292 | 10,698,732 | 10,936,343 | 10,226,289 | 11,182,720 | 124,696,713 |
| CONSUMO PROMEDIO MENSUAL DE COMBUSTIBLES AL AÑO (EN GALONES): | | | | | | | 10391393 |

Fuente: (SHE, 2014).

$$FM = \frac{\text{promedio mensual de consumo de combustibles}}{\text{consumo del mes del conteo vehicular}}$$
(Ecuación7).

$$FM = \frac{10391393}{10226289}$$

FM = 1.01

(Ecuación8)

1.4.5.6 Tráfico existente (To)

Es aquel tráfico que circula en la carretera antes del mejoramiento y el registrado durante los conteos diarios.

TPDA=1.427*0.829*1*1.01*372

TPDA= 445 vehículos.

1.4.5.7 Proyecciones del tráfico

Por lo general el tráfico se proyecta a 15 o 20 años dependiendo la estimación que se proponga.

Tráfico Futuro = Tráfico. Actual
$$(1 + i)^n$$
 (Ecuación9)

i=tasa de crecimiento poblacional definido en el inciso 1.4.6.2

n= 15 años

Tráfico actual= TPDA

Tráfico Futuro =
$$445(1 + \frac{0.079}{100})^{15}$$

Tráfico futuro=451

Peña Cabrera, Cabrera Guambaña 19

1.4.6 Estudio de la población servida

Este tipo de estudio contempla las personas que van a ser beneficiadas se clasifican de

acuerdo a los siguientes tópicos.

1.4.6.1 Población demandante

Se refiere a la población que requiere el servicio. En el Instituto Nacional de

Estadísticas y Censos en el último censo poblacional la población del cantón San

Fernando era de 3993 personas (INEC).

1.4.6.2 Población objetivo

La población objetivo se refiere principalmente a la parte que realmente se puede

atender teniendo todas las condiciones que pueden afectar a que todos sean atendidos

como se merecen.

Tomando la proyección de la población del cantón San Fernando de 3993 personas y la

tasa crecimiento anual de 0.079% y usando la fórmula de proyección para 15 años

tendríamos los siguientes resultados:

Poblac. Futura = Poblac. Actual $(1 + i)^n$

(Ecuación10)

i=0.079%

n=15 años

Poblac. Futura = $3993(1 + 0.00079)^{15}$

Poblac. Futura = 4040.57.

Para el año 2030 tendríamos una población de 4041 personas aproximadamente que

sería nuestra población objetivo.

1.4.7 Clasificación de la vía según su orden

Para el proyecto vial se ha asumido las siguientes características como son de su transitabilidad, administrativa y por último por la norma vigente de la NEVI 12 (técnica oficial)

1.4.7.1 Clasificación administrativa

De acuerdo a las competencias que corresponde la vía está dirigida al G.A.D del cantón San Fernando siendo un tipo de vía rural que se conecta al asentamiento urbano.

1.4.7.2 Clasificación técnica oficial

De acuerdo al Ministerio de transporte y obras públicas la misma le ha clasificado de la siguiente manera.

1.4.7.2.1 Clasificación por capacidad (TPDA)

Este tipo de clasificación tiene en cuenta los límites en que se manejan el TPDA, el mismo que es el tráfico esperado al final del periodo de diseño.

Tabla 1. 5 Clasificación Funcional de las vías en base al TPDAd

| Clasificación Funci | onal de la | s Vìas en bas | se al TPDA _d |
|---------------------------------|----------------------------|-----------------|-------------------------------------|
| Descripción | Clasificación Funcional | | dio Diario Anual ño de horizonte |
| | runcional | Limite Inferior | Limite Superior |
| Atit | AP2 | 80000 | 120000 |
| Autopista | AP1 | 50000 | 80000 |
| Autovia o Carretera Multicarril | AV2 | 26000 | 50000 |
| | AV1 | 8000 | 26000 |
| | C1 | 1000 | 8000 |
| Carretera de 2 carriles | C2 | 500 | 1000 |
| | C3 | 0 | 500 |

Fuente: MTOP,2013

Donde:

C1: Carretera mediana capacidad

C2: Carretera convencional básica

C3: Camino Agrícola/ Forestal

El tiempo que debe resistir o tiempo proyectado del proyectado:

n=20 años Proyecto de rehabilitación y mejoras

n=30 años Proyectos especiales de nuevas vías

N=40 años Megaproyectos nacionales.

1.4.7.2.2 Clasificación por jerarquía vial

Según lo establecido en la NEVI-12 y basados en el Plan Estratégico de Movilidad presentan las siguientes características:

1. Camino agrícola/forestal

Camino Agrícola / Forestal

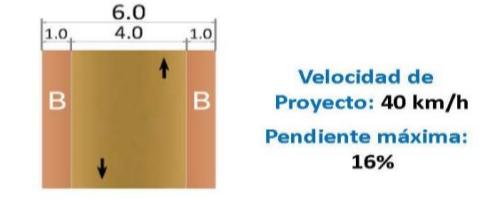


Figura 1. 4 Características del camino Agrícola/ Forestal

Fuente: (MTOP, 2013).

Ancho de 6m

Veredas de 1m a cada lado

Velocidad: 40 km/h

Pendiente máxima 16 %.

Hemos visto la adaptación de este criterio de jerarquización vial tomando en cuenta las características antes descritas.

1.4.7.2.3 Clasificación por la funcionalidad de la red vial

Se considera un camino vecinal en el cual consta una red de caminos que sirven para dar salida a productos de zonas rurales.

• Clasificación por condiciones orográficas

Comprenden las siguientes características relacionadas con el terreno que tiene que ver con la pendiente el cual por ser una vía ya existente las pendientes oscilan entre el 5% por lo cual es un terreno llano.

• Clasificación por número de calzadas

Es un tipo de carretera de calzada única en el cual se tiene un mismo ancho compartido.

• Clasificación en función de la superficie de rodamiento

Para este tipo de proyecto vial la superficie es natural del terreno forma parte del eje vial.

CAPITULO 2

DISEÑO HORIZONTAL Y VERTICAL DE LA VÍA

2.1 Dibujo y diseño

2.1.1 Normas de diseño

Las principales normas que se van a usar son las del MOP-2003 y las de la norma de construcción vial NEVI-12 en las cuales se atenderán todos los conceptos de construcción vial.

2.1.1.1 Derecho de vía

Este término se refiere al Art. 3 del capítulo I de la Ley de Caminos y el Art. 4 del Reglamento aplicativo de la ley antes mencionado señala que en el momento que se presente la necesidad de ocupar el terreno para adecuaciones viales se dispondrá de 25m a los costados del eje vial y sobre el cual se puede colocar los cerramientos, y a partir de esto a 5 m se puede construir las casas.

2.1.1.2 Sección transversal de la vía

La sección transversal de la vía depende de la capacidad que tendrá la misma al tráfico presente, y también depende de la factibilidad o la disponibilidad del suficiente terreno para la instauración del ancho necesario de sección transversal. Refiriéndonos a la Norma del MOP-2003 el ancho transversal se toma desde el pavimento, espaldones, taludes interiores, cunetas hasta el límite del talud exterior.

En la misma norma se dispone de una tabla para el escogimiento del ancho adecuado de acuerdo al tráfico.

Tabla 2. 1 Clasificación del ancho de calzada según el TPDA

| | CUADRO VIII-1 | |
|---------------------|---------------|------------|
| | Ancho | de calzada |
| Clase de carretera | Recomendable | Absoluto |
| RI o RII>8000 TPDA | 7,3 | 7,3 |
| I 3000 a 8000 TPDA | 7,3 | 7,3 |
| II 1000 a 3000 TPDA | 7,3 | 6,5 |
| III 300 a 1000 TPDA | 6,7 | 6 |
| IV 100 a 300 TPDA | 6 | 6 |
| V menos de 100 TPDA | 4 | 4 |

Fuente: MTOP,2013.

En la misma especificación se refiere a que la cuenta se deberá colocar a 30 cm de la rasante por condiciones económicas.

2.1.1.3 Ancho de corona

El ancho de la corona depende del ancho de calzada y del ancho de berma que escojamos para lo cual en la MOP-2003 está de 3m a 3,5m y el ancho de berma de 0,5 a 3m todas estas condiciones están condicionadas al tráfico y a la capacidad de terreno disponible.

2.1.1.4 Ancho de superficie de rodamiento

El ancho normalmente que considera el MOP-2003 es de 6m considerando carriles de 3m cada uno, cabe resaltar que el mismo dependerá de la topografía del terreno en este caso se toma un ancho de 4m debido a que la vía ya está construida y alrededor del proyecto vial ya se encuentran edificaciones.

2.1.1.5 Gradientes

Las gradientes en este caso al ser una vía ya construida dependerán de la factibilidad que tengamos para poder escoger la mejor gradiente tomando en cuenta las condiciones de drenaje como un factor predominante, ya que a medida que tan bueno sea el pavimento se deberá tomar un mayor valor de gradiente cuando las condiciones del pavimento sean malas.

2.1.1.6 Gradientes transversales

La gradiente transversal que se requiere depende de las condiciones del terreno para lo cual el MOP-2003 dispone de la siguiente tabla de acuerdo al grado de tráfico(TPDA).

Tabla 2. 2 Clasificación de superficies de rodadura

| CLASIFI | CACION DE SUPERFICIES DE RODADURA | |
|-------------------------------------|--|--|
| Clase de Carretera | Tipo de Superficie | Gradiente Transversal (Porcentajes) |
| R-IoR-II > 8000 TPDA | Alto grado estructural: concreto asfáltico u hormigón | 1,5-2 |
| I 3000 a 8000 TPDA | Alto grado estructural: concreto asfáltico u hormigón | 1,5-2 |
| II 1000 a 3000 TPDA | Grado estructural intermedio | 2 |
| III 300 a 1000 TPDA | Bajo grado estructural: Doble Tratamiento Superficial Bituminoso D.T.S.B. | 2 |
| IV 100 a 300 TPDA | Grava o D.T.S.B. | 2,5-4 * |
| V Menos de 100 TPDA | Grava, Empedrado, Tierra | 4 |
| * Para caminos vecinales tipo 5 y 5 | E. | |

Fuente: MTOP,2003.

Tomando en cuenta nuestro caso escogemos una gradiente de 4% debido a que las condiciones de tráfico encajan dentro de ese rango.

2.1.1.7 Velocidad de diseño

La velocidad de diseño según el MOP-2003 nos define la calidad de servicio y de fluidez que puede tener la vía tomando en cuenta ciertos aspectos relacionados con el tipo de terreno, la comodidad de los conductores desde el punto de vista de la presencia de obstáculos, y el factor que influye en todo proyecto que es el financiero.

Se recomiendo que para tramos consecutivos no haya un cambio máximo de 20 Km/h del mismo modo la señalética juega un papel importante, ya que mediante la misma se puede advertir a los usuarios sobre la reducción o aumento de velocidad.

En la misma norma se dispone de una tabla (Tabla 2.3) que regulado por la topografía, la importancia vial, y su clasificación vial presenta las distintas de velocidad de diseño:

Tabla 2. 3 Clasificación de velocidad de diseño según el TPDA

| | DE LA VIA ESPERADO | V 00 | | | | | | VELOCIDAD | VELOCIDAD DE DISEÃO KMR. | CHA | | | | |
|------------------|---|-----------------|--|--|---|---|---|--|--|---|-----------|--|--|---|
| | ì | - | | GAS | BASICA | | | | Did | PERMISIBLE EN TRANDS DIPICILES | TRANDS DI | PICILES | | |
| | _ | _ | | (BELIEVE | (DELIEVE LLANG) | | | INCLIEVE | RELIEVE ONDULADO! | | | (RELIEVE N | (RELIEVE MONTAROSO) | |
| | | | Para el calculo de les elementes del frazada del pertil lengitudinal | Suo de les sei trazade rigitudinal | de las emm de las emm secolon fr orros depen | UMizada para el calculo de los elementos de la secodor franciversal y otros dependientes de la velocidad. | Para el ca elementos del pentil h | Para el calcuso de los elementos del trazado del pertil tenghudinal. | Uhbzuda g da ios eser sacción t ofros deper | Unit_uits pails as calcusto da los elementos de la secolon transvertal y erros dependentes de la valicades. | | Para es cálcino de los exementos del trazado del pertil tongituanal. | Uthirada para el calculo de los elementos de la sección transversal y otros dependantes de la velocidad. | Utilitzada para el calculo de los elementos de la sección transversal y ptros dependantes de la velocidad |
| | - | 1 | Recom | Abson/sa | Record | Absoluta | Recom | Absoluta | Recom | - Absenda - | Recom | Absoluti | Recom | Absoruta |
| B-15 R-11 (Tipe) | 0600 + 8000 | - | 120 | 110 | 901 | 8 | 110 | 98 | 8 | E | 8 | 9 | 8 | 9 |
| 1 Tou | Todos 3000-8000 | 000 | 110 | 100 | 100 | 06 | 100 | 90 | 8 | 2 | 90 | 90 | 08 | 8 |
| II To | Tades 1000-8000 | 000 | 100 | 8 | 8 | 2 | 90 | 90 | 8 | 98 | 70 | 2 | 7.0 | 2 |
| \vdash | | 900 | 8 | 80 | × | 9 | 99 | 90 | 2 | 90 | 8 | 9 | 2 | 9 |
| N TI | 195 | 8 | 08 | 00 | 99 | 99 | 99 | 36 | 99 | 36 | 3 | 52 | 3 | 35 |
| > | | | 9 | 95 | 99 | 80 | 98 | 38 | 8 | 8 | 9 | 25 | 40 | 10 |
| Notas | v | | | | | | | | | | | | | |
| 103- | Los valores recomendados se emplearán cuando el T.P.D.A. es cercano al finife superior de la respectiva calegoría de vía. | pectivi | dos se em | pieszán ous de vis. | ndo el T.P.D | A. es cercan | o al fembe | | | | | | | |
| - Los | -Los valores absolutos se emplearán ouando si T PDA , es cercano al limite intenso de la respectiva calegoría de vía ylo el relieve sea dificil o escarpado | Mos s | e empleara calegoria d | in ouando e | TPDA es | cercano al fin fícil o escarpi | alla sdo. | | | | | | | |
| i s | -La categoria IV incluyre además los caminos vecinales tipo 5, 5E 5 y 7 contenidos en el manual, de caminos vecinales 4 y 4E. | ollye r-Prot | además lo: eovs* 198 | 4 y categoria | ecnales tpo s V son los o | 5, SE 6 y 7 ca | utes 4 y 4E. | e manual | de caminos | | | | | |
| Ü 8 | - En zones con perfies de melerarzación protundo (estribaciones) requerrán de un diseña especial considerando los aspecios geológicos. | salles o | dos geológ | goos. | equas) opur | oper (seudo | o ep uşare | daego esb | ND | | | | | |
| | | | | | | | | | | | | | | |

Fuente: MTOP,2003.

Para nuestro caso hemos escogido la clasificación vial III, tipo de topografía montañosa para lo cual la velocidad recomendado es de 60 Km/h y el absoluto de 40 Km/h

Tabla 2. 4 Clasificación del radio y grado de curva

| | | Pa | ralte máximo 4% | | Peralte máximo 6% | | |
|------------------|-----------------|-----------|-----------------|----------|-------------------|-------------|----------|
| Velocidad | Factor de | Rad | io (m) | Grado de | Rac | fio (m) | Grado de |
| de Diseño(Km/h) | Fricción Máxima | Calculado | Recomendado | Curva | Calculado | Recomendado | Curva |
| 30 | 0.17 | 33.7 | 35 | 32° 44' | 30.8 | 30 | 38° 12° |
| 40 | 0.17 | 60.0 | 60 | 19° 06' | 54.8 | 55 | 20° 50° |
| 50 | 0.16 | 98.4 | 100 | 11° 28' | 89.5 | 90 | 12° 44' |
| 60 | 0.15 | 149.2 | 150 | 7° 24' | 135.0 | 135 | 8° 29' |
| 70 | 0.14 | 214.3 | 215 | 5° 20' | 192.9 | 195 | 5° 53'' |
| 80 | 0.14 | 280.0 | 280 | 4° 05' | 252.0 | 250 | 4° 35' |
| 90 | 0.13 | 375.2 | 375 | 3° 04' | 335.7 | 335 | 3° 25 |
| 100 | 0.12 | 492.1 | 490 | 2° 20' | 437.4 | 435 | 2° 38' |
| 110 | 0.11 | 635.2 | 635 | 1° 48' | 560.4 | 560 | 2° 03' |
| 120 | 0.09 | 872.2 | 870 | 1" 19" | 755.9 | 775 | 1° 29' |

| | | Pe | Peralte máximo 8% Peralte máximo 109 | | | | % |
|------------------|-----------------|-----------|--------------------------------------|----------|-----------|-------------|----------|
| Velocidad | Factor de | Rad | fio (m) | Grado de | Rac | dio (m) | Grado de |
| de Diseño(Km/h) | Fricción Máxima | Calculado | Recomendado | Curva | Calculado | Recomendado | Curva |
| 30 | 0.17 | 28.3 | 30 | 38° 12' | 26.2 | 25 | 45° 50' |
| 40 | 0.17 | 50.4 | 50 | 22° 55' | 46.7 | 45 | 25° 28' |
| 50 | 0.16 | 82.0 | 80 | 14° 19' | 75.7 | 75 | 15° 17' |
| 60 | 0.15 | 123.2 | 120 | 9° 33' | 113.4 | 115 | 9° 58' |
| 70 | 0.14 | 175.4 | 175 | 6° 33' | 160.8 | 160 | 7° 10' |
| 80 | 0.14 | 229.1 | 230 | 4° 59' | 210.0 | 210 | 5° 27' |
| 90 | 0.13 | 303.7 | 305 | 3° 46' | 277.3 | 275 | 4° 10' |
| 100 | 0.12 | 393.7 | 395 | 2° 54' | 357.9 | 360 | 3° 11' |
| 110 | 0.11 | 501.5 | 500 | 2" 17" | 453.7 | 455 | 2° 31' |

Fuente: (MTOP, 2013).

De acuerdo a la tabla 2.4 tenemos para una velocidad de diseño de 40 Km/h, y un peralte máximo de 10% los siguientes datos que se obtienen son un radio mínimo de 45m y un grado de curva de 25°28′.

2.1.1.8 Distancia de visibilidad de parada

La normativa de la NEVI-12 se refiere a aspectos técnicos que se presentan en la AASHTO en donde define el concepto de distancia de visibilidad de parada como la suma de las distancias que comprenden: la primera distancia es la distancia que se recorre hasta que el conductor ya sea por su habilidad percibe y reacciona hasta aplicar los frenos; la otra distancia está comprendido por la que recorre hasta que se detiene una vez accionado los frenos del automotor.

Definimos como D a la distancia de visibilidad de parada

d1: distancia de percepción

d2: distancia de recorrido con los frenos accionados

Por tanto:

$$D=d1+d2$$
 (Ecuación11)

En la siguiente figura 2.1 podemos encontrar una gráfica demostrativa de la distancia de visibilidad de parada.

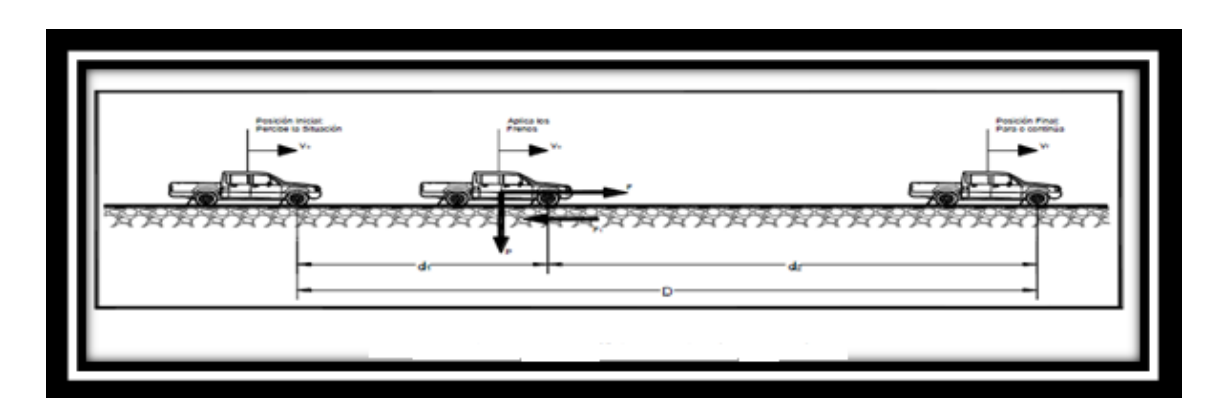


Figura 2. 1 Gráfico de distancia de parada.

Fuente: MTOP,2003

Definiendo la variable d1 involucra a tanto al tiempo de percepción, y la velocidad a la que se mueve por lo cual se emplea la siguiente fórmula para su estimación

Se estima según estudios que t se puede tomar como un tiempo de 2,5 seg.

V: velocidad inicial del automotor en Km/h.

Para la distancia d2 se ocupa la siguiente formulación:

$$d2 = \frac{v^2}{254*f}$$
 (Ecuación13).

f: coeficiente de fricción entre la llanta y la superficie de rodamiento

Este factor depende del diseño de las llantas y el espesor de la llanta, también del tipo de a superficie d rodadura y de las condiciones climáticas.

Existen ciertos valores que están definidos dependiendo el tipo de terreno donde estén:

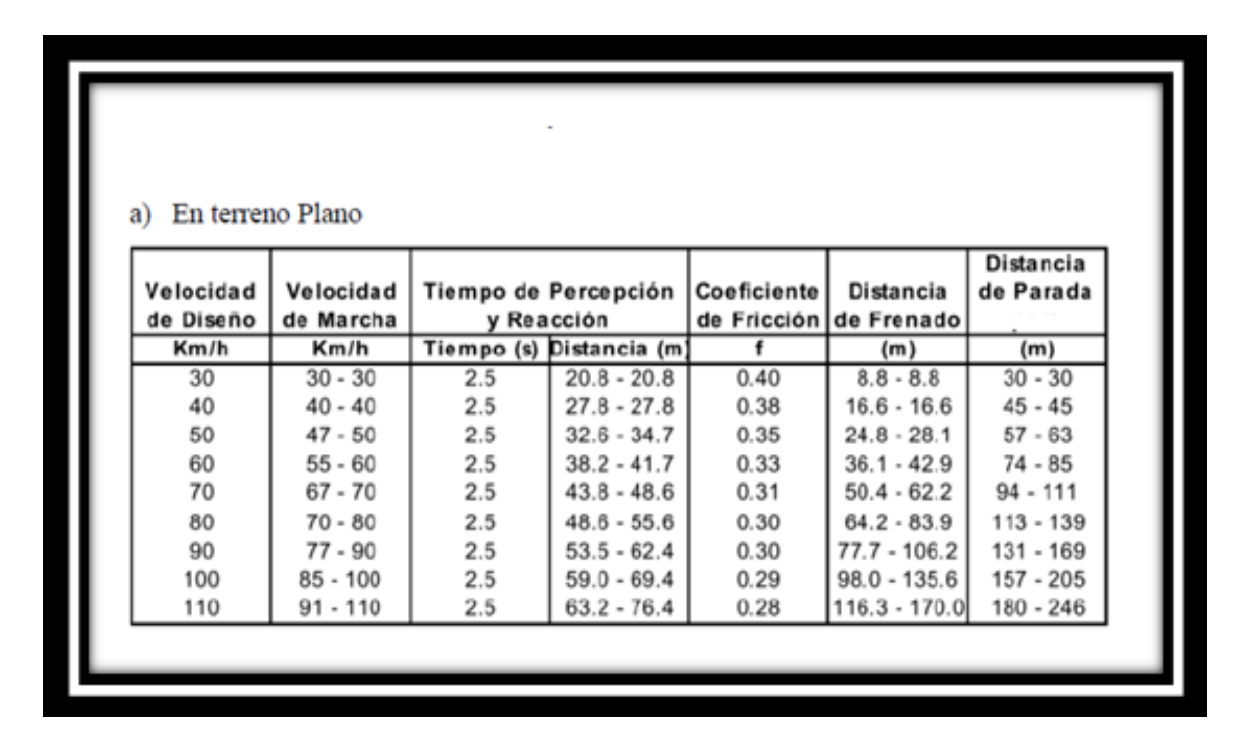


Figura 2. 2 Distancia de visibilidad de parada terreno plano

Fuente: (MTOP, 2013).

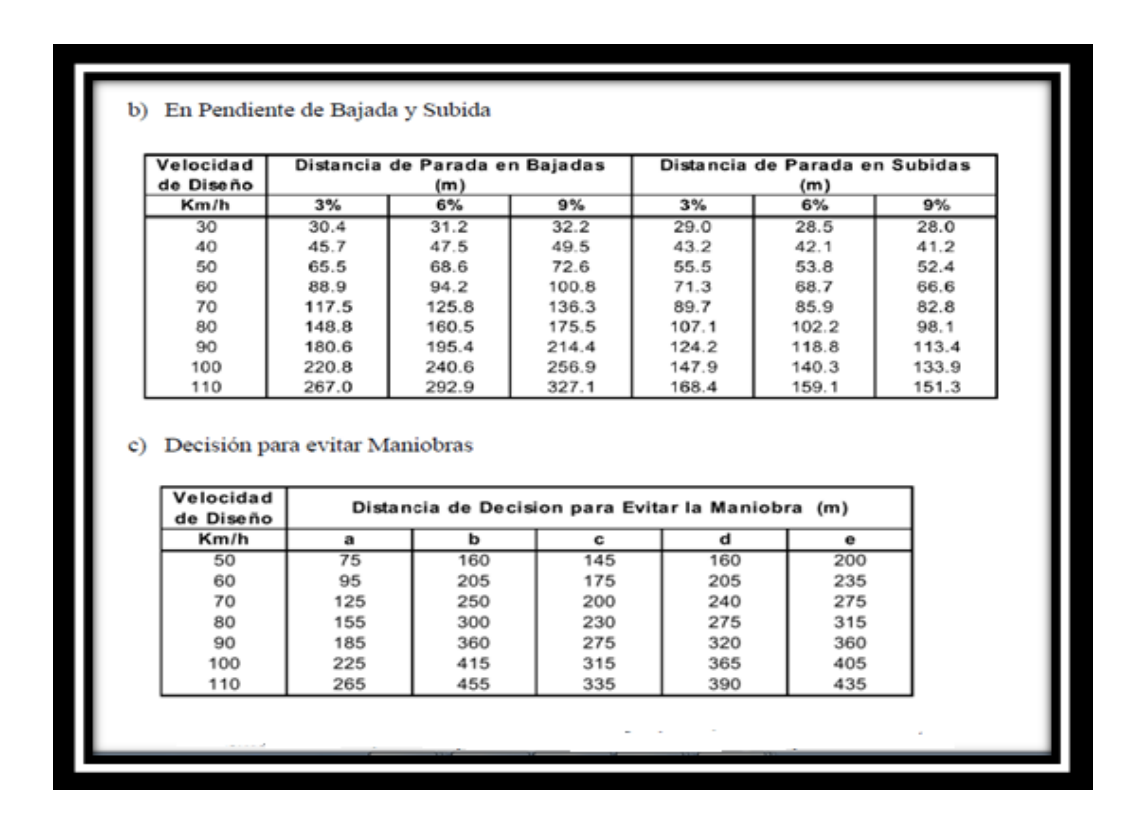


Figura 2. 3 Distancia de visibilidad de parada en pendiente

Fuente: (MTOP, 2013).

Con una velocidad de diseño de 40 Km/h tenemos un tiempo de reacción de 2.5 segundos en una distancia de 27.8m, una distancia de frenado de 16,6m y otra de parada de 45 m, asimismo un coeficiente de fricción de 0.38, toda esta información corresponde para terrenos planos.

Se elaboró la siguiente tabla en la cual se muestran los valores a ser utilizados en el proyecto vial en el caso de las distancias de subidas y bajadas para pendientes de 3%, 6% y 9%.

Tabla 2. 5 Distancia de parada para pendientes de 3%,6% y 9%

| Velocidad de diseño | Pendiente de 3%. | Pendiente de 6%. | Pendiente de 9%. |
|---------------------|------------------|------------------|------------------|
| de 40 Km/h | | | |
| Distancia de parada | 45.7 | 47.5 | 49.5 |
| en bajada(m). | | | |
| Distancia de parada | 43.2 | 42.1 | 41.2 |
| en subida(m). | | | |

Fuente: MTOP,2003.

2.1.1.9 Desarrollo del peralte

Para el cambio de una alineación recta a una curva, se tiene que realizar una transición de tal manera que se pase de una sección normal a peraltada o viceversa según nos dice el MOP-2003.

El peralte en las secciones curvas se realiza para contrarrestar los efectos de la fuerza centrífuga en una longitud suficiente como para poder mitigarla.

El peralte máximo a ser escogido para nuestra vía en función de la Norma Ecuatoriana vial (MTOP, 2013), en donde manifiesta que se considera montañosa a una zona donde su gradiente longitudinal sea de máximo el 16% por lo tanto en la siguiente tabla tomada de la citada fuente nos da un peralte máximo del 10%.

| Tasa de Sobreelevación, "e" en (%) | Tipo de Area |
|--|-----------------|
| 10 | Rural montañosa |
| 8 | Rural plana |
| 6 | Suburbana |
| 4 | Urbana |

Figura 2. 4 Peralte de acuerdo al tipo de área

Fuente: (MTOP, 2013).

El radio de peralte necesario se determinará con la ayuda de 3 métodos:

- a) Haciendo girar la calzada alrededor de su eje. (terrenos montañosos)
- b) Haciendo girar la calzada alrededor de su borde interior. (terrenos llanos)
- c) Haciendo girar la calzada alrededor de su borde exterior.

Los pasos que se deben seguir para el cálculo de la longitud del peralte es de la siguiente manera:

- 1) Se determina si la transición del peralte lo hacemos a lo largo de la curva de enlace.
- 2) Se determina la sobreelevación que produce el peralte e.

h= sobreelevación (m)

e= peralte (%)

b= ancho de calzada (m)

Es para el caso de giro alrededor del eje.

3) Para el cálculo de la longitud de desarrollo en función del gradiente de borde (i).

$$L = \frac{h}{2*i} = \frac{e*b}{2*i}$$
 (Ecuación15)

$$i = \frac{e*b*L}{2}$$
 (Ecuación16)

El valor de la gradiente (i) se lo hace de acuerdo a la velocidad de circulación en la (Tabla 2.6) de la MOP-2003.

Tabla 2. 6 Gradiente longitudinal para el desarrollo del peralte

GRADIENTE LONGITUDINAL (i) NECESARIA PARA EL DESARROLLO DEL PERALTE

| V _D , KM/h | VALOR DE (i), % | MAXIMA PENDIENTE EQUIVALENTE. |
|-----------------------|-----------------|----------------------------------|
| 20 | 0,800 | 1:125 |
| 25 | 0,775 | 1:129 |
| 30 | 0,750 | 1:133 |
| 35 | 0,725 | 1:138 |
| 40 | 0,700 | 1:143 |
| 50 | 0,650 | 1:154 |
| 60 | 0,600 | 1:167 |
| 70 | 0,550 | 1:182 |
| 80 | 0,500 | 1:200 |
| 90 | 0,470 | 1:213 |
| 100 | 0,430 | 1:233 |
| 110 | 0,400 | 1:250 |
| 120 | 0,370 | 1:270 |
| | | |

Fuente: (MTOP, 2013).

4) Se calcula la longitud de transición del bombeo, entonces determinamos la diferencia entre el eje y el borde de la vía.

$$S = \frac{b*P}{2}$$
 (Ecuación17)

S= Diferencia entre el eje y el borde de la vía

P= pendiente transversal de la vía(%)

b= ancho de la calzada(m)

5) Por último se calcula la longitud de transición:

Cuando el desarrollo del peralte se lo hace sin curva de enlace se lo puede distribuir a 2/3 en la sección recta, y 1/3 en la sección curva. Para casos difíciles se puede coger 0,5 L en la sección recta y 0,5L de la curva circular.

En la T para una velocidad de diseño de 40 Km/h y un peralte máximo de 10% se tiene una longitud de transición mínima de 51m.

Tabla 2. 7 Peralte de acuerdo al radio y velocidad de diseño

Elementos de Diseño para Curvas Horizontales y Velocidades de Diseño, e max. 10%

| 22 17 26 3.6 22 33 4.8 28 42 6.3 38 67 7.8 51 77 9.0 65 97 90 75 112 | 1106m/h |
|--|----------|
| (m) | L (m) |
| SN | 2 4 |
| SOOO | Crs Crr |
| Section Sect | 0 (|
| SN O O O O O O O O O | 0 (|
| 2000 SN 0 0 SN 0 0 | 61 93 |
| 1500 SN 0 0 SN 39 59 2.4 44 66 2.9 50 75 3.5 56 84 4.1 | 61 90 |
| 1400 | 61 93 |
| 1300 SN 0 0 SN 0 0 SN 0 0 SN 0 0 SN 33 60 2.3 39 59 3.5 44 66 3.6 50 75 4.0 56 84 4.6 50 50 75 4.0 56 84 4.6 50 50 50 50 50 50 50 5 | 61 93 |
| 1200 SN 0 0 SN 0 SN 0 0 | 61 93 |
| No | 61 93 |
| 900 SN 0 0 SN 0 0 SI 28 42 2.5 33 50 3.2 39 59 3.9 44 66 4.6 50 75 5.6 56 84 6.4 6.0 6.5 6.0 75 6.2 56 84 6.4 6.0 6.5 6.0 75 6.2 56 84 6.4 6.0 6.5 6.0 75 6.2 56 84 7.0 7. | 61 93 |
| SN 0 0 SN 0 0 SN 20 32 33 23 34 2 27 33 50 3.5 39 59 4.3 44 66 5.6 50 75 6.2 56 64 7.1 | 61 90 |
| 700 SN 0 0 Si 22 33 2.7 28 42 3.6 33 60 4.6 39 59 4.8 44 66 5.8 50 75 6.9 56 64 6.0 60 SN 0 0 2.3 22 33 3.1 28 42 4.2 33.6 33 60 4.6 39 59 6.6 44 66 7.6 57 86 8.9 71 707 9.5 60 81 77 26 2.8 22 33 3.6 28 42 5.0 33 50 5.3 39 59 6.4 46 69 7.6 57 86 8.9 71 707 9.5 60 81 77 26 2.8 22 33 3.6 28 42 6.3 38 87 7.8 51 77 9.0 65 97 99 7.6 57 8.0 6.9 78 117 8 8 8 8 8 8 8 7 7.1 43 8 7 7 8 8 8 8 8 8 7 7 8 8 9 8 8 8 8 8 7 8 42 8 8 8 8 8 8 7 8 9 8 8 8 8 8 8 8 8 8 8 8 | 61 93 |
| SN O O SI 22 33 2.7 28 42 4.2 33 50 4.6 39 59 5.5 44 66 6.5 50 75 7.8 62 94 9.6 | 61 93 |
| SN 0 0 2.3 22 33 3.1 28 42 4.2 33 50 5.3 39 59 6.4 46 69 7.6 57 86 8.9 71 107 9.5 | 69 103 |
| 400 | 77 110 |
| 300 | 85 12 |
| 250 | mm = 450 |
| 200 | |
| 176 | |
| 150 | |
| 140 | |
| 130 | |
| 120 | |
| 110 5.1 24 37 7.4 38 57 9.1 49 74 80 1 15 1 16 1 16 1 16 1 16 1 16 1 16 1 1 | |
| 100 | |
| 90 5.9 28 42 8.2 42 63 9.6 53 79 R = Radio de curva V = Valocidad de diseño P = Tasa de superefevación P = Tasa de supereferación | |
| 80 6.4 31 46 8.6 44 66 10.0 54 81 V = Velocidad de diseño e = Tasa de superelevación C 7.5 36 54 9.6 49 74 L = Longitudminima de transición | |
| 70 6.9 33 50 9.1 47 70 Rein 25 e = Tasa de superelevación 60 7.5 36 54 9.6 49 74 e = Longitudminima de transición | |
| 60 7.5 36 54 9.6 49 74 L = Longitudminima de transición | |
| | |
| | |
| 50 8.2 39 59 10.0 51 77 SN = Sección Normal | |
| 40 9.1 44 65 Rrsss = 45 SI = Sección Invertida, peralte simila | |
| 30 9.9 47 71 a la pendiente normal | |
| Rose - 25 | |
| CIFRAS REDONDEADAS | |
| | |

Fuente: (MTOP, 2013)

2.1.1.10 Sobreancho.

El sobreancho que se requiere en las curvas circulares depende de 2 condiciones:

a) El ancho requerido para describir la curva debe aumentarse debido a la trayectoria que describen los ejes delanteros y traseros.

b) El ancho debe aumentarse debido a la velocidad ya que si un vehículo se mantiene circulando a grandes velocidades el ancho debe ser mayor por la dificultad para describir la curva con facilidad.

Podemos observar un esquema del sobreancho en la (Figura 2.5)

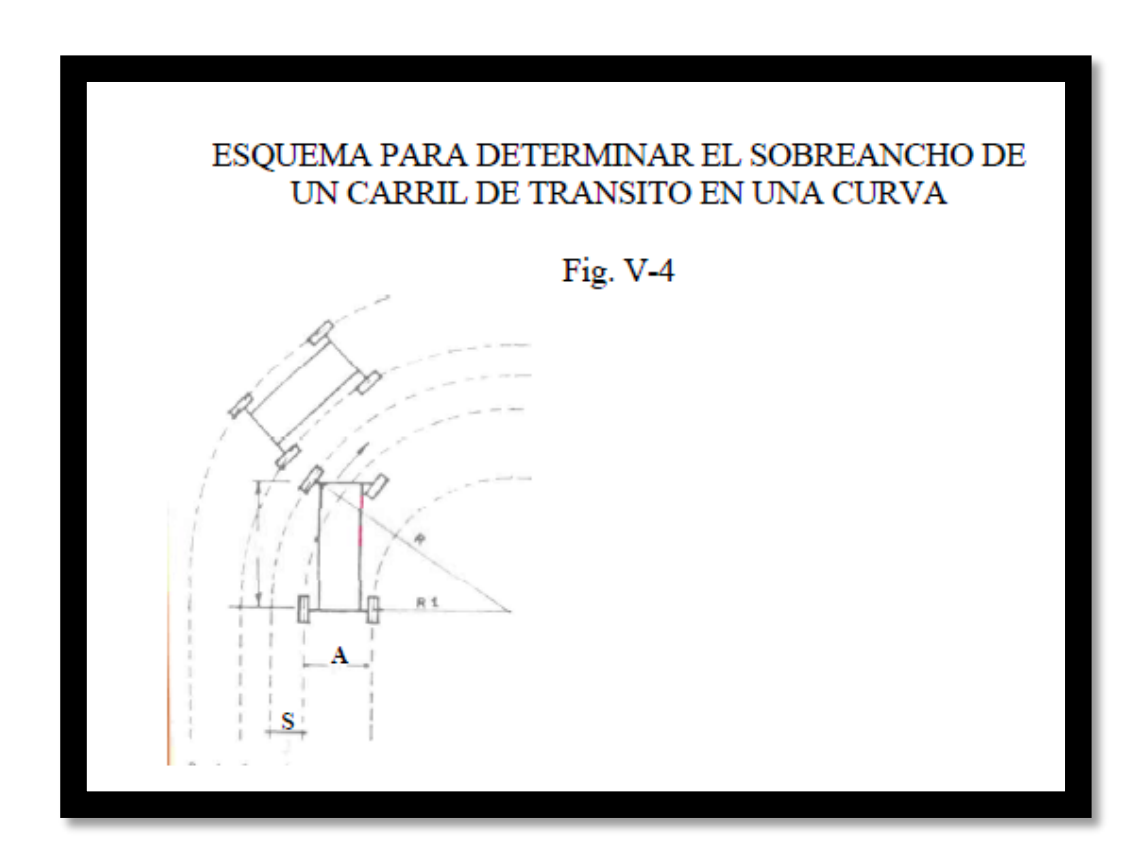


Figura 2. 5 Esquema para determinar el sobreancho en un carril

Fuente: (MTOP, 2013)

$$R1 + A = \sqrt{R^2 + L^2}$$
 (Ecuación19)

$$R1 + A = R - S (Ecuación20)$$

$$R - S = \sqrt{R^2 + L^2}$$
 (Ecuación21)

$$S = R - \sqrt{R^2 + L^2}$$
 (Ecuación22)

R=Radio de la curva circular

S= Sobreancho (metros)

A=Ancho del vehículo (metros)

V=Velocidad de diseño Km/h

Según la tabla 2.7. (MTOP, 2003) Se puede determinar el sobre ancho necesario para determinadas velocidades de diseño y radios.

Por lo tanto para nuestra velocidad de diseño de 40 Km/h, radio mínimo de 45m y longitud del vehículo de 6m, el sobre ancho está entre un radio de 42 y 50 por tanto tomamos un valor de sobre ancho de 1m.

Tabla 2. 8 Sobreancho de acuerdo a radio y velocidad

VARIACION DEL VALOR DEL SOBREANCHO PARA EL VEHICULO DE DISEÑO
Valor del sobreancho para diferentes velocidades de diseño
Número de carriles: 1
L(m)= 6

| 25 1,13 30 0,97 | 1,48 1,23 1,33 | | | | |
|--|--|--|--|--|--|
| 40 0,77 4 42 0,74 6 50 0,64 6 56 0,59 6 60 0,56 7 70 0,50 7 75 0,47 8 85 0,43 90 0,41 100 0,38 110 0,35 120 0,33 130 0,31 140 0,30 150 | 1,23 1,33 1,33 0,85 0,94 1,03 0,85 0,98 0,71 0,79 0,66 0,72 0,69 0,56 0,62 0,53 0,59 0,50 0,56 0,48 0,54 0,46 0,45 0,38 0,42 0,36 0,31 0,35 0,32 | 1,43 1,25 1,11 1,01 0,97 0,86 0,79 0,75 0,68 0,64 0,62 0,59 0,57 0,53 0,47 0,45 0,42 0,41 0,39 0,36 0,34 0,33 | 1,05 0,93 0,86 0,82 0,74 0,70 0,67 0,65 0,62 0,58 0,55 0,52 0,49 0,47 0,45 0,43 0,40 0,37 0,36 0,34 0,34 0,34 | 0,92 0,88 0,80 0,76 0,73 0,67 0,63 0,59 0,56 0,53 0,51 0,49 0,47 0,44 0,41 0,40 0,37 0,36 0,34 0,32 0,31 | 0,82 0,78 0,75 0,73 0,68 0,64 0,61 0,58 0,55 0,53 0,51 0,47 0,43 0,43 0,43 0,39 0,37 0,35 |

Fuente: (MTOP, 2003)

2.1.1.11 Longitudes de curvas

Según la denominación dada por el MOP-2003 es la longitud comprendida entre donde empieza la curva simple(PC) y donde termina la curva simple (PT) denominada lc.

$$lc = \frac{\pi R\alpha}{180}$$
 (Ecuación23)

2.1.1.12 Grado de curvatura

Para la definición de este término necesitamos tomar como referencia a conceptualización dada por el MOP-2003 considera que es un ángulo formado por un 20 m. Es el valor máximo a la que se puede recorrer la curva tomando en cuenta el peralte máximo

$$\frac{Gc}{20} = \frac{360}{2\pi R}$$
 (Ecuación24)

2.1.1.13 Curvas circulares

Según el MOP-2003 son los arcos de círculo que forman la proyección horizontal de las curvas empleadas para unir dos tangentes consecutivas y pueden ser simples y compuestas.

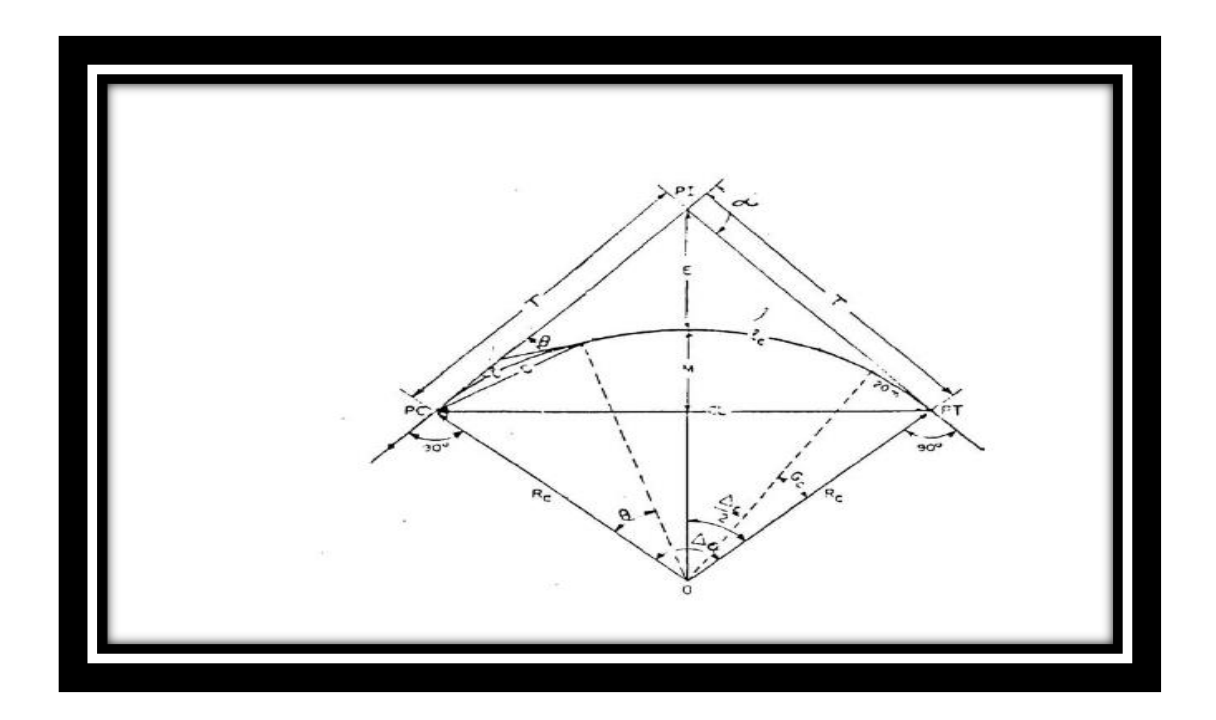


Figura 2. 6 Composición de curva circular

Fuente: (MTOP, 2003).

PI: Punto de intersección de las pendientes

PC: Punto donde empieza la curva

PT: Punto donde termina la curva

α: Ángulo de deflexión de los tangentes

 Δc : Ángulo central de la curva circular

θ: Ángulo de deflexión a un punto sobre la curva circular

Gc: Grado de curvatura de la curva circular

Rc: Radio de la curva circular

T: Tangente de la curva circular

E: External

M: Ordenada media

C: Cuerda

CL: Cuerda larga

L: Longitud de un arco

Le: Longitud de la curva circular.

2.1.1.14 Curvas verticales

La norma de construcción vial MOP-2003 cita dos tipos de curvas verticales como son:

Las curvas verticales cóncavas y las convexas.

Refiriéndonos a las curvas verticales convexas se toma en cuenta la altura de ojo del conductor de 1.15m y la altura que se puede observar sobre la via de 0.15 m, de tal manera se puede formular de la siguiente forma:

$$L = \frac{AS^2}{426}$$
 (Ecuación 25)

L= Longitud de las curvas convexas, en metros

A= Diferencia de las gradientes, expresadas en porcentaje

S= Distancia de visibilidad de parada, en metros

Para el valor K existen ciertas tablas de referencia en cuanto a la velocidad de diseño y para las diversas de clases de carretera.

Tabla 2. 9 Valor de K para curva vertical convexa

Indice K para el cálculo de la longitud de curva vertical convexa

| | Longitud Controlada por Longitud Controlada po Visibilidad de Frenado Visibilidad de Adelantami | | | | | | |
|---------------------|--|--|---|--------------------------|--|--|--|
| Velocidad (Km/h) | Distancia de visibilidad de frenado (m) | Indice de Curvatura K | Distancia de visibilidad de adelantamiento (m) | Indice de Curvatura K | | | |
| 20 | 20 | 0,6 | | | | | |
| 30 | 35 | 1,9 | 200 | 46 | | | |
| 40 | 40 50 3,8 270 84 | | | | | | |
| 50 | 50 65 6,4 345 138 | | | | | | |
| 60 | 60 85 11 410 195 | | | | | | |
| 70 105 17 485 272 | | | | | | | |
| 80 | 130 | 26 | 540 | 338 | | | |
| 90 160 39 615 438 | | | | | | | |
| El indice de | | gitud (L) de la curve mtaje de la diferenci | a de las pendientes (A a algebraica | A) K= L/A por el | | | |

Fuente: MTOP,2013.

El índice de curvatura K es de 3.8 para curvas convexas

2.1.1.15 Curvas verticales cóncavas

Las mismas necesitan ser o suficientemente largas, teniendo en cuenta la longitud de los rayos de un vehículo que debe ser la misma que la distancia de visibilidad necesaria para la parada de un vehículo.

$$L = \frac{AS^2}{122 + 3.5S}$$
 (Ecuación27)

Para la fórmula se considera una distancia de los faros de 60 cm para los faros del vehículo y un grado de divergencia de los rayos de luz con respecto al eje longitudinal del vehículo.

El factor K también depende de la clase de carretera y de la velocidad de diseño.

Tabla 2. 10 Valor de K para curva vertical cóncava

Índice para el cálculo de la longitud de curva vertical cóncava

| Velocidad (Km/h) | Distancia de visibilidad de frenado (m) | Indice de Curvatura K |
|---------------------|---|--------------------------|
| 20 | 20 | 3 |
| 30 | 35 | 6 |
| 40 | 50 | 9 |
| 50 | ණ | 13 |
| 60 | 85 | 18 |
| 70 | 105 | 23 |
| 80 | 130 | 30 |
| 90 | 160 | 38 |
| Elíndice de d | urvatura es la longit | tud (L) de la curva |

Elíndice de curvatura es la longitud (L) de la curva de las pendientes (A) K = L/A por el porcentaje de la diferencia algebraica.

Fuente: MTOP,2013.

El valor de K de nuestro proyecto para la curva vertical cóncava es de 9.

2.1.1.16 Pendientes

Se necesitan pendientes suaves generalmente tomando un valor mínimo de 0.5% y los valores máximos se deben determinar tomando en cuenta la facilidad de drenaje y la capacidad de que un motor se esfuerzo mucho y por ende pueda interrumpir el tráfico debido a la pérdida de fuerza en el vehículo.

Las pendientes se toman en cuenta de acuerdo al ángulo formado por cada 100m de avance horizontal expresado en forma porcentual y las mismas que pueden ser de ascenso o descenso. (MTOP, 2003).

2.1.1.17 Taludes

Según el MOP-2003 los taludes ya sea tanto en corte como en relleno sirven para dar seguridad y una buena apariencia a la vía. La pendiente que puede tener los taludes dependerá de las características dependerá de los suelos, características generales de la vía tomando la pendiente más económica sin descuidar los ya mencionados aspectos.

Para terrenos ondulados o montañosos se considerará el costo alto que implica el movimiento de tierras, diferente que para terrenos planos.

Tabla 2. 11 Diseño recomendable para taludes

| Clase de Carretera | TA | LUD |
|------------------------|----------|---------|
| | CORTE | RELLEN |
| R-I o R-II > 8000 TPDA | 3:1 * ** | 4:1 |
| I 3000 a 8000 TPDA | 3:1 | 4:1 |
| II 1000 a 3000 TPDA | 2:1 | 3:1 |
| III 300 a 1000 TPDA | 2:1 | 2:1 |
| IV 100 a 300 TPDA | 1,8-1:1 | 1,5-2:1 |
| V Menos de 100 TPDA | 1,8-1:1 | 1,5-2:1 |

Fuente:(MTOP, 2003).

2.1.1.18 Cortes

Los cortes en terrazas son generalmente tomados en cuenta para evitar la erosión de los taludes, para lo cual se requiere de una pendiente con relación peralte huella en el orden de 1:1 a 1:5, pero esta relación puede aumentaran a 1:2 ó 1.3 tomando en cuenta si el agua baja por el terreno natural está amenazando a la vía. Los escalonamientos pueden ser tomados en relación 0.75:1 ò 1:1 de tal manera que interrumpa la trayectoria en la bajada de las lluvias.

También para este tipo de escalonamientos es necesario considerar la infiltración, para lo cual en materiales que son filtrantes como las rocas diaclasas con buzamiento hacia la vía, se debe dejar un corte en el escalón con una pendiente adecuada de tal manera que pueda drenar el agua mediante esta especie de canal que va a quedar dentro del escalón.

Por otro lado se usa vegetación para prevenir la erosión en los escalones.

2.1.1.19 Rellenos

Los rellenos constituyen una necesidad en casos en que sobre el proyecto vial se presenten ciertas características, que no permitan el adecentamiento de las mismas debido a causas naturales sea el caso de pantanos, o tipos de suelos con capacidades técnicas malas por estos mencionados casos y la diversidad que pueden presentarse es que se emplean los rellenos.

2.1.1.20 Cálculo de volúmenes

Para este caso se empleará el método de las áreas medias en el cual que tanto para corte y relleno se toma en cuenta el área frontal y la contigua de la parte superior y la misma se multiplica por la distancia entre las secciones en metros. (sjnavarro).

2.1.1.21 Movimiento de terracerías

El movimiento de terracerías dependerá de un factor económico que depende de el volumen de terracerías con las que se va a trabajar, por lo cual es impredecible determinar con exactitud la cantidad. Es decir, el movimiento de terracerías se considera desde el proceso de aflojar, acarrear y llevar el material hasta un sitio de acopio.

2.1.1.22 Acarreo

El acarreo comprende el transporte de material desde el sitio donde se excavo hasta el sitio de disposición el mismo es expresado en m3/Km para lo cual se puede considerar el acarreo libre este concepto se refiere al acarreo de material sin incurrir en sobrecostos que generalmente es la empresa contratante la que sufre este fenómeno. (Medellin).

2.1.1.23 Sobre acarreo

El sobreacarreo se produce cuando la distancia real de acarreo es mayor a la distancia real de acarreo libre por lo cual esto influye en un costo que no estaba previsto en los rubros de excavación. La suma de la longitud de acareo y sobre acarreo nos da como resultado una longitud total de acarreo con la cual vamos a elegir la máquina necesaria para emplear en la obra.

Tabla 2. 12 Longitud de acarreo de acuerdo al tipo de máquina

| MÁQUINA | LONGITUD TOTAL DE ACARREO (LTA) |
|-----------------------|------------------------------------|
| Tractor con bulldozer | LTA < 100 m |
| Tractor más traílla | 100 m < LTA < 400m |
| Mototraílla | 400 m < LTA < 2000 m |
| Camiones de acarreo | 2000 m < LTA |

Fuente: (Medellin).

2.1.1.24 Préstamos y desperdicios

Los préstamos y desperdicios dependerán del porcentaje de esponjamiento en el cual se puede determinar un coeficiente (Ce) del 30% el que es un supuesto ya que no siempre se va a llegar a cumplir, pero nos sirve para la estimación para el diagrama de curva de masas por lo tanto a este porcentaje de esponjamiento puede irse regulando en la manera que los valores encajen en el gráfico.

2.1.1.25 Curvas de masas

La curva de masa es ascendente cuando se tiene cortes o sea un signo positivo y cuando hay más terraplenes o rellenos es descendente y con signo negativo de tal forma nosotros podemos controlar que exista un equilibrio de tal manera que se pueda compensar los cortes con los rellenos por esta razón es de gran ayuda. (USON).

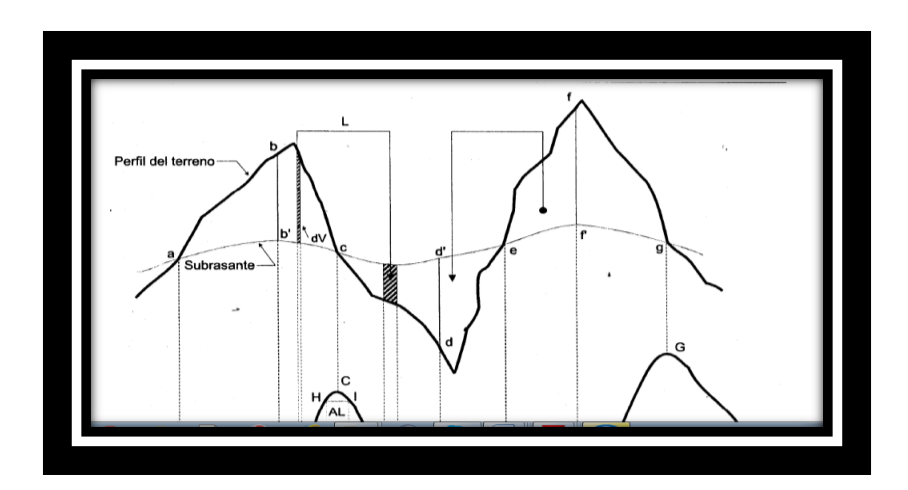


Figura 2. 7 Representación de cálculo de curva de masa

Fuente: (USON).

2.2 Diseño definitivo

2.2.1 Diseño Horizontal

Con la ayuda del software AutoCAD Civil 3D 2015 versión estudiantil, se procedió a realizar el diseño geométrico horizontal, vertical y transversal el mismo que se muestra en los siguientes pasos que seguimos.

En nuestro caso como ya contamos con los puntos topográficos, y las respectivas curvas de nivel proporcionadas por el G.A.D de San Fernando procedemos a ubicar la alineación de nuestro proyecto vial para lo cual en el menú "Inicio" ubicamos el botón "alineación" y damos click en las herramientas de creación de alineaciones como se ilustra en la Figura 2.8.

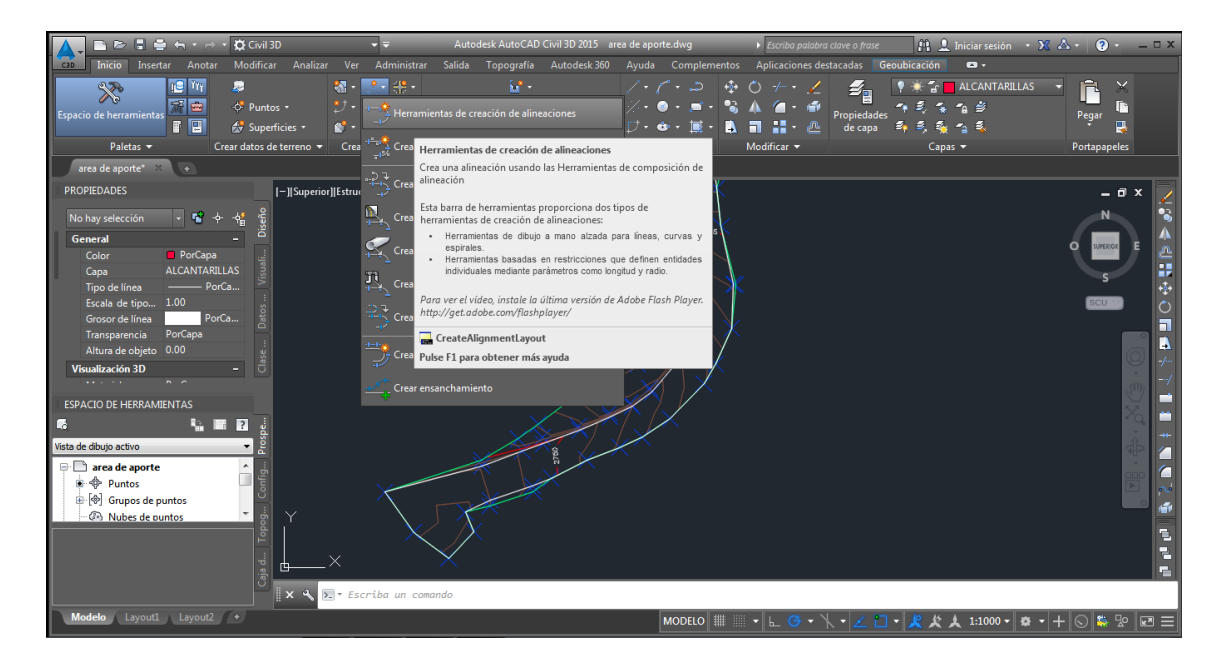


Figura 2. 8 Creación de alineación

Fuente: (Autodesk, 2015)

Por consiguiente se abre una ventana que tiene por título Crear alineación y llenamos la información como se muestra en la ilustración contigua.

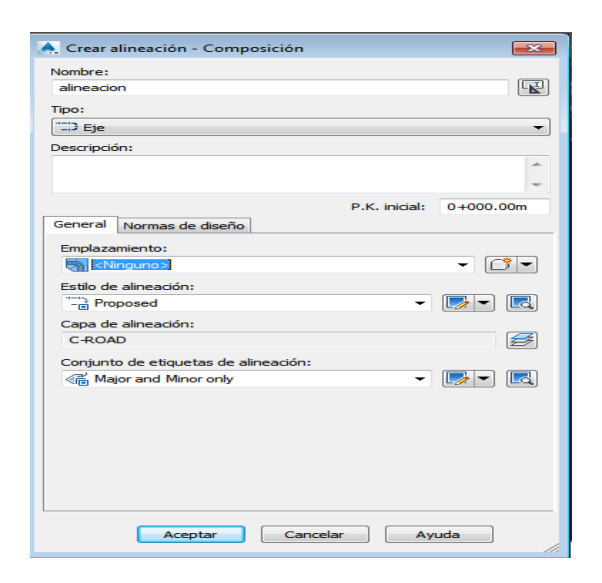


Figura 2. 9 Composición de alineación

Una vez realizada estas modificaciones damos click en Normas de diseño y ubicamos nuestra velocidad de diseño que es de 40 Km/h para nuestro caso, del mismo modo seleccionamos el peralte máximo permitido que es del 10% (emáx=10%).

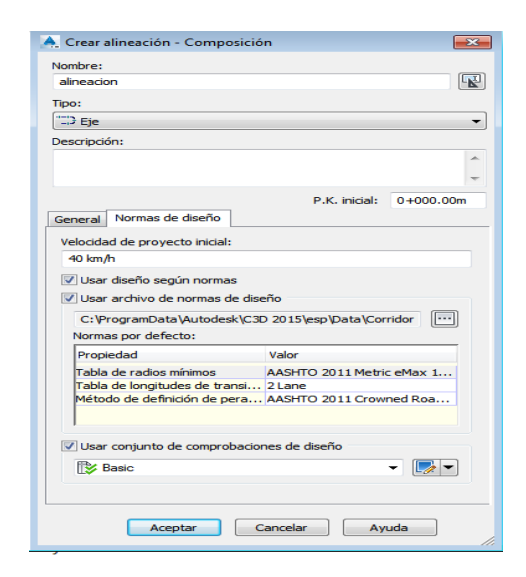


Figura 2. 10 Norma de diseño de alineación

Fuente: (Autodesk, 2015).

Inmediatamente se nos abre una barra de herramientas de composición de alineación, para lo cual seleccionamos la configuración de curva y espiral.

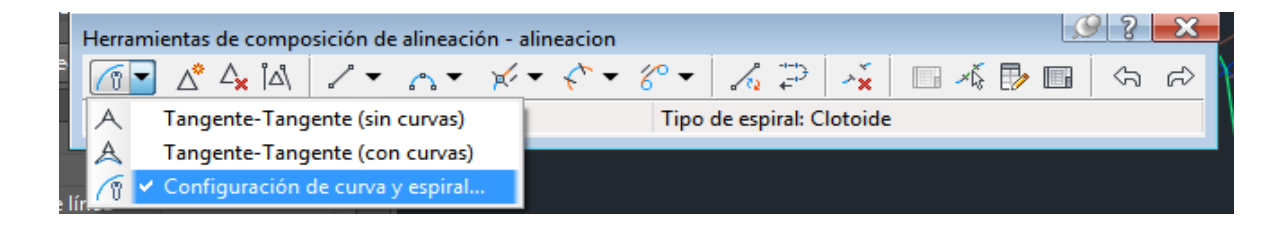


Figura 2. 11 Configuración de curva y espiral

Fuente: (Autodesk, 2015)

Después procedemos a la configuración de curvas, en el mismo se coloca un radio por defecto, el mismo que para nuestro proyecto es de 45 Km/h.



Figura 2. 12 Configuración de radio por defecto para curva

Fuente: (Autodesk, 2015)

Para la alineación se usará la tangente-tangente (con curvas).



Figura 2. 13 Selección de tangentes con curvas para el diseño

Fuente: (Autodesk, 2015).

Las curvas que usaremos están en la opción Más curvas fijas y seleccionamos curva fija (dentro extremo entidad, punto de paso).

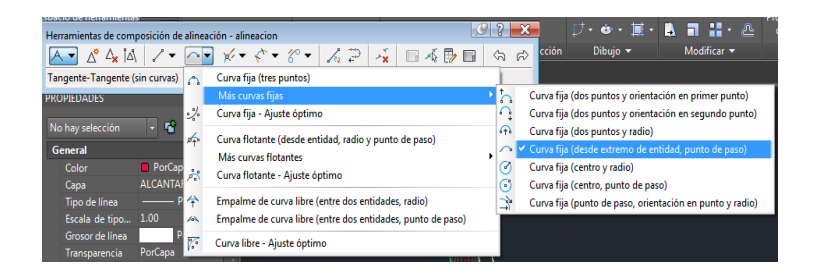


Figura 2. 14 Trazado de curvas entre tangentes

Fuente: (Autodesk, 2015).

De tal manera que nos quede nuestra alineación de esta forma, los símbolos de advertencia aparecen porque en este caso la alineación no está cumpliendo con los parámetros establecidos en la norma para lo cual se debe hacer la corrección necesaria.

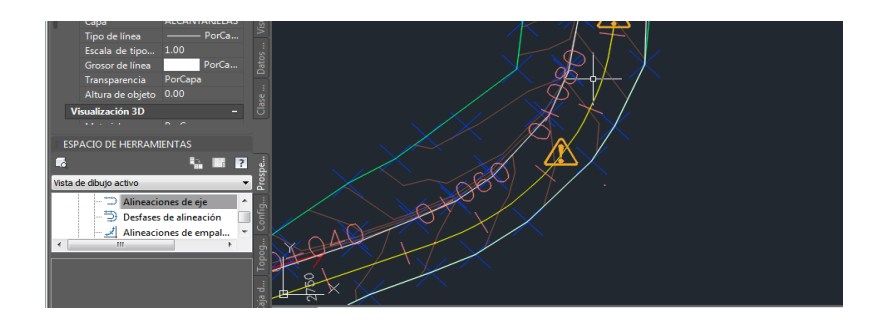


Figura 2. 15 Notificación de incumplimiento de norma

Abrimos las etiquetas de alineación para editarlas.

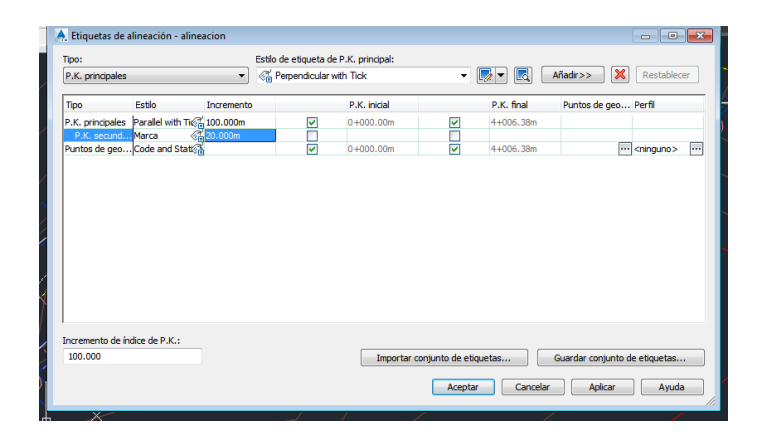


Figura 2. 16 Edición de etiquetas

Fuente: (Autodesk, 2015).

La configuración de las etiquetas de alineación debe quedar de la siguiente manera, en el cual se debe incluir las abscisas de inicio y fin de curva.

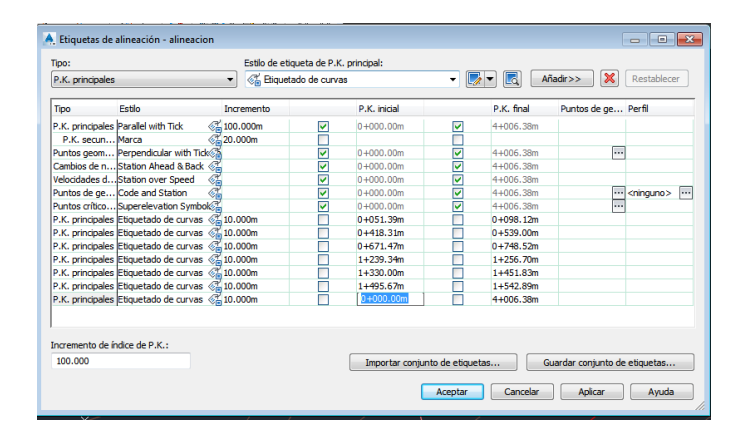


Figura 2. 17 Valores predeterminados en etiquetas

Luego creamos un patrón de marcado por Km para lo cual entramos en la opción creador de estilos de etiqueta de tal manera que tenga similitud con lo mostrado a continuación.

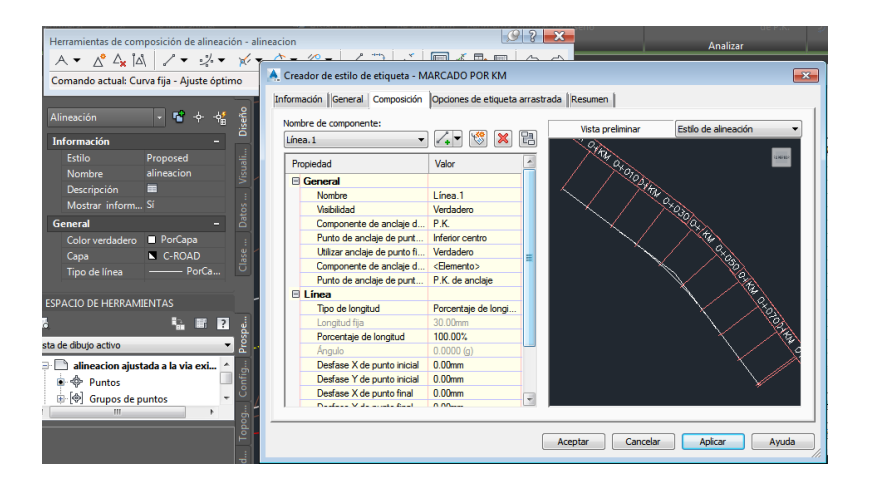


Figura 2. 18 Creador de estilo de etiqueta en curva

Fuente: (Autodesk, 2015)

Las etiquetas antes generadas se muestran a continuación plasmadas en la vista en planta.

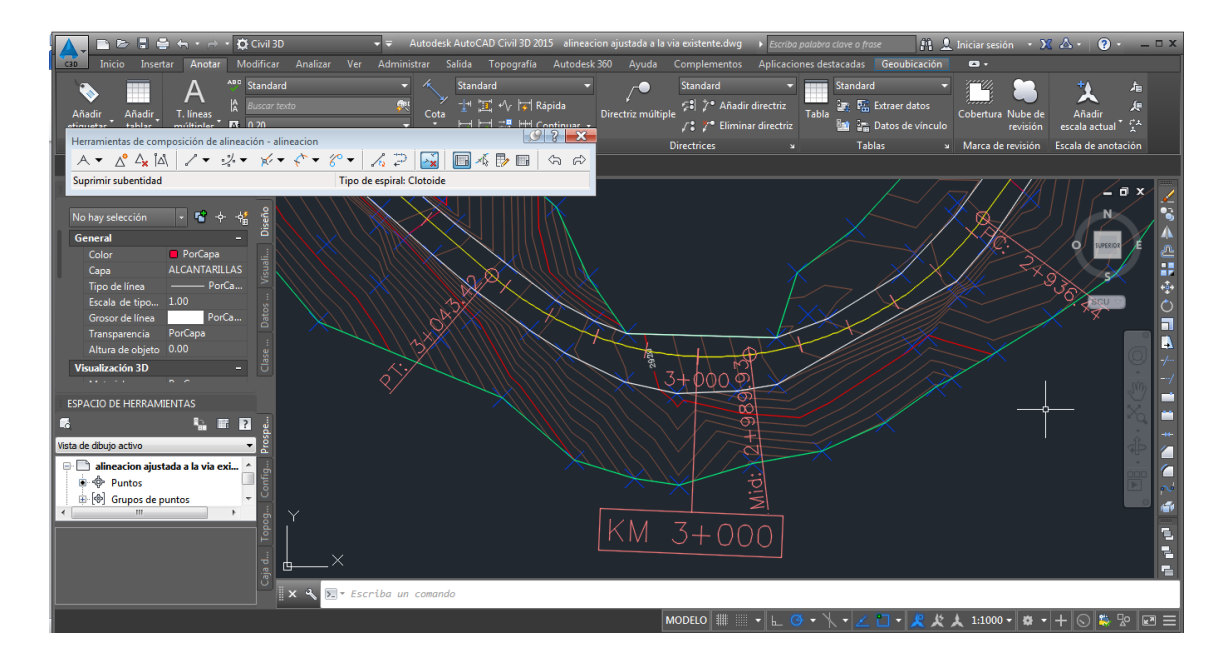


Figura 2. 19 Vista de etiquetado

En creador de estilo de etiqueta en contenido seleccionamos esta celda, y luego antes de los símbolos (< >) colocamos el prefijo PI.

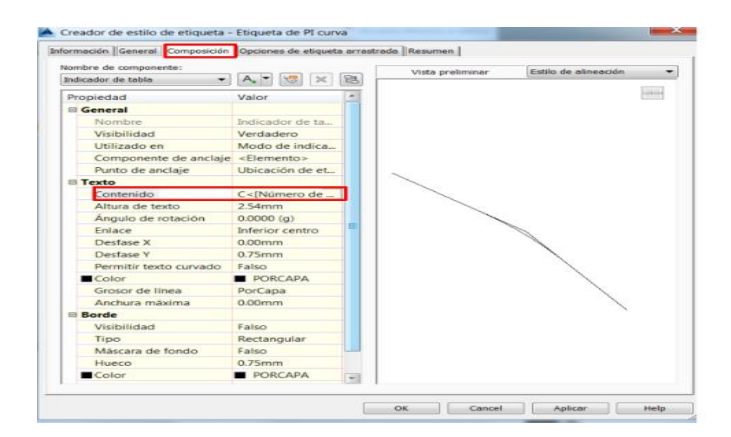


Figura 2. 20 Configuración de la etiqueta PI

Fuente: (Autodesk, 2015)

En el menú Anotar seleccionamos Añadir etiquetas en elementos ponemos alineación, en tipo de etiqueta colocamos Segmento múltiple, para la etiqueta de línea ponemos slope only, en el caso de las etiquetas de curva y espiral debemos seleccionar editar la configuración y de acuerdo a los datos que consideremos, una vez configurado podemos ir añadiendo a las espirales y curvas que deseemos.

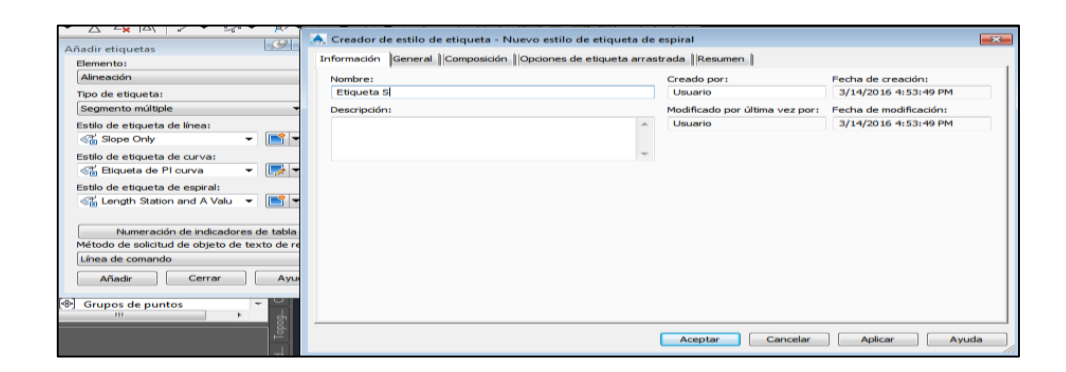


Figura 2. 21 Asignación de etiquetas al diseño

Fuente: (Autodesk, 2015)

Las etiquetas en las curvas y espirales nos deben quedar de la siguiente manera.

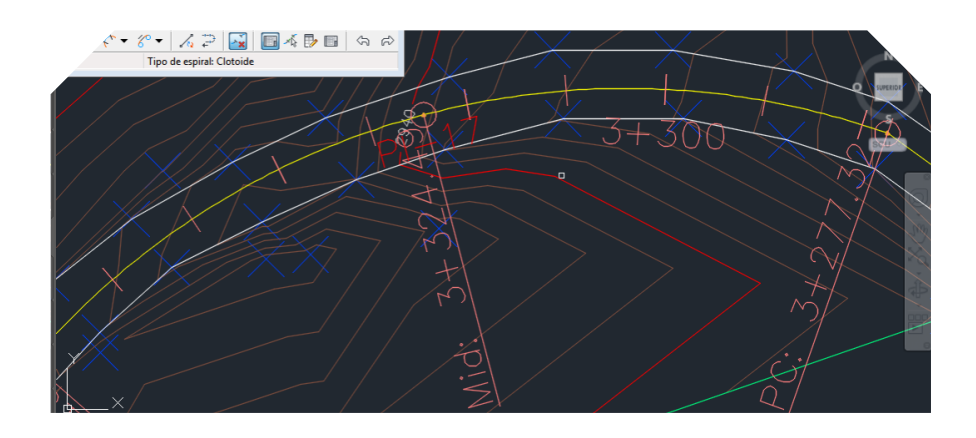


Figura 2. 22 Vista de etiqueta PI

Fuente: (Autodesk, 2015).

Para lograr definir el ancho de desfase de la alineación, para lo cual tenemos un desfase incremental a la izquierda y derecha de 2.2 m.

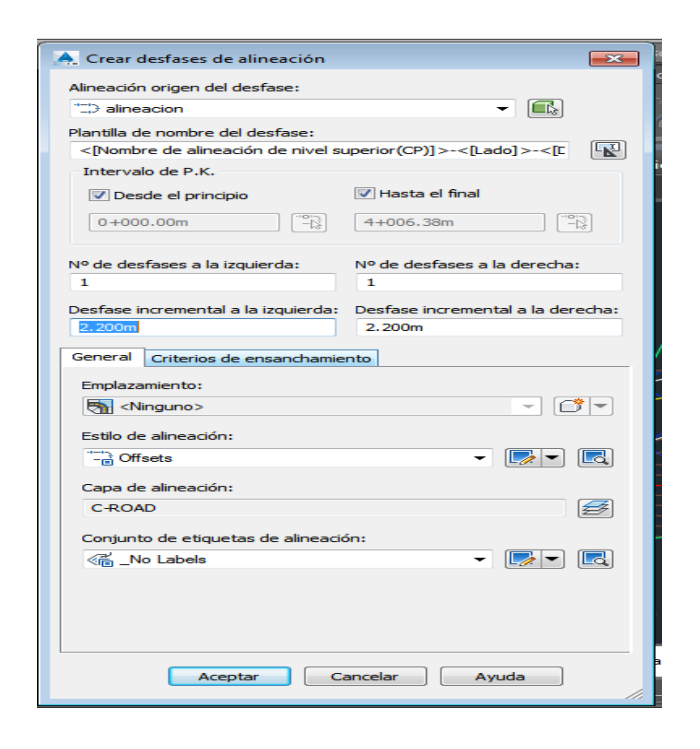


Figura 2. 23 Colocación del ancho de calzada

Fuente: (Autodesk, 2015).

En el mismo desfase de alineación en los criterios de ensanchamiento definimos la norma de la AASHTO 2011 para la toma de sobre anchos en curvas.

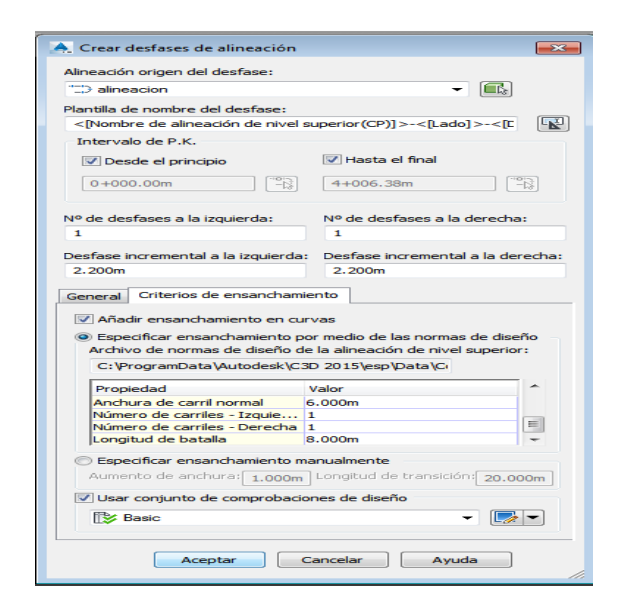


Figura 2. 24 Valores de diseño de calzada

Fuente: (Autodesk, 2015).

Por siguiente calculamos el peralte para lo cual, seleccionamos el icono peralte y en las opciones escogemos calcular peralte, al abrirse la ventana colocamos un ancho de 2.2 m y pendientes transversales del 2%, nuestra sección transversal no tiene bermas por lo cual no se toma en cuenta al llenar los datos.

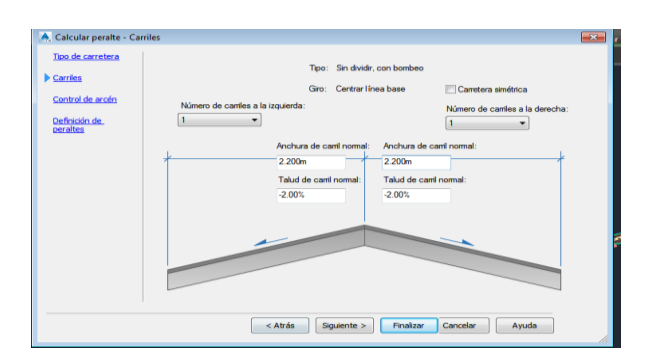


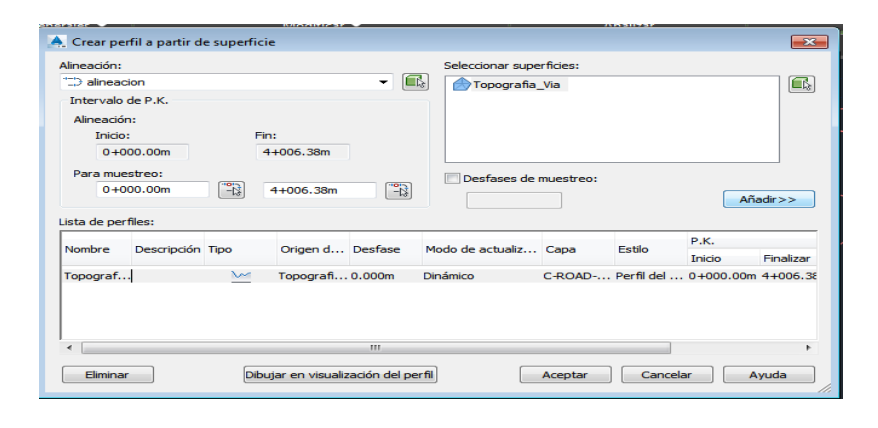
Figura 2. 25 Colocación del peralte en los carriles

Fuente: (Autodesk, 2015).

Tabla con los resultados del alineamiento horizontal en el ANEXO B.

2.2.2 Diseño Vertical

Seleccionamos la alineación creada luego en la ventana abierta en la parte superior seleccionamos perfil de superficie, de inmediato aparece una ventana en la cual seleccionamos nuestra alineación y añadimos la topografía y seleccionamos dibujar en visualización de perfil.



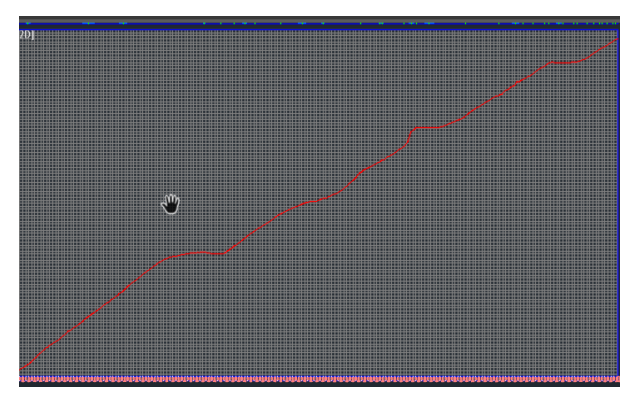


Figura 2. 26 Creación del perfil de terreno

Fuente: (Autodesk, 2015).

Una vez creada la gráfica vertical damos click en la misma y en la parte superior seleccionamos herramienta de creación de perfiles nos aparecerá una ventana con el título crear perfil entonces en descripción colocamos el nombre de la rasante en este caso "RASANTE SF-YG", luego en normas de diseño seleccionamos usar diseño según normas y archivo según normas.

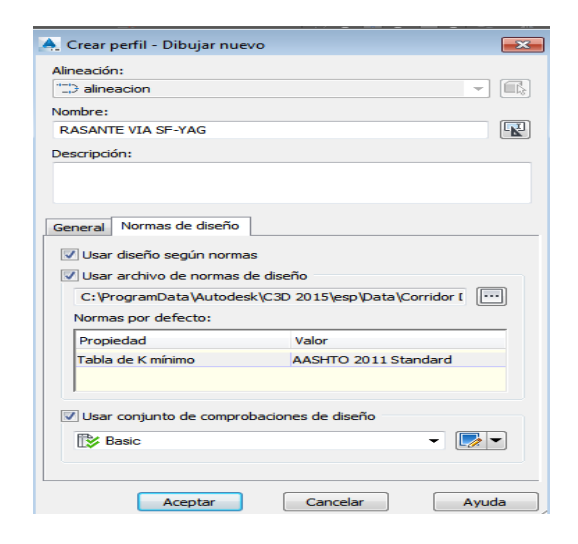


Figura 2. 27 Creación de perfil de diseño

Fuente: (Autodesk, 2015).

Una ventana llamada herramienta de composición de perfil y ahí en el primer cuadro seleccionamos configuración de acuerdo vertical, en el cuadro que se abre seleccionamos tipo de curva parabólica para acuerdos convexos valor de K de 3.8 y para acuerdos cóncavos con un K de 9.

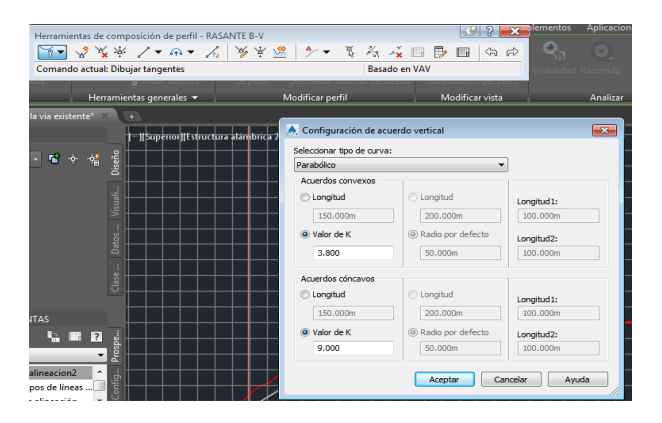


Figura 2. 28 Configuración de curva vertical

Una vez configurada la curva seleccionamos dibujar tangentes con curvas y procedemos al diseño.

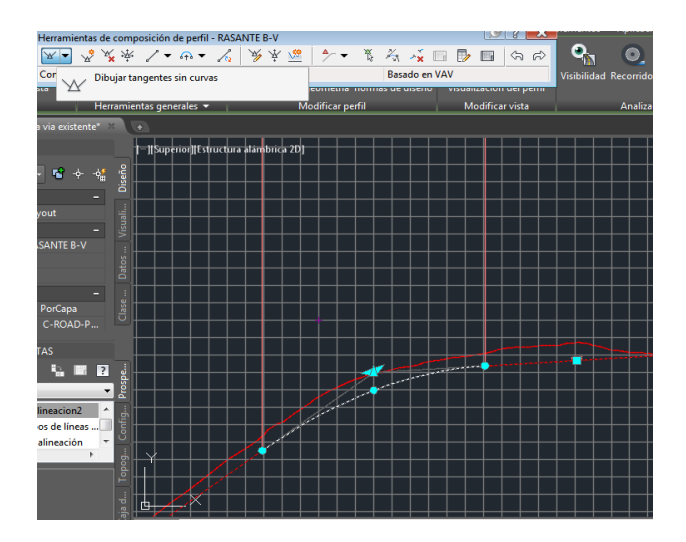


Figura 2. 29 Diseño con la opción tangente con curva

Fuente: (Autodesk, 2015)

Tabla con los resultados del diseño vertical en el ANEXO C.

2.2.3 Diseño Transversal

Una vez creado seleccionamos crear ensamblaje y luego en NOMBRE: ubicamos "SECCION SF-YG 4.4m".

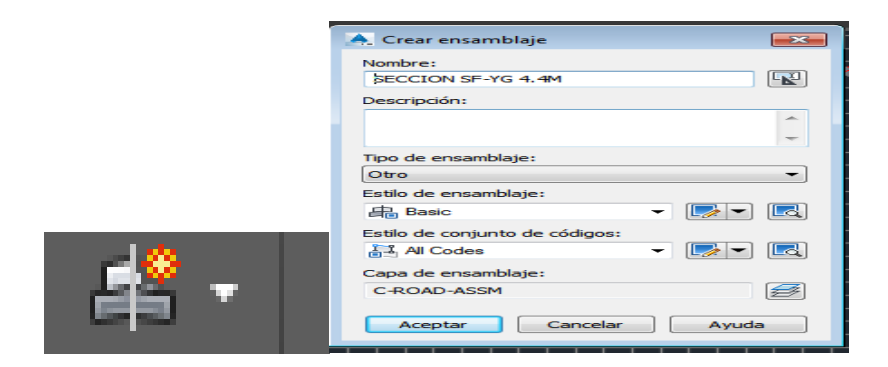


Figura 2. 30 Creación de la sección transversal

Una vez creado el ensamblaje nos debe aparecer una flecha roja la que determina que sea realizado correctamente el ensamblaje.

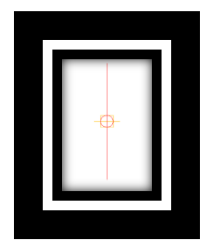


Figura 2. 31 Eje transversal de la calzada.

Fuente: (Autodesk, 2015).

Para construir nuestra sección transversal activamos la paleta de herramientas seleccionamos ensamblaje de sección completa de carretera principal y damos click en la flecha roja.

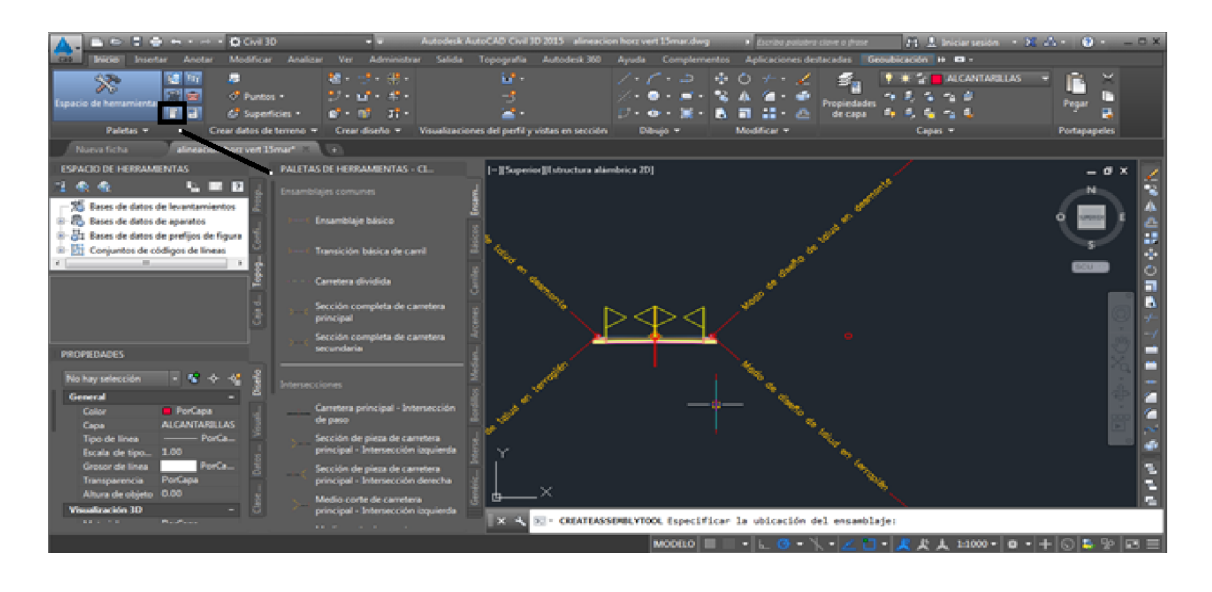


Figura 2. 32 Sección transversal de la vía

Una vez creado el ensamblaje suprimimos la parte izquierda del ensamblaje de tal manera que nos quede solo el lado derecho, en este sector damos click derecho y escogemos propiedades del ensamblaje, se abre una ventana en la cual en la pestaña construcción nos debe aparecer los siguientes datos calzada derecha, cuneta derecha, y talud derecha, luego configuramos cada uno de los elementos de la sección antes mencionada.

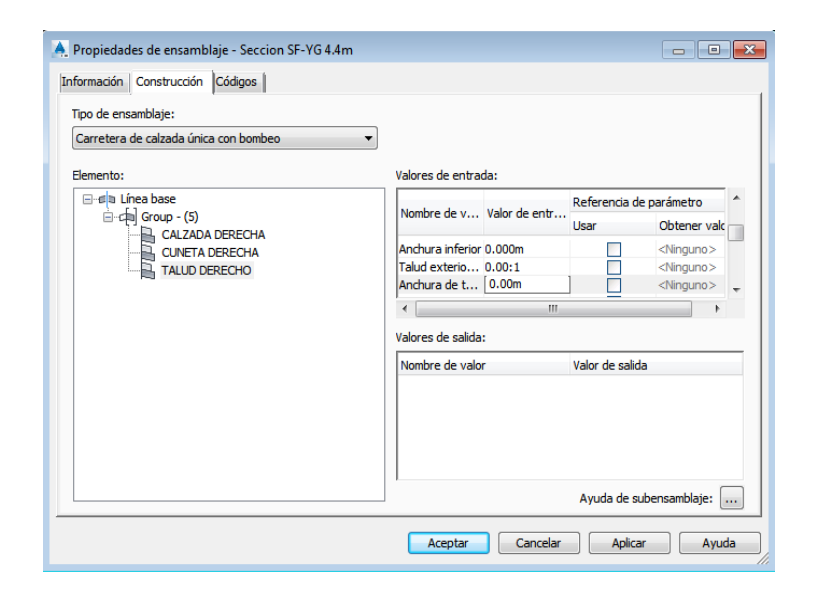


Figura 2. 33 Propiedades del ensamblaje

Fuente: (Autodesk, 2015)

En el caso de la calzada derecha ponemos los siguientes datos:

| Nombre de valor | Valor de entrada por defecto | Referencia de parámetro | | | |
|----------------------------|---------------------------------|-------------------------|---------------------|--|--|
| Nombre de Valor | valor de entrada por defecto | Usar | Obtener valor desde | | |
| Lado | Derecha | | <ninguno></ninguno> | | |
| Anchura | 2.200m | | <ninguno></ninguno> | | |
| Talud por defecto | -2.00% | | <ninguno></ninguno> | | |
| Profundidad de pavimento 1 | 0.105m | | <ninguno></ninguno> | | |
| Profundidad de pavimento2 | 0.000m | | <ninguno></ninguno> | | |
| Profundidad base | 0.105m | | <ninguno></ninguno> | | |
| Profundidad de sub-base | 0.230m | | <ninguno></ninguno> | | |
| Utilizar peralte | Carril exterior derecho | | <ninguno></ninguno> | | |
| Orientación de talud | Fuera del bombeo | | <ninguno></ninguno> | | |
| Punto de giro potencial | Sí | | <ninguno></ninguno> | | |
| Código de punto interior | Generatriz interior superior | | <ninguno></ninguno> | | |
| Código de punto exterior | Borde de pavimento (borde de l. | 🗖 | <ninguno></ninguno> | | |

Figura 2. 34 Configuración de la calzada

Para la cuneta derecha tenemos los siguientes datos.

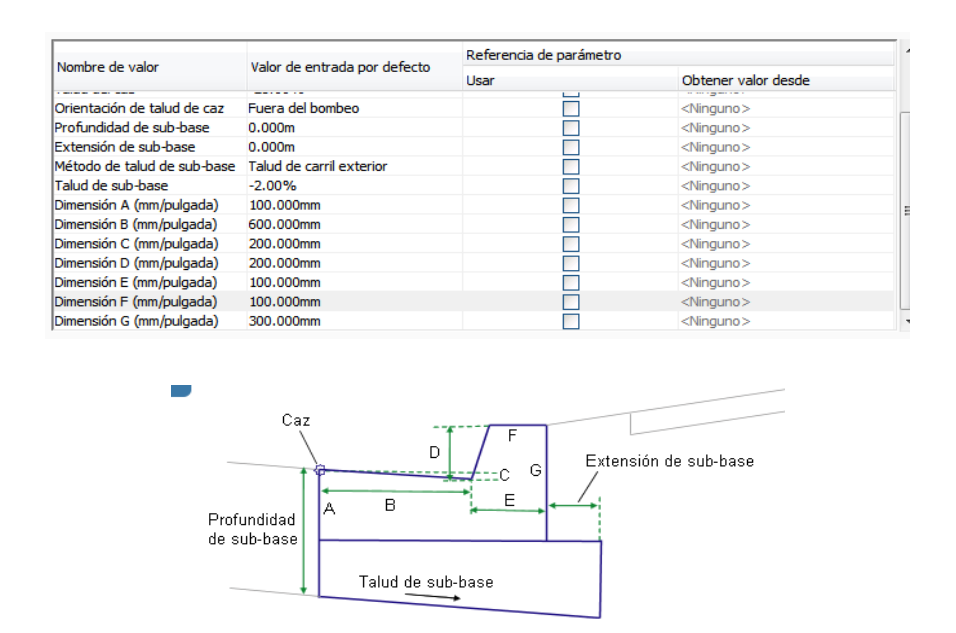


Figura 2. 35 Configuración de la cuneta

Fuente: (Autodesk, 2015)

Luego el talud derecho queda de la siguiente manera.

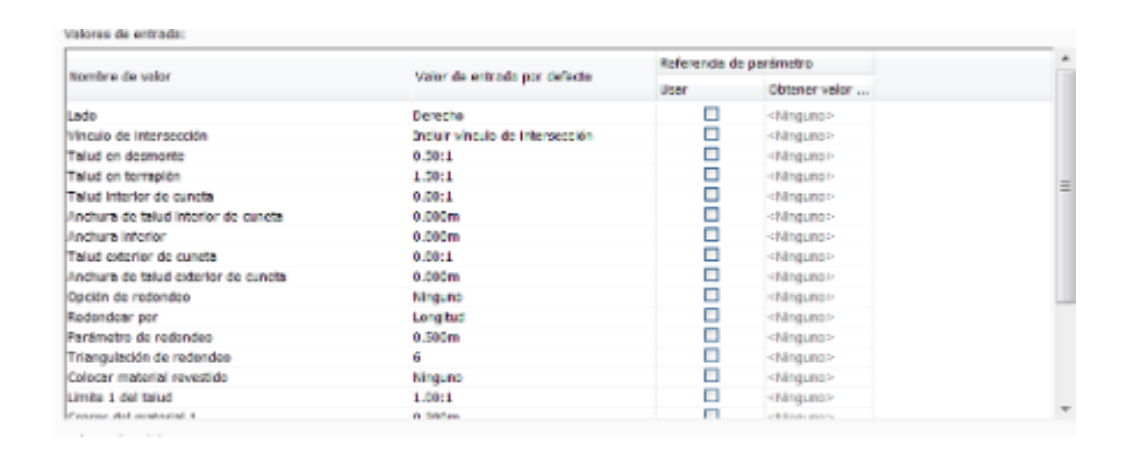


Figura 2. 36 Configuración del talud derecho

Una vez configurado todas las propiedades hacemos simetría del lado derecho al lado izquierdo, y nuevamente entramos a las propiedades del ensamblaje y configuramos la calzada de la izquierda, cuneta izquierda y talud de la izquierda escogiendo el lado correspondiente. Luego procedemos a realizar la obra lineal para lo cual seleccionamos el icono mostrado.

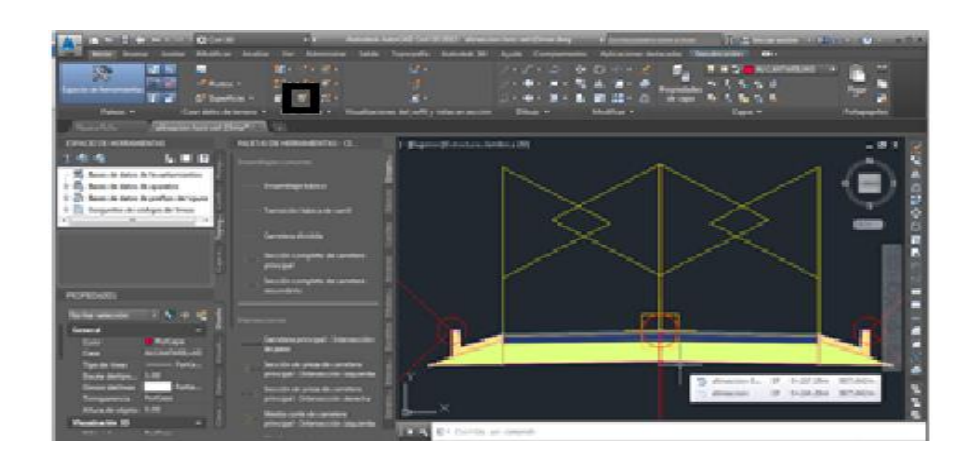


Figura 2. 37 Sección definitiva del proyecto

Fuente: (Autodesk, 2015).

Para la creación de la obra lineal configuramos con el nombre que deseemos, luego seleccionamos la alineación, perfil, y ensamblaje con que estamos trabajando.



Figura 2. 38 Creación de la obra lineal

Por consiguiente, asignamos el objetivo para lo cual se configura de tal manera que quede como el siguiente cuadro:

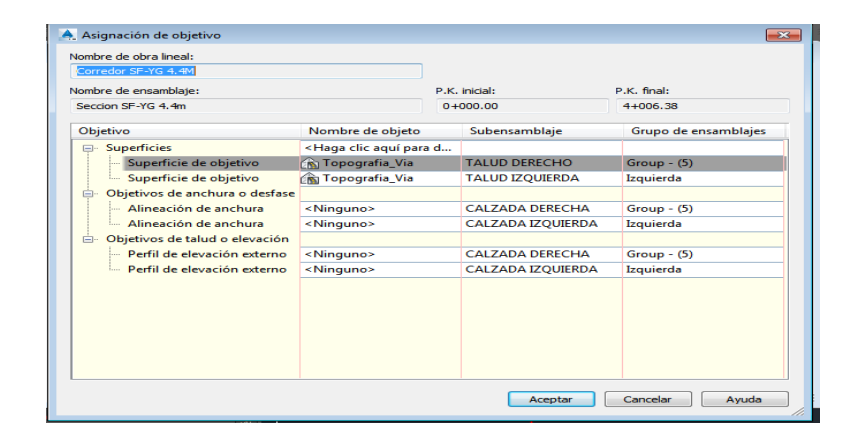


Figura 2. 39 Asignación de objetivos en la obra lineal

Fuente: (Autodesk, 2015).

Después de haber creado la obra lineal se asigna un tipo de líneas patrón o líneas de muestreo que nos guiaran por donde se van a generar las secciones transversales.

Presionamos la opción línea de muestreo, luego la alineación que estamos utilizando y se abre la ventana crear grupo de líneas de muestreo en esta opción tiene que estar encendidas la superficie de la obra lineal, la topografía y la obra lineal.

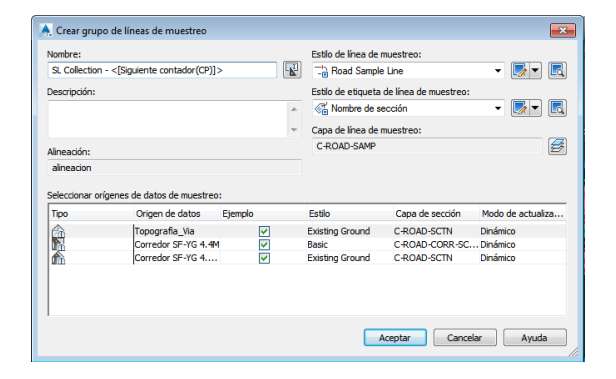


Figura 2. 40 Creación de las líneas de muestreo

Luego se abre una barra de herramientas de líneas de muestreo en la misma escogemos por intervalo de P.K. y en el cuadro que nos aparece seleccionamos intervalos de 10m en tangentes y 20m en curvas.

2.2.4 Sección Transversal

Para obtener las secciones transversales escogemos la opción crear varias vistas en la misma, definimos el desfase del eje de la vía a los extremos, en nuestro caso por presentar edificaciones en bordes de la vía, escogemos de 20m.

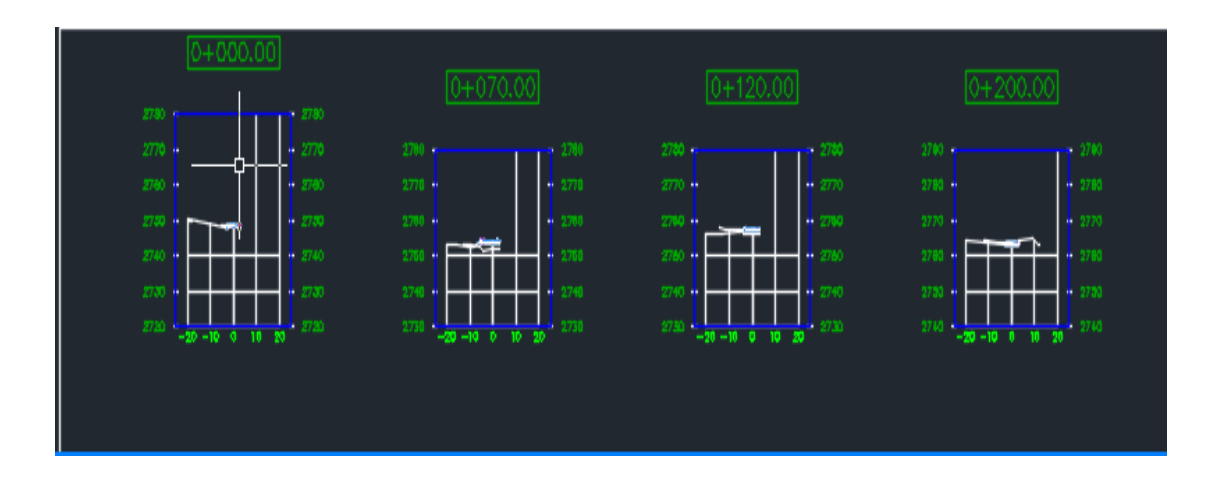


Figura 2. 41 Vista de sección transversal por líneas de muestreo

Fuente: (Autodesk, 2015).

2.2.5 Materiales

Para la adición de materiales, seleccionamos la opción analizar y dentro de la misma calcular materiales e inmediatamente escogemos la alineación y las líneas de muestreo creadas. Luego nos aparece un cuadro en la que debe quedar configurado de la siguiente manera.

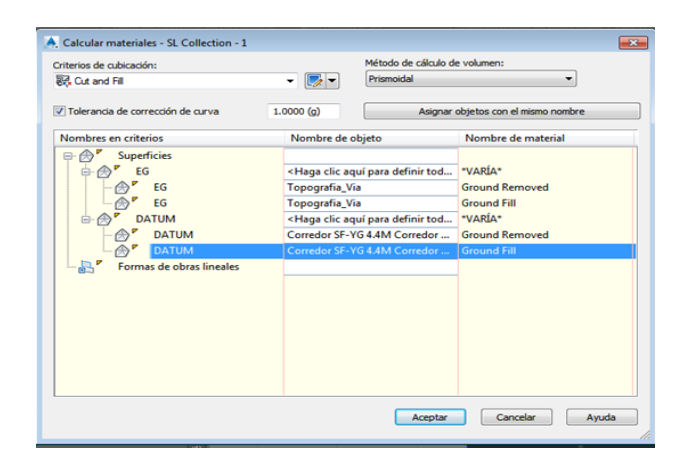


Figura 2. 42 Configuración para el cálculo de materiales

Fuente: (Autodesk, 2015).

Una vez llenado el cuadro procedemos a seleccionar aceptar, luego en el mismo botón de calcular materiales nos aparece otro cuadro en el que tenemos que poner los siguientes datos.

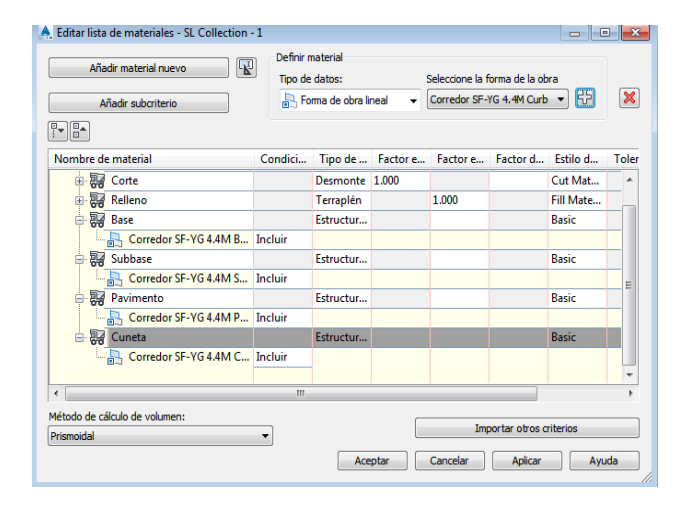


Figura 2. 43 Configuración de los materiales empleados.

Peña Cabrera, Cabrera Guambaña 67

Por ultimo damos click en aceptar y generamos un informe de volúmenes en el cual se obtuvo un reporte de los volúmenes de materiales empleados como el generado en el ANEXO C.

También existen tablas para generar los volúmenes por tipo de material.

Planos del diseño geométrico horizontal, vertical y transversal en el ANEXO I.

CAPÍTULO 3

DISEÑO DE PAVIMENTO FLEXIBLE

3.1 Variables de entrada

Según el Ingeniero Gustavo Corredor en su libro Experimento vial de la AASHO y las guías del diseño AASHTO (Corredor) manifiesta que las variables de entrada que corresponden al diseño y construcción de la estructura de pavimento son referidas al tiempo, tráfico, confiabilidad y efectos ambientales.

3.1.1 Cargas equivalentes en el periodo de diseño

Básicamente se basa en el volumen tráfico en el cual se convierte en una carga equivalente de ejes para una carga de 8.2 ton, y la conversión se lo hace utilizando un factor llamado LEF (Load Equivalent Factor) según se manifiesta por el Road Test de la AASHO (AASHO, 1962).

| 2 D 2DA 2DB 3-A | 2 DA | | I I | CAMIÓN DE 2 EJES PEQUEÑO | (Ton.) 7 | 5,00 | Andro 2,60 | Alto 3,00 |
|--------------------------|-------------|-------------|------------|--|-------------|-------|---------------|--------------|
| 2DA 2DB 3-A | 41-4 | | I I | | 7 | 5,00 | 2,60 | 3.00 |
| 2DB 3-A | 41-4 | | T ₹ | | | | | _,00 |
| 3-A | | | - + | CAMIÓN DE 2 EJES MEDIANOS | 10 | 7,50 | 2,60 | 3,50 |
| | 2 D8 | | ΙĪ | CAMIÓN DE 2 EJES GRANDES | 18 | 12,20 | 2,60 | 4,10 |
| | 3A 7 20 | | I II | CAMIÓN DE 3 EJES | 27 | 12,20 | 2,60 | 4,10 |
| 4-C | 4C 24 | | I III | CAMIÓN DE 4 EJES | 31 | 12,20 | 2,60 | 4,10 |
| 4-0 | 4-0 | | II II | CAMIÓ N CON TAMBEM DI RECCIONAL Y TAMBEM POSTERIOR | 32 | 12,20 | 2,60 | 4,10 |
| V2DB | F | | ΙĪ | VOLQUETA DE DOS E.ES 8 m ⁵ | 18 | 12,20 | 2,60 | 4,10 |
| V3A | | | I II | VOLQUETA DE TRES EJES 10-14 m ⁵ | 27 | 12,20 | 2,60 | 4,10 |
| vzs | atilitarian | | I II | VOLQUET A ZS DE 3 EJES 16m ⁵ | 27 | 12,20 | 2,60 | 4,10 |

Figura 3. 1 Peso y tipo de vehículos motorizados

3.1.1.1 LEF (Load Equivalent Factor)

Según el Manual Centroamericano para el diseño de pavimentos (Iturbide, 2002) denomina LEF que es el resultado numérico de la relación entre la perdida de servicialidad por causa del eje de 80 KN con respecto a otra de producida por un eje estándar en un mismo eje.

$$N^{\circ}LEF = \frac{N^{\circ} \ de \ ESAL'S \ de \ 80KN \ que \ producen \ una \ pérdida \ de \ servicialidad}{N^{\circ} \ de \ ejes \ de \ 80KN \ que \ producen \ la \ misma \ servicialidad}$$

(Ecuación 28). (Iturbide, 2002).

Cabe destacar que para el cálculo del número de ESAL'S es necesario estimar el numero estructural y el índice de servicial dad final.

3.1.1.2 Factor de distribución por dirección

Este factor depende del tráfico existente en la vía, por lo general en el Manual Centroamericano para el diseño de pavimentos (Iturbide, 2002), por lo general se toma un valor de 0.5 para lo cual también se ha desarrollado una tabla para diferentes casos:

Tabla 3. 1 Factor de distribución por carril

| Número de carriles en ambas direcciones. | LD^{10} |
|--|-----------|
| 2 | 50 |
| 4 | 45 |
| 6 ò mas | 40 |

Fuente: (Iturbide, 2002).

3.1.1.3 Factor de distribución por carril

Para encontrar el factor se determina primero el carril de diseño, que no es más que tomar en cuenta el carril con mayor número de ejes equivalentes, por ejemplo para el caso de vías con 2 carriles se puede tomar el carril que se quiera, para el caso de varios carriles se toma el externo ya que es el que contiene a los vehículos pesados a más de esto el Manual Centroamericano para el diseño de pavimentos (Iturbide, 2002), adjunta las siguientes tablas.

Tabla 3. 2 Factor de distribución por carril

| Número de carriles en una sola dirección. | LC^{11} |
|---|-----------|
| 1 | 1 |
| 2 | 0.8 a 1 |
| 3 | 0.6 a 0.8 |
| 4 | 0.5-0.75 |

Fuente: (Iturbide, 2002)

3.1.1.4 Índice de servicialidad

Se toma en cuenta de acuerdo al grado de percepción del conductor al pasar por una superficie buena, regular o pésimas condiciones. Para lo cual el Manual Centroamericano para el diseño de pavimentos tomo como un valor de 5 para el índice de servicialidad inicial en vías en óptimas condiciones, y para vías con un deterioro total un índice de servicialidad final de 0, la diferencia entre estos dos factores se conoce como perdida de servicialidad (Δpsi) que sería el índice de servicialidad presente, en el mismo documento cita algunos valores que se pueden tomar:

Índice de servicialidad inicial (Po):

Po=4.5 pavimentos rígidos.

Po=4.2 pavimentos flexibles.

Índice de servicialidad final (Pt):

Pt= 2.5 o más para caminos importantes y 2.0 para caminos de transito menor.

3.1.1.5 Factor camión

El factor camión no es más que la suma de los LEF de cada eje, para lo cual se utiliza tanto el peso por eje y el numero estructural(SN) el cual asumimos a más de tomar en cuenta el índice de servicialidad final (Pt) para la elección del adecuado LEF en las siguientes tablas.

Tabla 3. 3 Factores equivalentes de carga

TABLAS DE FACTORES EQUIVALENTE DE CARGAS

Factores equivalentes de carga para pavimentos flexibles, ejes simples, Pt = 2,0

| Carga p(eje | | N | úmero est | ructural 3 | BN | |
|---------------------|--------|--------|-----------|------------|--------|--------|
| (kips) ⁶ | 1 | 2 | 3 | 4 | 5 | 6 |
| 2 | 0.0002 | 0.0002 | 0.0002 | 0.0002 | 0.0002 | 0.0002 |
| 4 | 0.002 | 0.003 | 0.002 | 0.002 | 0.002 | 0.002 |
| 6 | 0.009 | 0.012 | 0.011 | 0.010 | 0.009 | 0.009 |
| 8 | 0.03 | 0.035 | 0.036 | 0.033 | 0.031 | 0.029 |
| 10 | 0.075 | 0.085 | 0.090 | 0.085 | 0.079 | 0.076 |
| 12 | 0.165 | 0.177 | 0.189 | 0.183 | 0.174 | 0.168 |
| 14 | 0.325 | 0.338 | 0.354 | 0.350 | 0.338 | 0.331 |
| 16 | 0.589 | 0.598 | 0.613 | 0.612 | 0.603 | 0.596 |
| 18 | 1.00 | 1.00 | 1.00 | 1.00 | 1.00 | 1.00 |
| 20 | 1.61 | 1.59 | 1.56 | 1.55 | 1.57 | 1.59 |
| 22 | 2.49 | 2.44 | 2.35 | 2.31 | 2.35 | 2.41 |
| 24 | 3.71 | 3.62 | 3.43 | 3.33 | 3.40 | 3.51 |
| 26 | 5.36 | 521 | 4.88 | 4.68 | 4.77 | 4.96 |
| 28 | 7.54 | 7.31 | 6.78 | 6.42 | 6.52 | 6.83 |
| 30 | 10.4 | 10.0 | 9.2 | 8.8 | 8.7 | 9.2 |
| 32 | 14.0 | 13.5 | 12.4 | 11.5 | 11.5 | 12.1 |
| 34 | 18.5 | 17.9 | 16.3 | 15.0 | 14.9 | 15.6 |
| 36 | 24.2 | 23.3 | 21.2 | 19.3 | 19.0 | 19.9 |
| 38 | 31.1 | 29.9 | 27.1 | 24.6 | 24.0 | 25.1 |
| 40 | 39.6 | 38.0 | 343 | 30.9 | 30.0 | 31.2 |
| 42 | 49.7 | 47.7 | 43.0 | 38.6 | 37.2 | 38.5 |
| 44 | 61.8 | 59.3 | 53.4 | 47.6 | 45.7 | 47.1 |
| 46 | 76.1 | 73.0 | 65.6 | 58.3 | 55.7 | 57.0 |
| 48 | 92.9 | 89.1 | 80.0 | 70.9 | 67.3 | 68.6 |
| 50 | 113. | 108. | 97. | 86. | 81. | 82. |

Factores equivalentes de carga para pavimentos flexibles, ejes tándem, Pt = 2,0

| Carga p/eje | Número estructural SN | | | | | | |
|-------------|-----------------------|--------|--------|--------|--------|--------|--|
| (kips) | 1 | 2 | 3 | 4 | 5 | 6 | |
| 2 | 0.0000 | 0.0000 | 0.0000 | 0.0000 | 0.0000 | 0.0000 | |
| 4 | 0.0003 | 0.0003 | 0.0003 | 0.0002 | 0.0002 | 0.0002 | |
| 6 | 0.001 | 0.001 | 0.001 | 0.001 | 0.001 | 0.001 | |
| 8 | 0.003 | 0.003 | 0.003 | 0.003 | 0.003 | 0.002 | |
| 10 | 0.007 | 0.008 | 0.008 | 0.007 | 0.006 | 0.006 | |
| 12 | 0.013 | 0.016 | 0.016 | 0.014 | 0.013 | 0.012 | |
| 14 | 0.024 | 0.029 | 0.029 | 0.026 | 0.024 | 0.023 | |
| 16 | 0.041 | 0.048 | 0.050 | 0.046 | 0.042 | 0.040 | |
| 18 | 0.066 | 0.077 | 0.081 | 0.075 | 0.069 | 0.066 | |
| 20 | 0.103 | 0.117 | 0.124 | 0.117 | 0.109 | 0.105 | |
| 22 | 0.156 | 0.171 | 0.183 | 0.174 | 0.164 | 0.158 | |
| 24 | 0.227 | 0.244 | 0.260 | 0.252 | 0.239 | 0.231 | |
| 26 | 0.322 | 0.340 | 0.360 | 0.353 | 0.338 | 0.329 | |
| 28 | 0,447 | 0.465 | 0.487 | 0.481 | 0.466 | 0.455 | |
| 30 | 0.607 | 0.623 | 0.646 | 0.643 | 0.627 | 0.617 | |
| 32 | 0.810 | 0.823 | 0.843 | 0.842 | 0.829 | 0.819 | |
| 34 | 1.06 | 1.07 | 1.08 | 1.08 | 1.08 | 1.07 | |
| 36 | 1,38 | 1.38 | 1.38 | 1.38 | 1.38 | 1.38 | |
| 38 | 1.76 | 1.75 | 1.73 | 1.72 | 1.73 | 1.74 | |
| 40 | 2.22 | 2.19 | 2.15 | 2.13 | 2.16 | 2.18 | |
| 42 | 2.77 | 2.73 | 2.64 | 2.62 | 2.66 | 2.70 | |
| 44 | 3.42 | 3.36 | 3.23 | 3.18 | 3.24 | 3.31 | |
| 46 | 4.20 | 4.11 | 3.92 | 3.83 | 3.91 | 4.02 | |
| 48 | 5.10 | 4.98 | 4.72 | 4.58 | 4.68 | 4.83 | |
| 50 | 6.15 | 5.99 | 5.64 | 5.44 | 5.56 | 5.77 | |
| 52 | 7.37 | 7.16 | 6.71 | 6.43 | 6.56 | 6.83 | |
| 54 | 8.77 | 8.51 | 7.93 | 7.55 | 7.69 | 8.03 | |
| 56 | 10.4 | 10.1 | 9.3 | 8.8 | 9.0 | 9.4 | |
| 58 | 12.2 | 11.8 | 10.9 | 10.3 | 10.4 | 10.9 | |
| 60 | 14.3 | 13.8 | 12.7 | 11.9 | 12.0 | 12.6 | |
| 62 | 16.6 | 16.0 | 14.7 | 13.7 | 13.8 | 14.5 | |
| 64 | 19.3 | 18.6 | 17.0 | 15.8 | 15.8 | 16.6 | |
| 66 | 22.2 | 21.4 | 19.6 | 18.0 | 18.0 | 18.9 | |
| 68 | 25.5 | 24.6 | 22.4 | 20.6 | 20.5 | 21.5 | |
| 70 | 29.2 | 28.1 | 25.6 | 23.4 | 23.2 | 24.3 | |
| 72 | 33.3 | 32.0 | 29.1 | 26.5 | 26.2 | 27.4 | |
| 74 | 37.8 | 36.4 | 33.0 | 30.0 | 29.4 | 30.8 | |
| 76 | 42.8 | 41.2 | 37.3 | 33.8 | 33.1 | 34.5 | |
| 78 | 48.4 | 46.5 | 42.0 | 38.0 | 37.0 | 38.6 | |
| 80 | 54.4 | 52.3 | 47.2 | 42.5 | 41.3 | 43.0 | |
| 82 | 61.1 | 58.7 | 52.9 | 47.6 | 46.0 | 47.8 | |
| 84 | 68.4 | 65.7 | 59.2 | 53,0 | 51.2 | 53.0 | |
| 86 | 76.3 | 73.3 | 66.0 | 59.0 | 56.8 | 58.6 | |
| 88 | 85.0 | 81.6 | 73.4 | 65.5 | 62.8 | 64.7 | |
| 90 | 94.4 | 90.6 | 81.5 | 72.6 | 69.4 | 71.3 | |

Fuente: (Iturbide, 2002)

3.1.1.6 Factor de crecimiento

Es una proyección del crecimiento anual de vehículos por año expresado en porcentaje, depende del periodo de diseño y de la tasa de crecimiento anual (g).

Tabla 3. 4 Factores de crecimiento de tránsito

Factores de crecimiento de tránsito

| Periodo | | | | | | | | |
|-----------------------|-------------|-------|-------|-------|--------|--------|--------|-------|
| de análisis (años) | Crecimiento | 2 | 4 | 5 | 6 | 7 | 8 | 10 |
| 1 | 1.0 | 1.0 | 1.0 | 1.0 | 1.0 | 1.0 | 1.0 | 1.0 |
| 2 | 2.0 | 2.02 | 2.04 | 2.05 | 2.06 | 2.07 | 2.08 | 2.10 |
| 3 | 3.0 | 3.06 | 3.12 | 3.15 | 3.18 | 3.21 | 3.25 | 3.31 |
| 4 | 4.0 | 4.12 | 4.25 | 4.31 | 4.37 | 4.44 | 4.51 | 4.64 |
| 5 | 5.0 | 5.20 | 5.42 | 5.53 | 5.64 | 5.75 | 5.87 | 6.11 |
| 6 | 6.0 | 6.31 | 6.63 | 6.80 | 6.98 | 7.15 | 7.34 | 7.72 |
| 7 | 7.0 | 7.43 | 7.90 | 8.14 | 8.39 | 8.65 | 8.92 | 9.49 |
| 8 | 8.0 | 8.58 | 9.21 | 9.55 | 9.90 | 10.26 | 10.64 | 11.44 |
| 9 | 9.0 | 9.75 | 10.58 | 11.03 | 11.49 | 11.98 | 12.49 | 13.58 |
| 10 | 10.0 | 10.95 | 12.01 | 12.58 | 13.18 | 13.82 | 14.49 | 15.94 |
| 11 | 11.0 | 12.17 | 13.49 | 14.21 | 14.97 | 15.78 | 16.65 | 18.53 |
| 12 | 12.0 | 13.41 | 15.03 | 15.92 | 16.87 | 17.89 | 18.98 | 21.38 |
| 13 | 13.0 | 14.68 | 16.63 | 17.71 | 18.88 | 20.14 | 21.50 | 24.52 |
| 14 | 14.0 | 15.97 | 18.29 | 19.16 | 21,01 | 22.55 | 24.21 | 27.97 |
| 15 | 15.0 | 17.29 | 20.02 | 21.58 | 23.28 | 25.13 | 27.15 | 31.77 |
| 16 | 16.0 | 18.64 | 21.82 | 23.66 | 25.67 | 27.89 | 30.32 | 35.95 |
| 17 | 17.0 | 20.01 | 23.70 | 25.84 | 28.21 | 30.84 | 33.75 | 40.55 |
| 18 | 18.0 | 21,41 | 25.65 | 28.13 | 30.91 | 34.00 | 37.45 | 45.60 |
| 19 | 19.0 | 22.84 | 27.67 | 30.54 | 33.76 | 37.38 | 41.45 | 51.16 |
| 20 | 20.0 | 24.30 | 29.78 | 33.06 | 38.79 | 41.00 | 45.76 | 57.28 |
| 25 | 25.0 | 32.03 | 41.65 | 47.73 | 54.86 | 63.25 | 73.11 | 98.35 |
| 30 | 30.0 | 40.57 | 56.08 | 66.44 | 79.06 | 94.46 | 113.28 | 164.4 |
| 35 | 35.0 | 49.99 | 73.65 | 90.32 | 111,43 | 138.24 | 172.32 | 271.0 |

Fuente: (Iturbide, 2002).

También podemos calcular el factor de crecimiento de tránsito con la siguiente formula:

Factor de crecimiento =
$$\frac{(1+g)^n-1}{g}$$
 (Ecuación29).

g= tasa de crecimiento anual (%).

n= periodo de diseño.

3.1.1.7 Cálculo de ejes equivalentes de diseño.

Para el cálculo de ejes equivalentes es necesario los siguientes datos: el tipo de vehículo, la cantidad de vehículos categorizados, El Factor de crecimiento, factor camión, factor de dirección, factor de carril.

A continuación, tenemos un ejemplo de aplicación que explica cada uno de los factores, relacionados con el cálculo de ejes equivalentes.

Tabla 3. 5 Cálculo de ejes equivalentes de diseño

| Tipo de | Cantidad | Factor de | Tránsito de | LEF(4) | ESAL`s de |
|-----------|------------|-------------|-----------------|---------|-----------------|
| vehículo. | de | crecimiento | diseño(3) | | diseño.(5) |
| | vehículos | (2). | (3)=(1)*(2)*365 | | (5)=(4)*(3) |
| | diarios(1) | | | | |
| Autos | 500 | Tasa anual | =500*15.08*365 | =0.0002 | =2752100*0.0002 |
| | | (0.079%) | =2752100 | | =550 |
| | | 15.08 | | | |
| | | | (9) | TOTAL | =550 |

Fuente: (Iturbide, 2002).

(6)Factor de dirección: 0.5

(7)Factor de carril: 0.9

ESAL's por carril de tránsito= (9)*(7)*(8)

ESAL's por carril de tránsito= 550* 0.9*0.5=248.

La tabla se elaboró tomando del Manual centroamericano para el diseño de pavimentos (Iturbide, 2002), de la siguiente manera clasificando por el tipo de vehículo, la cantidad de los mismos, Factor de crecimiento, el tránsito de diseño se lo hace multiplicado la cantidad de vehículos por el factor de crecimiento y por 365 días que tiene el año, el factor camión se lo hace sumando los LEF de cada eje, el ESAL`s de diseño es la multiplicación del Factor camión por el tránsito de diseño.

Por consiguiente hemos tomado el factor carril de 0.9 y el factor de dirección de 0.5, después multiplicamos los dos factores por el ESAL's de diseño , y de esta manera tenemos el ESAL's por carril de tránsito.

3.2 Confiabilidad en el diseño

La confiablidad en el diseño está dada por el tipo de vía con la que estemos trabajando, en realidad nos da una seguridad para la sección vial tenemos una tabla dada por la normativa AASHTO 93 (AASHO, 1962), la misma que no da el porcentaje de confianza.

Tabla 3. 6 Confiabilidad de diseño

| • | . % DE CONFIABILIDAD POR SECTORES. | | | | |
|-----------------------------------|------------------------------------|---------|--|--|--|
| Tipo de vía por su función | URBANO. | RURAL | | | |
| Vías Interestatales y Autopistas. | 85-99.9 | 80-99.9 | | | |
| Arterias principales. | 80-99 | 75-95 | | | |
| Vías colectoras. | 80-95 | 75-95 | | | |
| Vías laterales. | 50-80 | 50-80 | | | |

Fuente: (Iturbide, 2002).

3.2.1 Desviación estándar del sistema

La desviación Estándar (Zr) está de acuerdo al nivel de confiabilidad con ese porcentaje escogemos el valor de Zr en la siguiente tabla tomada de la norma AASHTO 93 (AASHO, 1962).

Tabla 3. 7 Desviación Estándar del sistema

| % DE CONFIABILIDAD. | DESVIACIÓN ESTANDAR NORMAL |
|---------------------|-------------------------------|
| 70 | -0.524 |
| 75 | -0.674 |
| 80 | -0.841 |
| 85 | -1.037 |
| 90 | -1.282 |
| 95 | -1.645 |
| 98 | -2.054 |
| 99 | -2.327 |
| 99.9 | -3.09 |

Fuente: (AASHO, 1962).

3.2.2 Módulo de resiliencia (Mr)

La norma Ecuatoriana vial en el volumen 2B (MTOP, 2013), el módulo de resiliencia es la relación existente entre el esfuerzo desviador y la deformación recuperable, resultante del ensayo triaxial.

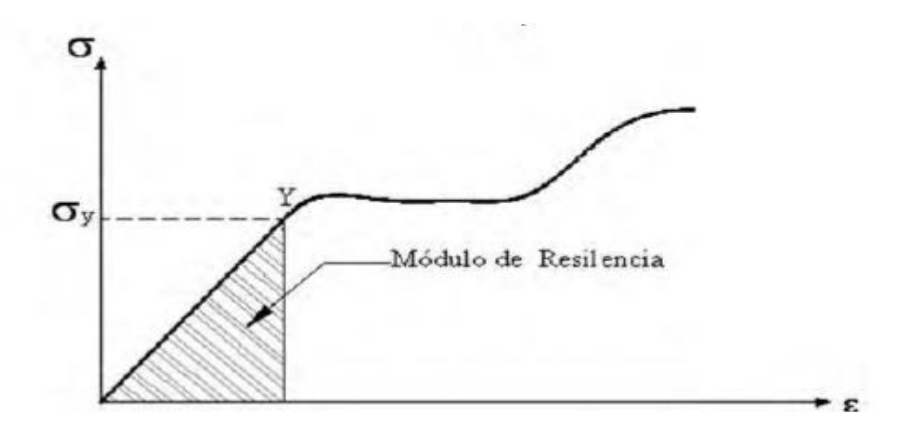


Figura 3. 2 Gráfica del módulo de resilencia

Fuente: (MTOP, 2013).

Existe una correlación existente entre el CBR y el Modulo de Resiliencia (MR) que emplea la normativa vial (MTOP, 2013).

3.2.3 Módulo de los materiales que forman el pavimento

Los módulos elásticos para la base y sub-base se calculan con la formula mencionada en el inciso 3.2.2 y sujeta a las mismas restricciones de CBR, a más de esto la AASHTO 93 (AASHO, 1962), recomienda asumir un valor del 80% para la base y un 30% para la sub-base, para el caso de la carpeta asfáltica asumimos 30000 Kg/cm2.

3.3 Diseño estructural del pavimento

3.3.1 Determinación del número estructural requerido

Para la determinación del número estructural (SN) se requiere la confiabilidad (%), la desviación estándar, el número de ejes equivalentes W18, el Modulo de resiliencia(PSI), y la perdida de servicialidad (Δpsi). Con los mismos podemos llenar el nomograma que se presenta a continuación determinado por la normativa vial AASHTO 93 (AASHO, 1962).

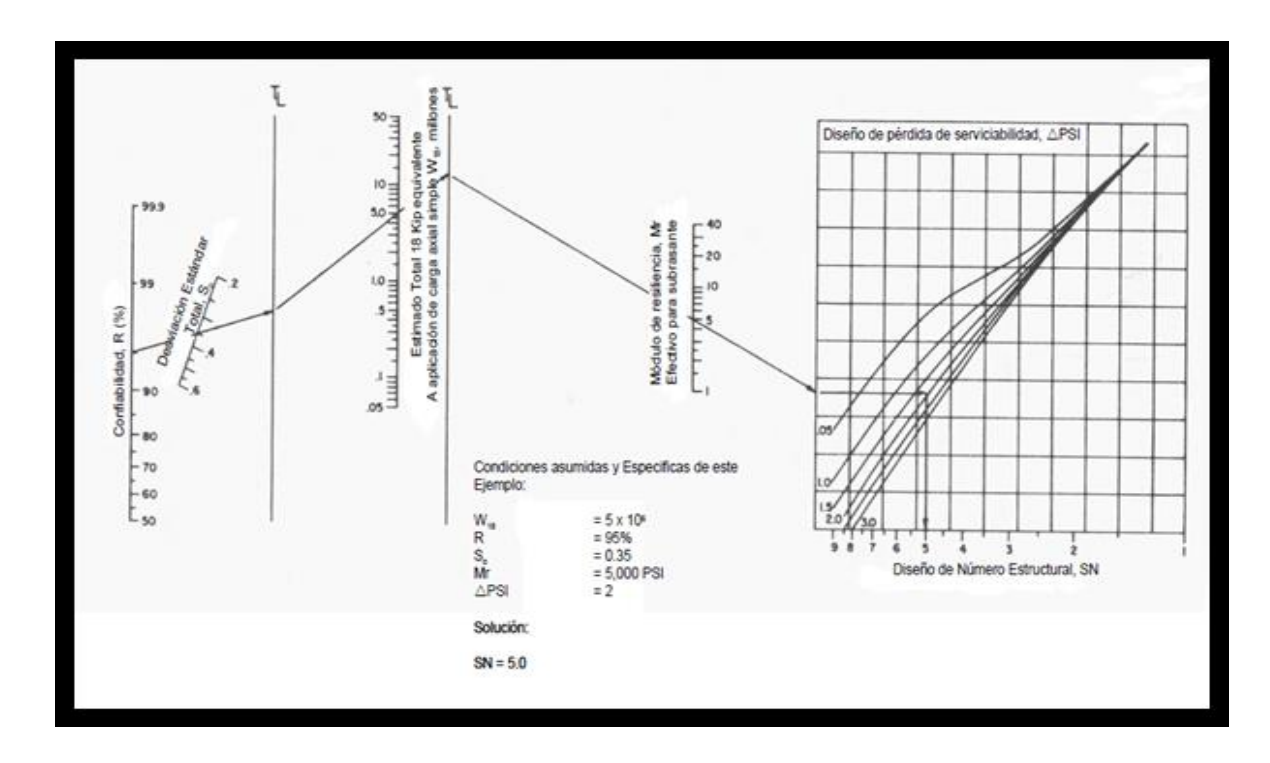


Figura 3. 3 Nomograma para el diseño de pavimento flexible

Fuente: (AASHTO, 1993).

3.3.2 Coeficientes elásticos de capas (ai)

Son los coeficientes estructurales o de capas que influyen directamente sobre el espesor del material de cada capa, es así que en la AASHTO 93 (AASHTO, 1993) determina el coeficiente elástico(ai) para la carpeta asfáltica en función del módulo elástico, y para base y sub-base en función del CBR.

Tabla 3. 8 Coeficiente elástico para carpeta asfáltica

| MODU | LOS ELASTICOS | VALORES DE (a1) |
|--------|---------------|-----------------|
| Psi | Mpa | |
| 125000 | 875 | 0.220 |
| 150000 | 1050 | 0.250 |
| 175000 | 1225 | 0.280 |
| 200000 | 1400 | 0.295 |
| 225000 | 1575 | 0.320 |
| 250000 | 1750 | 0.320 |
| 275000 | 1925 | 0.350 |
| 300000 | 2100 | 0.360 |

| MODULOS EL | MODULOS ELASTICOS | | | |
|-----------------|-----------------------|---------------|--|--|
| PSI | MPA | a1 (plg^-1) | | |
| 1 25000 | 862 | 0,22 | | |
| 1 50000 | 1 03 4 | 0,25 | | |
| 17 5000 | 1207 | 0,28 | | |
| 200000 | 1 3 7 9 | 0,295 | | |
| 225000 | 1551 | 0,32 | | |
| 250000 | 1724 | 0,33 | | |
| 275000 | 18 96 | 0,35 | | |
| 300000 | 2068 | 0,37 | | |
| 325000 | 22 41 | 0,38 | | |
| 350000 | 2 41 3 | 0,39 | | |
| 3 75 000 | 2586 | 0,4 | | |
| 400000 | 2758 | 0,42 | | |
| 425000 | 2930 | 0 ,4 3 | | |
| 450000 | 3 1 03 | 0,44 | | |

Fuente: (Milton).

Para nuestro proyecto tomamos un módulo elástico de 350000 con un a1 de 0.39

Tabla 3. 9 Coeficiente elástico para base y subbase

| BASE DE AGREGADOS. | | SUBBASE DE AGREGADOS. | | |
|--------------------|-------|-----------------------|-------|--|
| CBR(%) | a2 | CBR(%) | a3 | |
| 20 | 0.070 | 10 | 0.08 | |
| 25 | 0.085 | 15 | 0.09 | |
| 30 | 0.095 | 20 | 0.093 | |
| 35 | 0.1 | 25 | 0.102 | |
| 40 | 0.105 | 30 | 0.108 | |
| 45 | 0.112 | 35 | 0.115 | |
| 50 | 0.115 | 40 | 0.120 | |
| 55 | 0.120 | 50 | 0.125 | |
| 60 | 0.125 | 60 | 0.128 | |
| 70 | 0.130 | 70 | 0.130 | |
| 80 | 0.133 | 80 | 0.135 | |
| 90 | 0.137 | 90 | 0.138 | |
| 100 | 0.140 | 100 | 0.140 | |

Fuente: (AASHTO, 1993).

3.3.3 Factores de drenaje de capas (mi)

Este factor se escoge de acuerdo al tiempo de evacuación del agua y en función de aquello escogemos la calidad del drenaje como podemos observar en las siguientes tablas.

Tabla 3. 10 Calidad de drenaje y tiempo de evacuación de agua

| Calidad del drenaje. | Tiempo recomendado de evacuación del |
|----------------------|--------------------------------------|
| | agua. |
| Excelente | 2 horas |
| Bueno | 1 día |
| Regular | 1 semana |
| Malo | 1 mes |

Fuente: (AASHTO, 1993).

Una vez escogido la calidad del drenaje y con el porcentaje de tiempo que esta la estructura expuesta a la humedad, procedemos a seleccionar el coeficiente de drenaje (mi) en la siguiente tabla tomada de la AASHTO 93.

Tabla 3. 11 Selección del coeficiente de drenaje

| Calidad de Drenaje | Porcentaje de tiempo con la estructura expuesta a niveles de humedad próximos a la saturación | | | | |
|--------------------|---|-------------|-------------|-------|--|
| | < 1% | 1 - 5% | 5 - 25% | > 25% | |
| Excelente | 1,40 - 1,35 | 1,35 - 1,30 | 1,30 - 1,20 | 1,2 | |
| Bueno | 1,35 - 1,25 | 1,25 - 1,15 | 1,15 - 1,00 | 1,0 | |
| Regular | 1,25 - 1,15 | 1,15 - 1,05 | 1,00 - 0,80 | 0,8 | |
| Pobre | 1,15 - 1,05 | 1,05 - 0,80 | 0,80 - 0,60 | 0,6 | |
| Muy Pobre | 1,05 - 0,95 | 0,95 - 0,75 | 0,75 - 0,40 | 0,4 | |

Fuente: (AASHTO, 1993).

3.3.4 Selección de los espesores de las capas

Para la determinación de los espesores de las capas la normativa AASHTO 93 (AASHTO, 1993), especifica valores mínimos de espesores en función del número de ESAL`s.

Tabla 3. 12 Espesores mínimos sugeridos

Espesores mínimos sugeridos

| Número de ESAL´s | Capas Asfálticas | Base Granular |
|-----------------------|------------------|---------------|
| Menos de 50,000 | 3.0 cm | 10 cm |
| 50,000 - 150,000 | 5.0 cm | 10 cm |
| 150,000 - 500,000 | 6.5 cm | 10 cm |
| 500,000 - 2,000,000 | 7.5 cm | 15 cm |
| 2,000,000 - 7,000,000 | 9.0 cm | 15 cm |
| Más de 7,000,000 | 10.0 cm | 15 cm |

Fuente: (MTOP, 2013).

A continuación se mostrara el procedimiento para determinar el espesor de pavimento para cada capa según el Manual centroamericano para el diseño de pavimentos (Iturbide, 2002).

Con la Figura 3.2, podemos obtener los números estructurales de cada capa es decir para hallar el numero estructural se debe poner el módulo de resiliencia(Mrb) de la capa que se encuentre justamente debajo de la capa que estemos analizando, así por ejemplo en el caso de la carpeta asfáltica se debería colocar el módulo de resiliencia de la base:

Para el caso de la carpeta asfáltica esta seria:

SN1=d1/a1 (Ecuación30)

Donde el número estructural (SN1) es el valor mínimo requerido, por lo cual deberíamos tomar un valor de SN1 y d1 de tal manera que sean mayor iguales al mínimo requerido a estos valores los denominaremos en esta capa y en las otras capas entre comillas (").

$$SN1$$
"=(d1")xa1>= $SN1$ (Ecuación31).

Continuando con la capa de base para hallar su número estructural (SN2), tomamos el módulo de resiliencia (MrSb) de la sub-base, siendo de la siguiente manera.

Por último, para la capa de sub-base su número estructural (SN3), se hallaría con el módulo de resiliencia de la subrasante (Mr) de tal forma que.

$$d3" >= (SN3-SN1"-SN2")/(a3xm3).$$
 (Ecuación35).

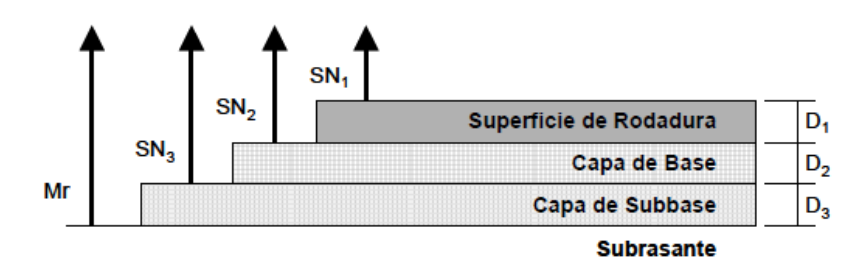


Figura 3. 4 Esquema del número estructural

Fuente: (Corredor)

3.4 Diseño del pavimento definitivo

Para el caso de nuestro pavimento se utilizará capas de 4 pulgadas (estimado de 10 cm) aproximadamente para la capa de rodadura asfáltica, 4 pulgadas (estimado 10 cm) de base granular y una capa de sub-base granular de 11 pulgadas (28 cm).

Procedemos:

1) Se procedió a sacar el tráfico de diseño.

Se escogió tres tipos de vehículo, por lo que en la zona transitaban estos, según tablas.

Tabla 3. 13 Tipos de vehículos

| Vehículo |
|----------|
| 2D |
| 3A |
| 2DA |

Para la cantidad de vehículos se utilizó el TPDA ya encontrado.

Tabla 3. 14 Cantidad de TPDA

| Vehículo | TPDA |
|----------|------|
| 2D | 381 |
| 3A | 7 |
| 2DA | 57 |

Factor de crecimiento se debe usar el de los vehículos, pero como en la zona no existe este dato, tomamos el de la población que es i=0.079% y con un periodo de vida útil n= 15 años según datos de la AASHTO.

$$F. Crec = \frac{(1+i)^n - 1}{i}$$
 (Ecuación36).

Tabla 3. 15 Factores de crecimiento

| Vehículo | TPDA | Crecí |
|----------|------|-------|
| 2D | 381 | 15.08 |
| 3A | 7 | 15.08 |
| 2DA | 57 | 15.08 |
| | | |

Factor Camión, para obtener este dato sumamos la cantidad de LEFS de cada vehículo, con un número estructural SN= 3 para luego ser iterado hasta conseguir un valor similar, con un índice de servicio Pt = 2, por lo que la vía es secundaria también el tipo de pavimento que en esta ocasión es flexible y buscamos en las tablas.

(E.S)= Eje simple.

(E.T)= Eje tándem.

Tabla 3. 16 Cantidad de LEF

| | | 2D | | 3A | | 2DA |
|--------|--------|--------|--------|---------|--------|--------|
| TN | (E.S)3 | (E.S)4 | (E.S)7 | (E.T)20 | (E.S)3 | (E.S)7 |
| KN | 30 | 40 | 70 | 200 | 30 | 70 |
| Lef | 0.036 | 0.09 | 0.613 | 3.92 | 0.036 | 0.613 |
| Camión | | 0.126 | | 4.533 | | 0.649 |

Finalmente los ESALS.

$$ESALS = TPDA * F. Crec * Días del año * F. Camión$$
 (Ecuación37)

Tabla 3. 17 Número de ESALS

| Vehículo | Cant | F.Creci | Camión | Esals | |
|----------|------|---------|--------|--------|------|
| 2D | 381 | 15,08 | 0,126 | 264235 | |
| 3A | 7 | 15,08 | 4,533 | 174654 | |
| 2DA | 57 | 15,08 | 0,649 | 203617 | |
| | | | | 642506 | TOTA |

Terminando el tráfico de diseño. La vía es de 2 carriles la multiplicamos por 90% al valor que resulta de multiplicar los ESALS por 50% para obtener el valor de tráfico por carril.

Tabla 3. 18 Trafico de Diseño

| 2Sentidos | 50% | |
|---------------------|--------|--|
| Cada carril 80-100% | 90% | |
| | | |
| TD | 289127 | |

Según la cantidad de ESALS se observó el valor de percentil. Según la tabla de instituto del asfalto y determino este valor. Nuestro valor de ESALS= 289127, por lo tanto se usó el percentil al 75%.

Tabla 3. 19 Percentil de diseño de subrasante.

| Nivel de Tránsito | Valor Percentil Diseño Subrasante | | |
|--|--------------------------------------|--|--|
| Menor a 10,000 ejes equivalentes | 60 | | |
| Entre 10,000 y 1'000,000 ejes equivalentes | 75 | | |
| Mayor a 1'000,000 de ejes equivalentes | 87.5 | | |

Fuente: (AASHTO, 1993).

Dada los diversos tipos de CBR a lo largo de la vía se calcula el CBR de diseño, para esto hemos realizado un cuadro que se visualizara a continuación y de esta manera se encontró el dato de CBR de diseño. El cual sirvió para sacar el Mr de la subrasante.

Se encontró el CBR de diseño de 2.5 según tabla.

Tabla 3. 20 % CBR-Percentil

| | | | N° veces | |
|-------|------|------|----------|-------------|
| | | | mayor al | |
| | %CBR | %CBR | %CBR | %Ocurrencia |
| 0+000 | 2.5 | 1 | 8 | 100 |
| 0+500 | 2.59 | 2 | 7 | 87,5 |
| 1+000 | 3.93 | 3 | 5 | 62,5 |
| 1+500 | 9.25 | 4 | 3 | 37,5 |
| 2+000 | 3.07 | 5 | 2 | 25 |
| 2+500 | 4.73 | 6 | 2 | 25 |
| 3+000 | 2.01 | 7 | 2 | 25 |
| 3+500 | 9.1 | 8 | 2 | 25 |

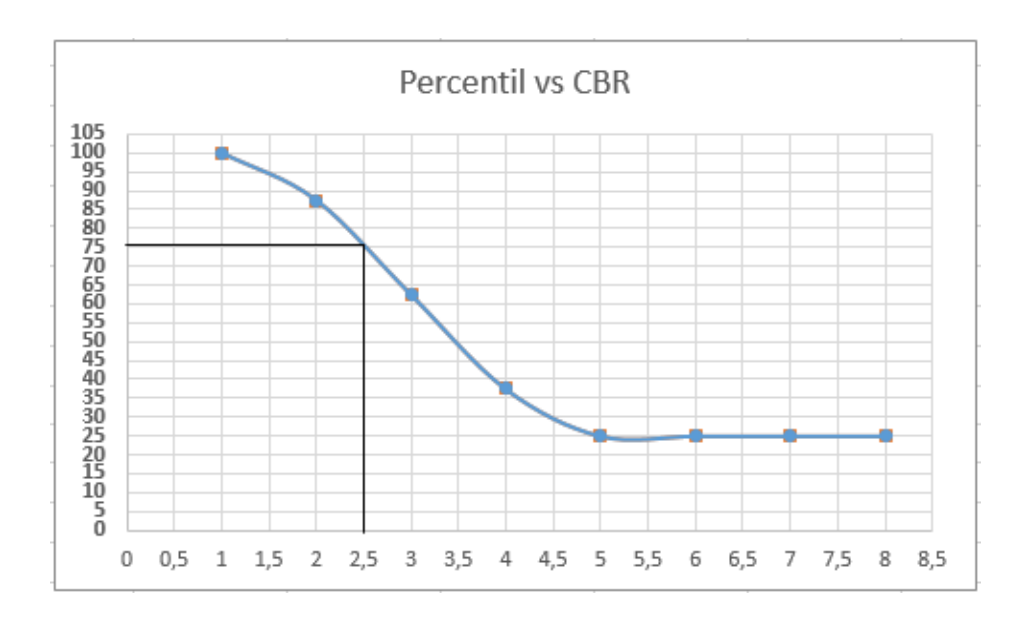


Figura 3. 5 Grafica percentil-CBR

Para el percentil del 75% se obtuvo un % de CBR del 2.5%.

Con los datos obtenidos, se ingresó en el programa.

So=Coeficiente de variación.

So = 0.45 Para pavimento nuevo.

Zr= Confiabilidad.

Zr=0.85 Asumimos.

PSI=4.2 Para pavimento nuevo

PSF=2 Para vías secundarias

TD=289127=W18

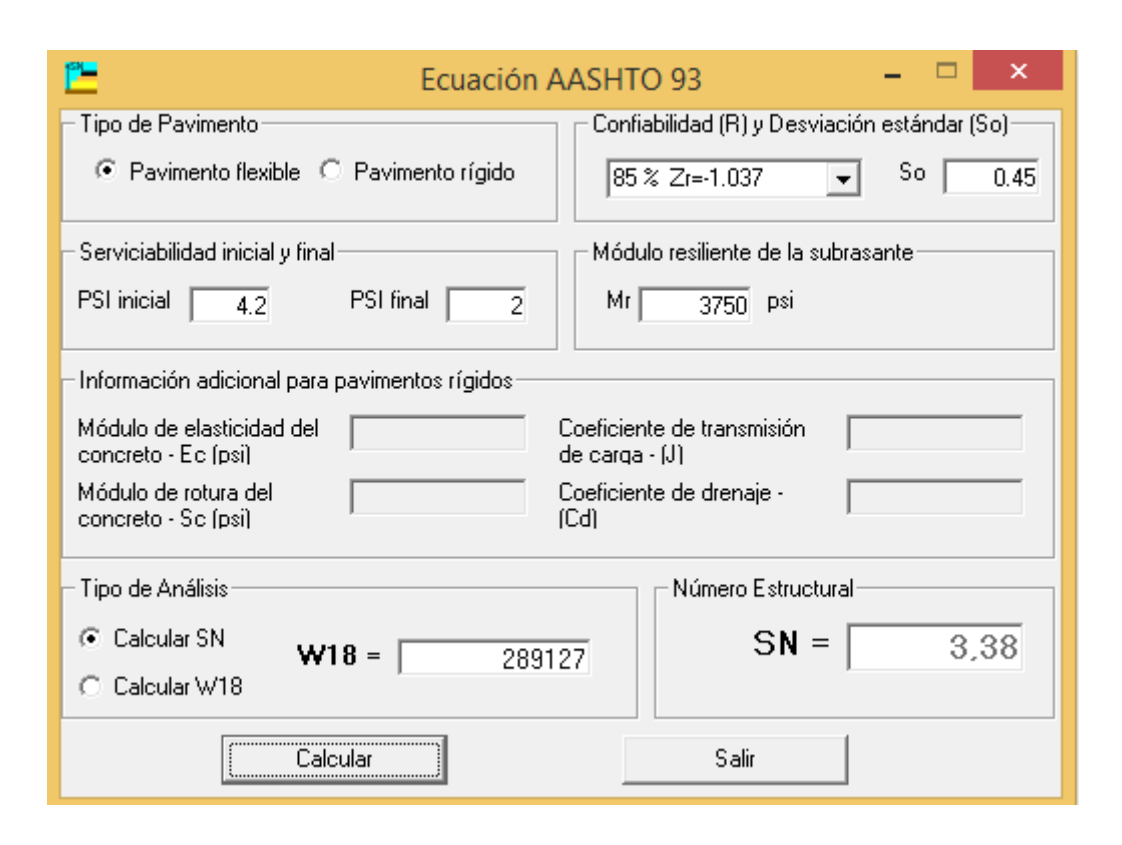


Figura 3. 6 Entrada de datos programa AASHTO93

Nota: Se obtuvo SN=3.38 diferente al SN= 3 iteramos hasta encontrar un valor similar. En la manera que funciona el programa es en resolver la ecuación siguiente.

$$Log \ w18 = Zr * So + 9.36 Log (SN + 1) - 0.20 + \left(\frac{\frac{Log (\Delta Psi)}{4.2 - 1.5}}{0.40 + \frac{1094}{(SN + 1)^{5.19}}}\right) + 2.32 Log Mr - 8.07$$

Recalculamos con un valor de SN=3.38, se interpola para sacar los LEFS de los diversos tipos de vehículos.

(Ecuación38)

Tabla 3.21 Calculo del factor de equivalencia de carga

| | | SN | SN | SN |
|----|-----|-------|---------|-------|
| | | 3 | 3,38 | 4 |
| TN | | LEFS | LEFS | LEFS |
| | 30 | 0,036 | 0,03486 | 0,033 |
| | 40 | 0,09 | 0,0881 | 0,085 |
| | 70 | 0,613 | 0,61262 | 0,612 |
| | 200 | 3,92 | 3,8858 | 3,83 |

EJE

| SIMPLE |
|--------|
| SIMPLE |
| SIMPLE |
| TANDEM |

Con los datos de los LEFS se sumó dependiendo del tipo de vehículo y se procedió a encontrar el factor camión.

Tabla 3. 22 Clasificación de los vehículos

| Vehículo | F.Camión |
|----------|----------|
| 2D | 0,12296 |
| 3A | 4,49842 |
| 2DA | 0,64748 |

Se volvió a calcular la cantidad de ESALS.

Tabla 3. 23 Obtención de los ESALS

| Vehículo | Cant | F. Creci | F.Camión | Esals | |
|----------------|------|----------|----------|--------|-------|
| 2D | 381 | 15,08 | 0,12296 | 257859 | |
| 3 ^a | 7 | 15,08 | 4,49842 | 173321 | |
| 2DA | 57 | 15,08 | 0,64748 | 203140 | |
| | | | | 634320 | TOTAL |

Luego se obtuvo el tráfico de diseño, como anteriormente.

Tabla 3. 24 Aplicación de los factores y distribución de carril

| 2Sentidos | | 50% |
|-------------|---------|--------|
| Cada carril | 80-100% | 90% |
| | | |
| TD | | 285444 |

Con los datos del nuevo tráfico de diseño, se recalculo para obtener el nuevo número estructural SN.



Figura 3. 7 Verificación del número estructural.

Nota: Obtenido el mismo SN=3.38, dejamos de iterar.

2) Se obtuvo el CBR para la subrasante y con la cantidad de ESALS se procedió a sacar los módulos de resilencia para las diferentes capas.

Tabla 3. 25 Materiales y porcentaje de CBR

| | %CBR |
|--------------|------|
| Base | 80 |
| Subbase | 30 |
| Mejoramiento | 20 |
| Subrasante | 2.5 |

Dependiendo de la cantidad de CBR se utilizó diversas fórmulas.

1)
$$Mr = 1500Cbr$$
 % $Cbr < 10\%$ (Ecuación39)

2)
$$Mr = 3000Cbr^{0.65}$$
 % $Cbr < 20\%$ (Ecuación40)

$$3)Mr = 4326LnCbr + 241$$
 %Cbr > 20% (Ecuación41).

Tabla 3. 26 Porcentaje de CBR y Modulo de resiliencia

| | %CBR | MR |
|--------------|------|-------|
| Base | 80 | 19200 |
| Subbase | 30 | 14900 |
| Mejoramiento | 20 | 13200 |
| Subrasante | 2.5 | 3750 |

3) Luego se evaluó los números estructurales necesarios por cada capa. Nos ayudamos del siguiente programa.

• Base.

| Ecuación . | AASHTO 93 - 🗆 🗙 |
|---|--|
| Tipo de Pavimento | Confiabilidad (R) y Desviación estándar (So) |
| Pavimento flexible | 85 % Zr=-1.037 ▼ So 0.45 |
| Serviciabilidad inicial y final | Módulo resiliente de la subrasante |
| PSI inicial 4.2 PSI final 2 | Mr 19200 psi |
| − Información adicional para pavimentos rígidos — | |
| Módulo de elasticidad del concreto - Ec (psi) | Coeficiente de transmisión de carga - (J) |
| Módulo de rotura del concreto - Sc (psi) | Coeficiente de drenaje - (Cd) |
| Tipo de Análisis | Número Estructural |
| © Calcular SN W18 = 285 | SN = 1,87 |
| C Calcular W18 | |
| Calcular | Salir |

Figura 3. 8 Numero estructural de la base.

• Subbase.

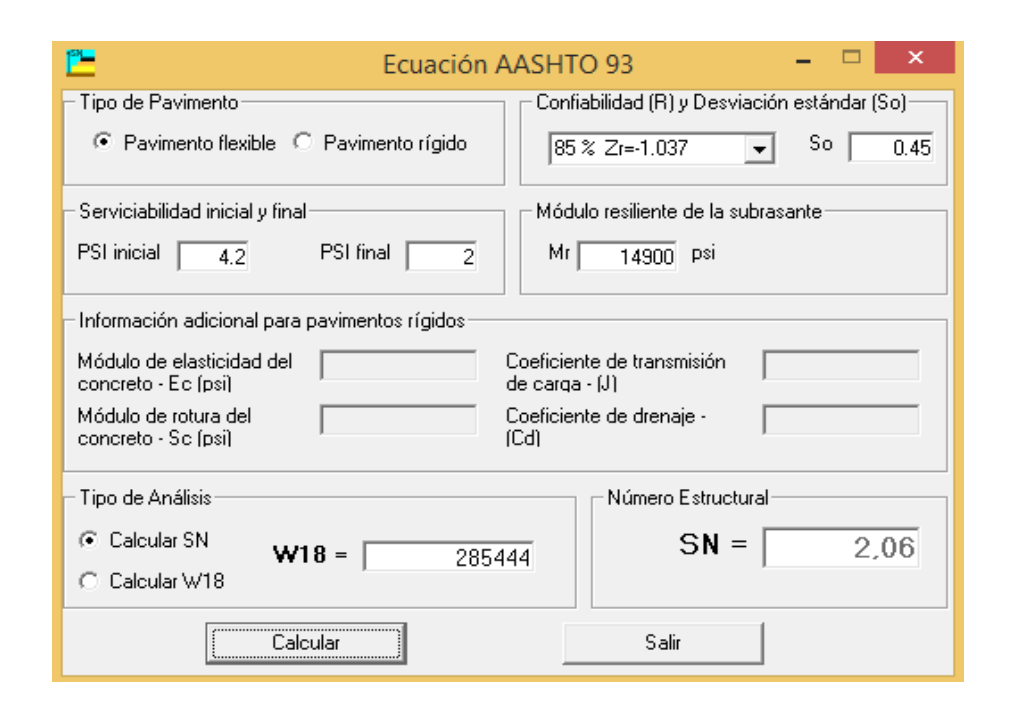


Figura 3. 9 Número estructural de la subbase.

• Subrasante.

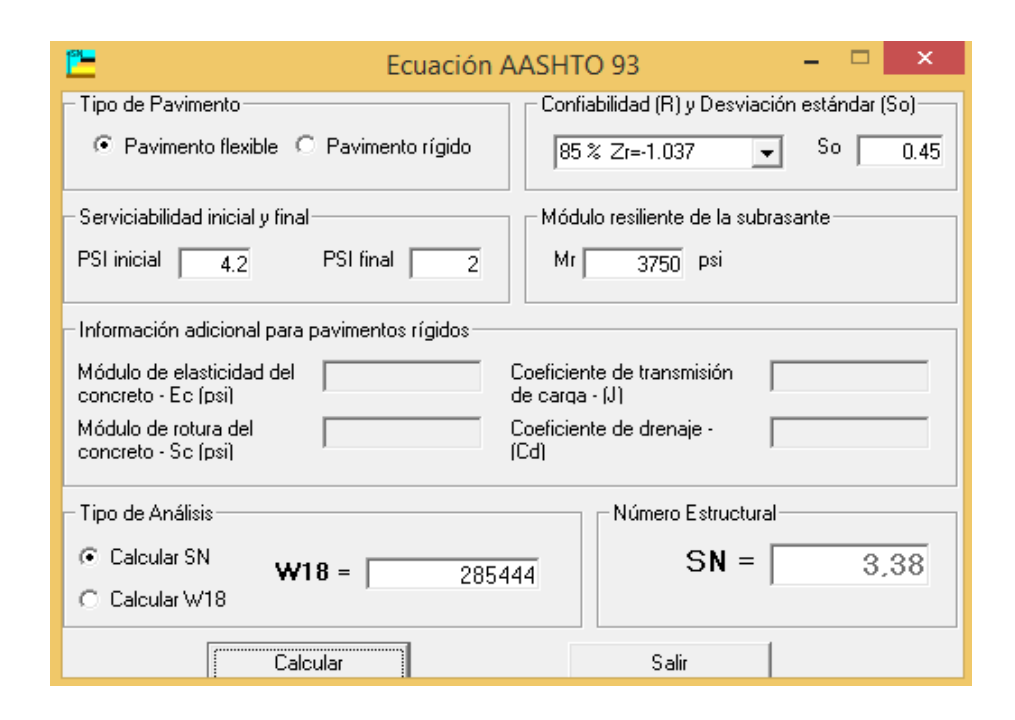


Figura 3. 10 Número estructural de la subrasante.

4) Una vez calculado los números estructurales, comenzamos a encontrar el espesor de cada capa.

Tabla 3. 27 Módulo de resiliencia de cada capa

| | Mr | SN |
|------------|-------|------|
| Base | 19200 | 1.87 |
| Subbase | 14900 | 2.06 |
| Subrasante | 3450 | 3.38 |

CARPETA

$$SN_{T1} = SN1 = 1.87$$
 $a * m * e = 1.68$ (Ecuación42) $0.385 * 1.2 * e = 1.68$ $e=4$ "

BASE

$$SN_{T2} = SN_{T1} + a_B * m_B * E_B$$
 (Ecuación43)

$$2.06 = 1.87 + 0.133 * 1.1 * E_B$$

$$E_B = 1.29$$
"

 $E_B = 4$ "Espesor mínimo.

SUBBASE

$$SN_{T3} = SN_{T2} + a_{SB} * m_{SB} * E_{SB}$$
 (Ecuación44)
 $3.38 = (1.87 + (0.133 * 1.1 * 4)) + 0.108 * 0.8 * E_{SB}$
 $E_{SB} = 10.7$ "
 $E_{SB} = 11$ ".

Comprobamos los números estructurales de cada capa, con el espesor obtenido para verificar si esta sumatoria nos da un valor mayor o igual al número estructural total de la estructura de pavimento.

Tabla 3. 28 Sumatoria de cada número estructural

| CAPA | A | M | e | SN |
|---------|-------|-----|----|--------|
| Carpeta | 0,385 | 1,2 | 4 | 1,848 |
| Base | 0,133 | 1,1 | 4 | 0,5852 |
| Subbase | 0,108 | 0,8 | 11 | 0,9504 |

| 3,3836 | >3.38 |
|--------|-------|
|--------|-------|

Nota: Como el SN nos salió similar al asumido anteriormente sacamos los espesores de cada capa definitivos.

Tabla 3. 29 Espesores de cada capa

| Capa | E(pulg) | E(cm) |
|---------|---------|-------|
| Carpeta | 4" | 10 |
| Base | 4" | 10 |
| Subbase | 11" | 28 |

CAPÍTULO 4

ESTUDIO HIDROLÓGICO

4.1 Drenaje superficial

4.1.1 Intensidad de lluvias máximas

Para determinar la intensidad de las lluvias hemos recurrido a la tabla adjunta en el anuario meteorológico (INAMHI, 2014).

| contract. | ENE | PEB. | MAR | ABR | MAY | JUN | 301 | AGO. | 600 | OCT. | 1000 | 100 | 100764 | Mázima er | 32 Heat | 100 |
|----------------|---------------|---------------|----------------|----------------|---------------|---------------|----------------|-------------|--------------|---------------|---------------|----------------|-----------------|--------------|------------------|-----------|
| conido | ENE. | PEB. | MAR | ABR | MAY. | JUN. | JUL | AGO. | SEP. | OCT. | NOV. | DIC. | ANUAL | Maxima er | Fecha | de dias |
| M0228 | 49.9 | 67.8 | 17.5 | 119.7 | 2.5 | 0.0 | 6.5 | 0.0 | 0.0 | 0.0 | 0.0 | 0.0 | 263.9 | | | |
| M0245 M0247 | 55.8 51.3 | 56.2 41.0 | 17.8 | 142.3 43.2 | 4.0 | 1.6 | 27.7 | 20.1 | 5.0 0.4 | 14.4 | 0.6 | 14.4 | 342.9 197.8 | 47.9 19.0 | 16-abr 13-jul | 100 70 |
| M0258 | 38.0 | 72.1 | 39.7 | 108.8 | 75.9 | 56.1 | 58.1 | 79.5 | 41.7 | 15.8 | 56.9 | 99.3 | 741.9 | 38.6 | 1-dio | 204 |
| M0269 | 85.4 | 64.4 | 21.6 | 22.1 | 9.6 | 7.4 | 19.1 | 0.2 | 30.9 | 3.8 | 3.8 | 13.2 | 281.5 | - | | |
| M0292 | 69.1 | 156.7 | 17.4 | 76.8 | 4.2 | 5.9 | 6.4 | 23.5 | 6.1 | 8.3 | 11.5 | 9.9 | 395.8 | | | ı |
| M0301 M0305 | 96.9 | 93.2 255.3 | 94.9 | 106.5 | 34.7 265.7 | 19.2 | 38.3 135.9 | 20.0 | 35.9 | 126.5 | 55.0 210.8 | 92.5 428.0 | 771.9 2158.4 | 32.3 70.6 | 24-eep 21-eev | 158 |
| M0306 M0308 | 74.8 | 172.9 | 157.1 | 215.1 | 93.9 | 38.1 99.2 | 136.9 | 57.3 | 34.6 | 157.8 | 137.3 | 180.7 | 1516.9 | 36.7 | 21-nov 29-jul | 253 |
| M0310 | 76.8 | 191.5 | 124.9 | 303.1 | 181.5 | 77.7 | 81.0 | 74.5 | 72.8 | 104.3 | 86.0 | 249.5 | 1623.6 | 39.7 | 20-abr | 213 |
| M0312 | 92.7 | 142.3 | 134.2 | 139.4 | 47.4 | 54.1 | 51.9 | 24.8 | 16.6 | 78.7 | 68.9 | 157.1 | 1008.1 | 35.7 | 13-dia | 199 |
| M0314 | 31.7 | 56.5 | 41.0 | 108.1 | 62.6 | 28.1 | 32.6 | 32.9 | 20.5 | 68.2 | 40.6 | 100.5 | 623.3 | 25.6 | 2-dic | 96 |
| M0315 | 39.7 | 22.5 | 69.3 | 129.3 | 78.0 | 38.2 | 68.9 | 30.7 | 49.2 | 66.2 | 68.7 | 73.7 | 732.4 | 30.6 | 24-eep | 105 |
| M0317 M0318 | 71.9 | 219.4 | 127.1 | 372.6 290.7 | 68.1 59.6 | 57.3 43.9 | 30.9 50.3 | 32.6 | 43.5 | 54.7 | 70.1 84.0 | 109.8 | 1256.0 | 100.3 | 25-ebr 26-feb | 167 |
| M0321 | 265.2 | 323.0 | 127.6 | 150.4 | 79.4 | 54.2 | 43.9 | 20.5 | 00.2 | 143.5 | 110.8 | 383.1 | 15/6.3 | 37.4 | 20-160 | 157 |
| M0324 | 92.7 | 88.2 | 163.0 | 206.3 | 210.9 | 122.0 | 278.9 | 127.5 | 85.7 | 86.9 | 187.8 | 184.9 | 1834.8 | 121.0 | 15-jul | 132 |
| M0325 | | 290.2 | 192.5 | 230.0 | 53.7 | 80.7 | 96.0 | 22.9 | 60.4 | 83.9 | 41.9 | 85.8 | | | ,_ | |
| M0326 | 342.2 | 347.3 | 245.4 | 426.1 | 108.9 | 81.5 | 99.7 | 28.5 | 68.1 | | 47.5 | 149.7 | | | | |
| M0327 | 408.2 | 380.9 | 226.4 | 475.4 | 61.5 | 27.4 | 86.9 | 5.5 | 9.6 | 163.6 | 43.2 | 142.8 | 2031.4 | 118.5 | 1-ebr | 194 |
| M0328 M0335 | 88.1 138.8 | 242.0 | 154.3 | 292.9 411.2 | 67.0 38.8 | 102.1 | 49.4 | 29.9 | 43.7 | 96.9 221.0 | 127.5 | 207.9 136.0 | 1501.7 | 53.0 | 1-jun | 207 |
| M0335 M0337 | 188.4 | 287.0 | 153.3 | 274.0 | 106.2 | 312.0 | 131.8 | 58.0 | 82.8 | 119.8 | 41.5 | 135.3 | 1891.0 | 47.2 | 24-eep | 195 |
| M0339 | 429.2 | 363.7 | 339.9 | 470.0 | 131.8 | 112.8 | 147.8 | 31.8 | 105.6 | 102.5 | 14.1 | 192.3 | 2441.5 | 60.2 | 20-feb | 241 |
| M0343 | 51.3 | 37.6 | 46.8 | 100.4 | 37.5 | 6.7 | 28.6 | 12.9 | 8.5 | 23.7 | 12.9 | | | | | |
| M0345 | 69.6 | 94.6 | 78.5 | 135.7 | 37.5 | 14.1 | 65.2 | 21.4 | 13.6 | 59.6 | 25.2 | 44.0 | 659.0 | 26.9 | 14-jul | 134 |
| M0348 | 66.1 542.5 | 78.2 | 108.5 | 225.0 | 43.1 | 24.8 | 61.9 | 34.7 | 31.5 60.1 | 73.9 | 47.5 | 73.4 | 868.6 | 36.2 | 5-mar | 171 |
| M0348 M0363 | 194.8 | 299.7 | 457.0 518.8 | 508.6 658.0 | 169.5 | 92.2 | 155.2 | 109.5 | 78.9 | 65.1 | 111.1 | 87.5 87.6 | 2462.2 | 105.5 | 16-mar | 215 |
| M0364 | 135.2 | 224.5 | 122.7 | 331.3 | 92.7 | 49.2 | 73.4 | 56.0 | 73.2 | 81.7 | 39.6 | 102.2 | 1381.7 | 33.0 | 13-feb | 251 |
| M0357 | 104.9 | 301.0 | 148.0 | | 57.4 | 30.0 | 98.5 | 68.8 | 143.9 | 77.3 | 80.8 | 162.0 | | | | |
| M0358 | 51.4 | 134.9 | 107.6 | 122.5 | 27.2 | 25.0 | 39.3 | 21.7 | 33.2 | 49.8 | 38.4 | 48.1 | 639.1 | 25.6 | 24-eep | 140 |
| M0369 | 75.7 | 101.7 | 198.4 | 182.2 | 89.3 | 60.0 | 94.9 | 40.0 | 73.5 | 100.3 | 123.9 | 119.5 | 1259.4 | 100.1 | 15-mar | 162 |
| M0361 M0362 | 109.9 | 200.3 | 135.6 | 326.0 | 49.4 | 24.4 | 72.6 | 22.0 | 101.0 | 41.1 87.1 | 15.3 | 64.1 127.0 | 1161.7 | 36.6 | 3-abr | 148 |
| M0363 | 130.3 | 177.8 | 94.1 | 246.9 | 197 | 35.8 | 56.4 | 27.9 | 14.6 | 53.7 | 17.3 | 131.4 | 1005.7 | 30.3 | 20-mar | 141 |
| M0364 | 221.5 | 246.0 | 165.3 | 290.7 | 63.6 | 30.0 | 70.7 | 63.3 | 55.4 | 163.6 | 175.7 | 214.7 | 1005.7 | 30.3 | 20-118 | |
| M0367 | 337.6 | 329.2 | 388.5 | 227.8 | 9.4 | | 26.9 | 1.3 | 12.3 | 3.2 | 11.0 | 101.8 | | | | ı |
| M0368 | 615.3 | 872.7 | 372.4 | 840.9 | 48.7 | 108.1 | 99.6 | 4.2 | 23.1 | 36.7 | 18.8 | 255.3 | 3295.8 | 225.3 | 19-abr | 244 |
| M0369 | 63.2 | 190.6 | 58.0 | 141.1 | 28.2 | 20.5 | 29.5 | 10.5 | 42.2 | 35.9 | 106.6 | 109.4 | 835.7 | 37.5 | 2-dic | 110 |
| M0370 M0371 | 470.5 53.6 | 45.8 | 409.9 | 721.5 171.8 | 20.8 | 69.8 34.6 | 104.1 | 1.5 25.9 | 27.5 | 27.9 | 50.2 96.5 | 209.4 | 2810.0 705.1 | 25.0 | Sebr | 179 |
| M0374 | 428.7 | 510.2 | 427.7 | 795.3 | 91.9 | 91.7 | 63.7 | 32 | 18.5 | 35.2 | 10.3 | 111.8 | 2588.2 | 150.0 | 5-feb | 182 |
| M0375 | 85.2 | 76.5 | 41.2 | 13.2 | 3.6 | 21.9 | 22.8 | 2.2 | 14.0 | 4.8 | 64.5 | 13.9 | 363.8 | 25.0 | 26-mar | 80 |
| M0376 | 37.8 | 71.6 | 43.0 | 142.6 | 98.6 | 68.9 | 63.4 | 56.9 | | 29.7 | 80.8 | 116.0 | | | | |
| M0377 | 44.2 | 105.5 | 62.6 | 141.3 | 68.7 | 70.1 | 58.0 | 47.7 | 44.7 | 12.0 | 48.6 | 53.0 | 756.4 | | | |
| M0378 M0380 | 186.1 | 86.6 | 136.9 | 224.3 | 280.0 | 323.2 85.9 | 380.1 109.6 | 247.3 | 256.1 | 19.6 | 113.5 | 227.9 58.1 | 2550.3 790.0 | 26.2 | 24-eep | 317 |
| M0380 M0383 | 49.3 311.4 | 46.6 | 23.2 | 45.1 33.8 | 2.5 | 5.3 | 109.6 | 2.0 | 16.5 | 7.1 | 11.3 | 92.9 | 790.0 557.5 | 26.2 | 24-eep | 153 |
| M0385 | 191.1 | 221.0 | 113.4 | 339.0 | 3.0 | 16.0 | 30.5 | 0.0 | 91.0 | 107.0 | 31.0 | 107.0 | 1250.0 | 27.0 | 5-abr | 132 |
| M0388 | 286.1 | 332.9 | 232.9 | 468.3 | 23.4 | 81.3 | 130.9 | 24.5 | 31.1 | 37.3 | 48.8 | 197.9 | 1895.4 | 77.9 | 13-jul | 227 |
| M0390 | | | | | | 39.5 | 61.5 | 43.5 | 52.2 | 49.4 | 97.9 | 120.8 | | | | |
| M0391 | 159.9 | 248.5 | 70.4 | 254.5 | 21.9 | 38.0 | 28.5 | 5.0 | 3.2 | 7.2 | 25.1 | 94.5 | 956.7 | 38.2 | 23-feb | 158 |
| M0392 M0393 | 41.4 | 141.7 | 30.5 | 153.3 | 25 | 8.0 | 20.8 | 10.7 | 2.8 52.7 | 30.5 | 9.0 | 47.7 | 456.6 703.8 | 34.7 | 2-abr | 97 |
| M0395 | 50.8 | 116.1 | 80.9 | 288.6 | 59.5 | 33.1 | 104.3 | 19.3 | 27.5 | 94.7 | 91.1 | 54.5 | 1020.4 | 54.2 | 24-eep 25-ebr | 139 |
| M0396 | 105.3 | 185.3 | 86.6 | 252.8 | 159.1 | 219.2 | 283.7 | 85.0 | 144.1 | 77.2 | 532.7 | 201.3 | 2332.3 | 34.2 | 20-40 | |
| M0397 | 177.1 | 210.2 | 133.2 | 249.6 | 50.0 | 8.7 | 25.2 | 12.7 | 31.3 | 39.9 | 25.7 | 88.4 | 1052.0 | 38.0 | 7-feb | 188 |
| M0399 | 50.3 | 108.4 | 79.3 | 194.9 | 16.0 | 32.3 | 23.4 | 10.1 | 17.9 | 29.7 | 26.1 | 71.3 | 659.7 | | | |
| M0402 | 183.1 | 231.3 | 48.8 | 210.3 | 14.2 | 31.7 | 12.7 | 13.5 | 21.0 | 16.2 | 26.9 | 121.5 | 931.2 | | | |
| M0403 M0404 | 61.9 127.2 | 124.8 | 65.0 125.9 | 115.2 | 11.1 | 19.7 | 7.6 | 15.4 | 11.6 | 5.1 43.1 | 11.4 | 57.8 | 491.2 1178.9 | 30.2 | 31-mar 7-feb | 105 |
| M0406 | 40.1 | 104.6 | 47.0 | 132.6 | 13.7 | 19.1 | 11.5 | 0.0 | 4.5 | 48 | 20.4 | 50.4 | 448.7 | 41.6 | 7-teb | 1962 |
| M0407 | 45.2 | 138.2 | 52.8 | 186.0 | 95.2 | 34.4 | 75.7 | 49.2 | 27.0 | 41.9 | 90.8 | 89.0 | 925.4 | 36.2 | 6-feb | 192 |
| M0408 | 42.1 | 83.1 | 41.3 | 131.3 | 33.7 | 14.1 | 7.9 | 6.7 | 33.6 | 41.7 | 96.1 | 59.7 | 591.3 | 32.7 | 7-feb | 76 |
| M0409 | 78.0 | 131.2 | 43.6 | 234.5 | 52.7 | 19.4 | 87.6 | 32.9 | 45.6 | 42.2 | 85.4 | 94.9 | 948.0 | | | |
| M0410 | 69.5 | 79.3 | 51.3 | 164.0 | 201.7 | 133.1 | 240.1 | 119.5 | 114.0 | 46.4 | 116.5 | 153.4 | 1488.8 | 30.0 | 19-jul | 170 |
| M0411 M0412 | 45.0 308.0 | 126.2 | 80.5 | 132.7 | 78.8 | 102.5 | 72.8 | 44.5 | 59.8 | 33.7 | 54.9 37.3 | 72.3 | 903.7 | 41.3 | 20-mar | 178 |
| M0412 M0414 | 53.7 | 193.4 62.4 | 49.9 | 174.9 | 80.7 | 76.2 | 111.5 | 67.6 | 87.7 | 34.3 | 95.6 | 62.3 | 956.8 | 12.8 | 3-die | 227 |
| M0417 | 62.3 | 145.9 | 24.0 | 205.2 | 87.8 | 10.2 | | · | W.7 | - | 96.7 | 187.4 | 200.0 | 12.0 | J-00 | |
| M0418 | 22.2 | 52.5 | 80.5 | 104.7 | 48.7 | 53.9 | 38.8 | 62.7 | 86.1 | 35.0 | 49.9 | 79.0 | 714.0 | 12.6 | 20-die | 160 |
| M0419 | 313.6 | 120.5 | 117.7 | 210.8 | 2.5 | 78.5 | 30.0 | 44.4 | 0.0 | 39.4 | 73.8 | 117.8 | 1149.0 | | | |
| MOVED | 63.8 | 203.1 | 124.4 | 166.1 | 108.0 | 10.7 | 17.9 | 5.0 | 45.0 | 25.5 | 132.0 | 108.7 | 1005.2 | 60.8 | 10-mar | 1.48 |

Figura 4. 1 Anuario meteorológico 2011

Fuente: (INAMHI, 2014).

De la tabla del manual de la NEVI-12 (MTOP, 2013) escogemos la tabla con un periodo de retorno de 100 años en la estación Saraguro M142 a la cual le corresponde un Id=4.

Se estima un periodo de retorno de 100 años para caminos vecinales como dice en la norma MOP-2003,pg 295. (MTOP, 2003).

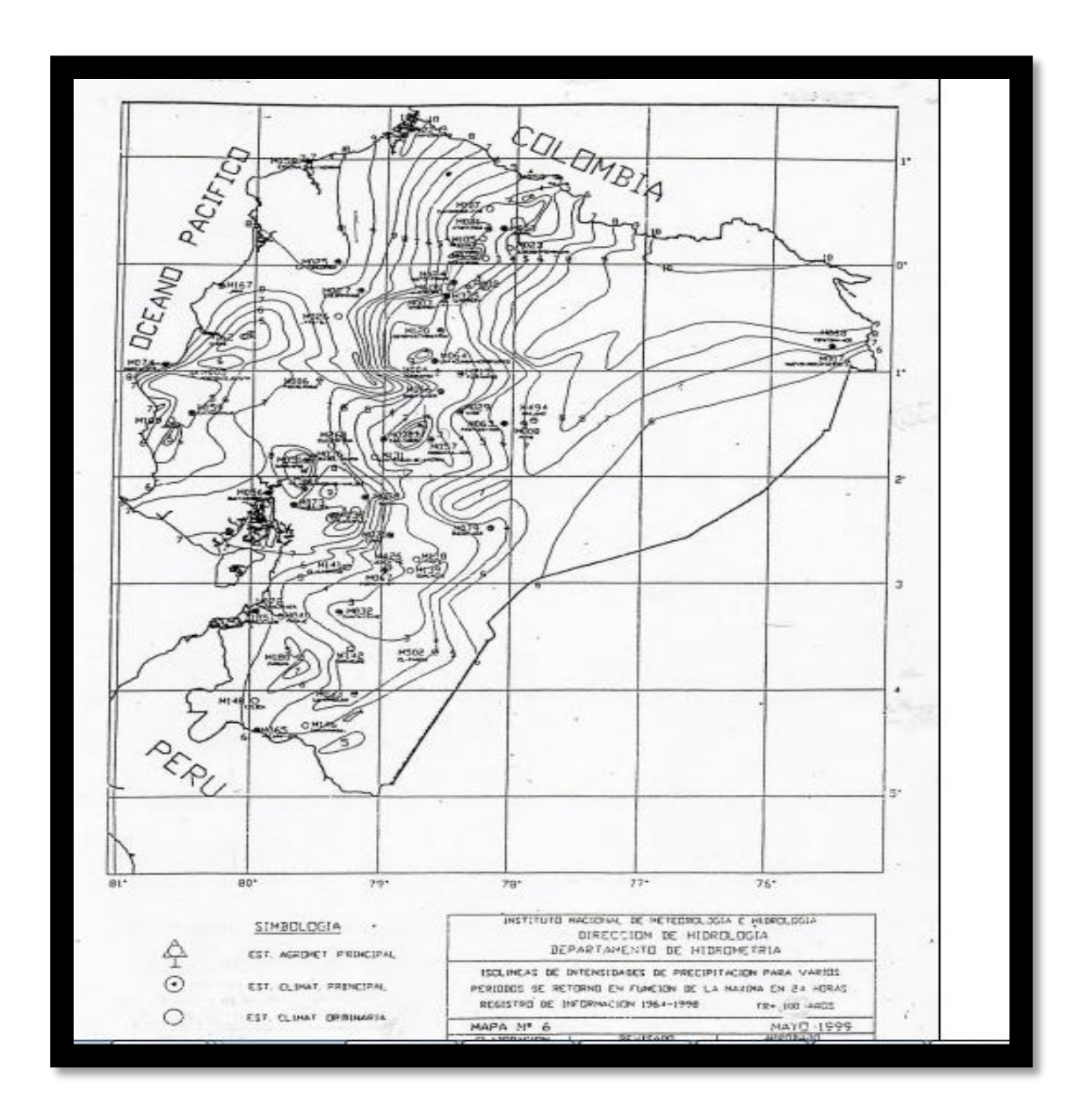


Figura 4. 2 Curvas de intensidad de lluvia

Fuente: (MTOP, 2013).

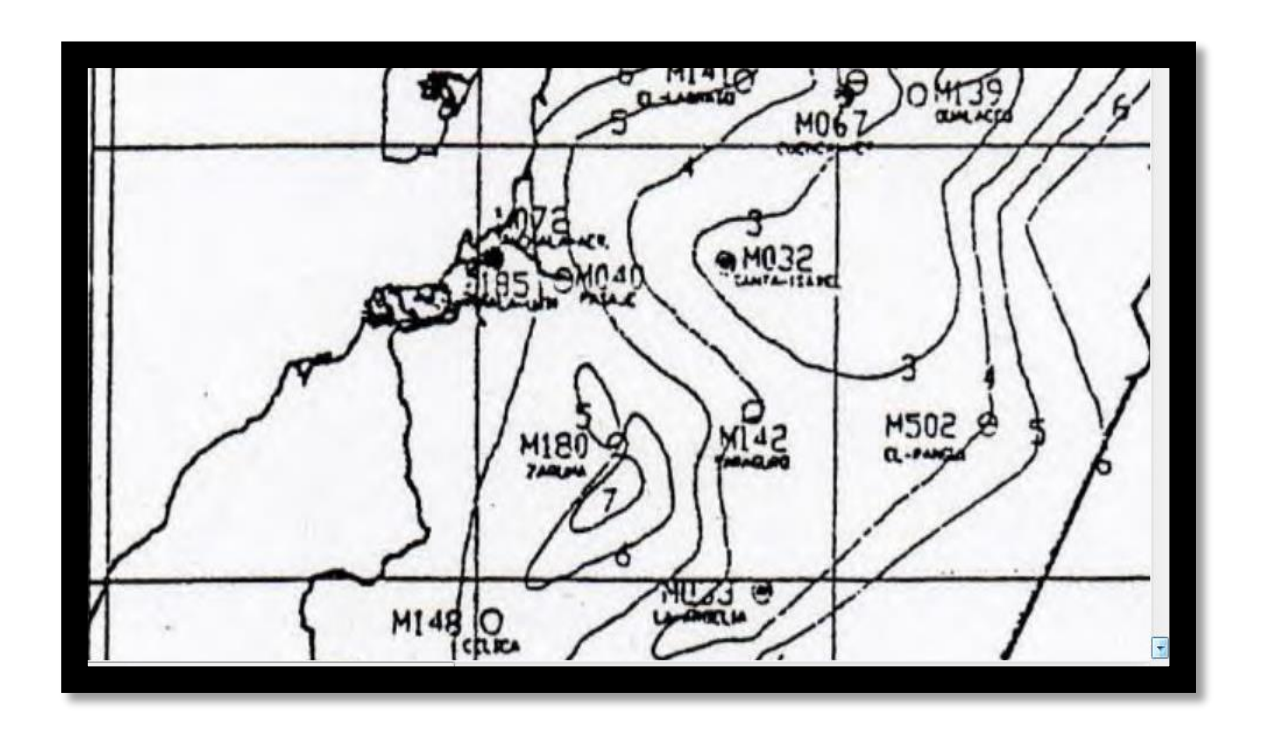


Figura 4. 3 Curvas de intensidad de lluvia Estación M142

Se escogió la estación M142 Saraguro con la cercanía a la zona donde está el proyecto y los datos estadísticos se tomaron de la intensidad M420 con una precipitación anual de 1005.2 mm datos extraídos del anuario meteorológico del INAMHI (INAMHI, 2014).

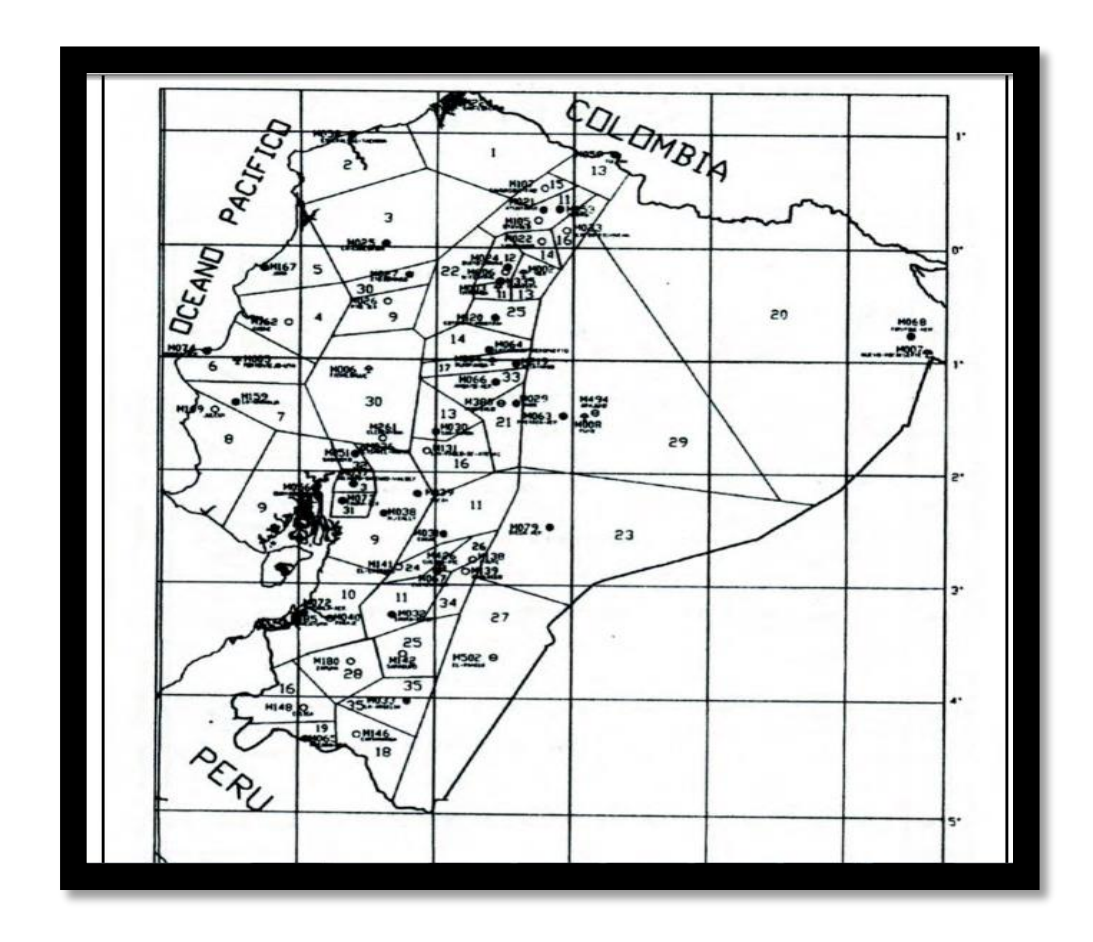


Figura 4. 4 Zonificación de intensidad de lluvias

Como nuestra estación meteorológica está en la zona 25, la duración de acuerdo a datos tomados de la población está entre 5 y 60 min por tanto empleamos la siguiente formula:

| | Ecua | ciones para Zonas 19 a 35 |
|------|---------------------------------------|--|
| ECU | | DE INTENSIDADES NTATIVAS DE LAS ZONAS |
| ZONA | DURACION | ECUACION |
| 19 | 5 min < 115 min 115 min < 1440 min | $I_{TR} = 115.98 \text{ t}^{-0.4844} \text{ Id}_{TR}$ $I_{TR} = 1223.8 \text{ t}^{-0.9751} \text{ Id}_{TR}$ |
| 20 | 5 min < 40 min 40 min < 1440 min | I _{TR} = 53.316 t^-0.3021 Id _{TR} I _{TR} = 308.38 t^-0.7782 Id _{TR} |
| 21 | 5 min < 23 min 23 min < 1440 min | $1_{TR} = 28.784 \text{ t}^{-0.4507} \text{ Id}_{TR}$ $1_{TR} = 30.993 \text{ t}^{-0.472} \text{ Id}_{TR}$ |
| 22 | 5 min < 67 min 67 min < 1440 min | $I_{TR} = 48.772 t^{-0.3533} Id_{TR}$ $I_{TR} = 266.64 t^{-0.7687} Id_{TR}$ |
| 23 | 5 min < 23 min 23 min < 1440 min | $I_{TR} = 54.246 \text{ t}^{2} - 0.4596 \text{ Id}_{TR}$ $I_{TR} = 89.858 \text{ t}^{2} - 0.6234 \text{ Id}_{TR}$ |
| 24 | 5 min < 41 min 41 min < 1440 min | $I_{TR} = 177.26 t - 0.5938 Id_{TR}$ $I_{TR} = 446.46 t - 0.843 Id_{TR}$ |
| 25 | 5 min < 60 min 60 min < 1440 min | $I_{TR} = 97.389 \text{ t}^{-0.6117} \text{ Id}_{TR}$ $I_{TR} = 125.73 \text{ t}^{-0.6643} \text{ Id}_{TR}$ |
| 26 | 5 min < 120 min 120 min < 1440 min | $I_{TR} = 163.15$ t $^{-}$ - 0.5018 Id_{TR} $I_{TR} = 2477.3$ t $^{-}$ - 1.077 Id_{TR} |
| 27 | 5 min < 46 min 46 min < 1440 min | $I_{TR} = 76.133 \text{ t}^{-0.3477} \text{ Id}_{TR}$ $I_{TR} = 539 \text{ t}^{-0.8634} \text{ Id}_{TR}$ |

Figura 4. 5 Ecuaciones representativas de la zona

$$I_{TR} = 97.389. t^{-0.6117}$$
 (Ecuación45)

 $I_{TR} = Intensidad de lluvia máxima con duracion t$

t = duración de la lluvia en minutos

 $Id_{TR} = Intensidad diaria$

$$Id_{TR} = Pd/24, mm/h$$
 (Ecuación46)

Pd = Precipitación diaria

Pd = Precipitación maxima en 24 horas, mm .

Del mapa de zonificación obtuvimos un valor de Id de 4 y para considerar el valor de t lo consideramos igual al tiempo de concentración que será el más crítico.

4.1.2 Caudal máximo para el diseño de estructuras de obra menor

4.1.2.1 Coeficiente de Escorrentía

Este coeficiente relaciona la cantidad de agua que se precipita y la que se escurre superficialmente dependiendo de factores como la permeabilidad del suelo, morfología de la cuenca, pendientes longitudinales y cobertura vegetal para este coeficiente también la normativa vial del MOP-2003 (MTOP, 2003) presenta las siguientes tablas.

Tabla 4. 1 Coeficiente de escorrentía

| | COEFICIE | NTE DE ESCO | RRENTIA C | : | | |
|-------------------|---------------|-------------|-----------|--------------|-------|-------------|
| | | | PENDIE | ENTE DEL TER | RRENO | |
| COBERTURA VEGETAL | TIPO SUELO | PRONUNCIADA | ALTA | MEDIA | SUAVE | DESPECIABLE |
| | | , | 50% 20 | % 5 | % 1% | • |
| | IMPERMEABLE | 0.80 | 0.75 | 0.70 | 0.65 | 0.60 |
| SIN VEGETACION | SEMIPERMEABLE | 0.70 | 0.65 | 0.60 | 0.55 | 0.50 |
| | PERMEABLE | 0.50 | 0.45 | 0.40 | 0.35 | 0.30 |
| CULTIVOS | IMPERMEABLE | 0.70 | 0.65 | 0.60 | 0.55 | 0.50 |
| | SEMIPERMEABLE | 0.60 | 0.55 | 0.50 | 0.45 | 0.40 |
| | PERMEABLE | 0.40 | 0.35 | 0.30 | 0.25 | 0.20 |
| PASTOS VEGETACION | IMPERMEABLE | 0.65 | 0.60 | 0.55 | 0.50 | 0.45 |
| LIGERA | SEMIPERMEABLE | 0.55 | 0.50 | 0.45 | 0.40 | 0.35 |
| | PERMEABLE | 0.35 | 0.30 | 0.25 | 0.20 | 0.15 |
| | IMPERMEABLE | 0.60 | 0.55 | 0.50 | 0.45 | 0.40 |
| HIERBA, GRAMA | SEMIPERMEABLE | 0.50 | 0.45 | 0.40 | 0.35 | 0.30 |
| | PERMEABLE | 0.30 | 0.25 | 0.20 | 0.15 | 0.10 |
| BOSQUES DENSA | IMPERMEABLE | 0.55 | 0.50 | 0.45 | 0.40 | 0.35 |
| VEGETACION | SEMIPERMEABLE | 0.45 | 0.40 | 0.35 | 0.30 | |
| | PERMEABLE | 0.25 | 0.20 | 0.15 | 0.10 | 0.05 |

Fuente: (MTOP, 2003)

4.1.2.2 Tiempo de concentración

Según la normativa vial MOP-2003 (MTOP, 2003), el tiempo de duración de duración de la lluvia se puede tomar igual al tiempo de concentración debido a la carencia de información, para determinar el tiempo de concentración se recomienda la fórmula de Rowe mostrada a continuación.

$$tc = 0.0195(\frac{L^3}{H})^{0.385}$$
 (Ecuación47).

Dónde:

tc= Tiempo de concentración en mm

L= Longitud del cauce principal, en m

H= El desnivel entre el extremo de la cuenca y el punto de descarga en m

4.1.2.3 Método empleado para la determinación del caudal

El método empleado para cuencas pequeñas de área menor a 400 Ha, es el Método Racional el mismo que relaciona datos de la precipitación pluvial, topografía, tipo de suelo y área de la cuenca, el mismo método es especificado por la normativa vial del MOP-2003 (MTOP, 2003).

$$Q = \frac{(c)(I)(A)}{360}$$
 (Ecuación48).

Donde:

Q= Caudal máxima probable en m3/seg

I= Intensidad de la precipitación en mm/h, para una duración igual al tiempo de concentración

C= Coeficiente de escorrentía

A= Área de la cuenca en Ha

4.2 Alcantarillas

4.2.1 Sección y tipo de alcantarillas

El tipo de alcantarillas a usar serán las circulares de metal corrugado, evaluaremos este tipo debido a que en el presente proyecto existen alcantarillas de este tipo, además por su fácil montaje y el bajo costo que representan.

4.2.2 Carga permisible de entrada (HEP)

La carga permisible de entrada (HEP) se toma para condiciones de precaución tomando en cuenta que no tiene que sobrepasar la corona de la carretera según lo dispuesto por la normativa vial MOP-2003 (MTOP, 2003), en la cual establece ciertos criterios a tomar en cuenta para definir la altura de remanso (HEP), primero se debe dejar un borde libre mínimo de 1m medido desde la rasante vial, segundo no debe ser mayor a 1.2 veces la altura del ducto.

4.2.3 Velocidades máximas y mínimas en las alcantarillas

La velocidad mínima y máxima de las alcantarillas se puede tomar de acuerdo al material, como se muestra en la tabla IX-2 tomando de la norma vial MOP-2003 (MTOP, 2003).Por lo tanto tendríamos una mínima de 0.4 m/s para arenas finas y limos y 7.5 m/s para rocas sanas y hormigón. Para nuestro caso será de 0.5 m/s de acuerdo al material de nuestro terreno.

Tabla 4. 2 Velocidad máxima erosiva en cunetas

| MATERIAL | VELOCIDAD (m/seg) |
|------------------------|-------------------|
| Arenas finas y limos | 0,40-0,60 |
| Arcilla arenosa | 0,50-0,75 |
| Arcilla | 0,75-1,00 |
| Arcilla firme | 1,00-1,50 |
| Grava limosa | 1,00-1,50 |
| Grava fina | 1,50-2,00 |
| Pizarras suaves | 1,50-2,00 |
| Grava gruesa | 2,00-3,50 |
| Zampeados | 3,00-4,50 |
| Rocas sanas y hormigón | 4,50-7,50 |

Fuente: (MTOP, 2003).

4.2.4 Diseño de alcantarilla circular

4.2.4.1 Coeficiente de rugosidad(n)

El coeficiente de rugosidad es un factor determinante de acuerdo al material que utilizamos para el cual tenemos la siguiente tabla, de la cual podemos obtener el coeficiente n.

Tabla 4. 3 Coeficiente de rugosidad

| DESCRIPCION | "n" |
|--|------------|
| TUBOS DE HORMIGON | 0.012 |
| Tubos de metal corrugado o tubos en arco: | |
| a) Simple o revestido | 0.024 |
| b) Solera pavimentada | 0.019 |
| Tubo de arcilla vitrificada | 0.012 |
| Tubo de hierro fundido | 0.013 |
| Alcantarilla de ladrillo | 0.015 |
| Pavimento asfáltico | 0.015 |
| Pavimento de hormigón | 0.014 |
| Parterre de césped | 0.05 |
| Tierra | 0.02 |
| Grava | 0.02 |
| Roca | 0.035 |
| Areas cultivadas | 0.03-0.05 |
| Matorrales espesos | 0.07-0.14 |
| Bosques espesos-poca maleza | 0.10-0.15 |
| Cursos de agua | |
| a) Algo de hierba y maleza-poco o nada de matorrales | 0.03-0.035 |
| b) Maleza densa | 0.035-0.05 |
| c) Algo de maleza-matorrales espesos a los costados | 0.05-0.07 |

Fuente: (MTOP, 2003).

Para el caso del diseño de alcantarillas circulares utilizaremos el método de Manning como se estipula en la norma vial MOP-2003 (MTOP, 2003), que relaciona tanto la pendiente y la rugosidad del material. De lo cual tenemos la siguiente ecuación.

$$Q = \frac{A(R)^{2/3}(So)^{1/2}}{n}$$
 (Ecuación49).

Q= Caudal máximo probable

Peña Cabrera, Cabrera Guambaña 104

R= Radio Hidráulico en m

n= Coeficiente de rugosidad

So= Pendiente de la planicie en m/m.

Luego mediante el uso de la tabla de Thormann-Franke que relaciona el caudal a sección llena (Q),y el real Q" mediante Q"/Q, de esta manera ingresamos en la tabla con el diámetro impuesto (D) y podemos hallar la altura de tirante de agua (y), también con el uso de la misma metodología y la relación de la velocidad a sección llena(V) y el de la velocidad dentro de la alcantarilla (V").

4.3 Drenaje subterráneo

El drenaje subterráneo es de vital importancia para contrarrestar el exceso de agua tanto en la plataforma y taludes de la carretera, a más la manual de la normativa vial NEVI-12- (MTOP, 2013), manifiesta que la colocación del drenaje subterráneo se lo debe hacer luego de una evaluación en la época invernal.

4.3.1 Sub-drenes

Los sub-drenes según recomendación de la norma vial NEVI-12-MTOP (MTOP, 2013), consisten en zanjas rectangulares rellenas con material granular permeable rodeado de un filtro de tela geotextil y en caso de que el caudal lo amerite se debe colocar una tubería en el fondo la cual puede ser perforada, ranurada o con juntas abiertas con un diámetro mínimo de 150mm ò 200mm, según se vea la necesidad.

Los sub-drenes son usados longitudinalmente a los pies de los taludes de corte para evitar infiltraciones hacia la vía, longitudinalmente en un terraplén, longitudinalmente bajo la sub-base de la carretera, transversalmente en las transiciones de corte a terraplén para sanear la sub-base, formando parte de un sistema de drenes transversales y longitudinales para sanear la faja del camino.

A continuación tenemos ciertas condiciones de diseño respecto a lo exige el manual NEVI-12-MTOP (MTOP, 2013).

4.3.1.1 Calculo de caudal en los sub-drenes

Para el cálculo del caudal se tomará una proporción entre el 60% y el 80% de la precipitación de diseño.

4.3.1.2 Profundidad y espaciamiento

Para la profundidad dependerá de la permeabilidad del suelo, profundidad del nivel freático, conductividad hidráulica para lo cual en siguiente tabla se estiman el espaciamiento necesario relacionando los aspectos antes mencionados.

Tabla 4. 4 Espaciamiento de Subdrenes

| Tipo Suelo (USCS) | Comp | osición del | Suelo | Espaciamiento (m) para Profundidades indicadas (m) | | | |
|----------------------|---------|-------------|-----------|---|-------|-------|--------|
| | % Arena | % Limo | % Arcilla | 1,00 | 1,25 | 1,50 | 1,75 |
| SP, SW | 80-100 | 0-20 | 0-20 | 35-45 | 45-60 | - | - |
| SM | 50-80 | 0-50 | 0-20 | 15-30 | 30-45 | - | |
| ML | 30-50 | 30-50 | 0-20 | 9-18 | 12-24 | 15-30 | 18-36 |
| ML-MH, CL | 20-50 | 20-50 | 20-30 | 6-12 | 8-15 | 9-18 | 12-24 |
| SM-SC, SC | 50-70 | 0-20 | 30-50 | 4-9 | 6-12 | 8-15 | 9-18 |
| MH | 0-20 | 50-70 | 30-50 | 3-8 | 4-9 | 6-12 | 8-15 |
| CL-CH, CH | 0-50 | 0-50 | 30-100 | máx.4 | máx.6 | máx.8 | máx.12 |

Fuente: (MTOP, 2013).

4.3.1.3 Materiales y recomendaciones

Los materiales necesarios son el material granular permeable, filtros de geotextil, geocompuestos, arena limpia o material arcilloso, tuberías de plástico rígido o corrugado, tuberías metálicas o corrugadas, tubería de hormigón comprimida, debiendo ser perforadas, ranuradas y porosas.

En el caso de las tuberías serán de diámetro de 150mm para longitudes menores o iguales a 150m, el diámetro mínimo de 200 mm para longitudes mayores a 150m, y en el cual se tenga sub-drenes tanto a nivel longitudinal o transversal (espina de pescado) el diámetro mínimo será de 50mm.

Los sub-drenes trabajan a presión por lo tanto, las entregas no deberán ser mayores que 300m y la gradiente recomendada para la tubería es de 0.005con ciertas objeciones como para sub-drenes laterales y 0,0025 para los colectores.

4.4 Cunetas

4.4.1 Diseño de cunetas

4.4.1.1 Cunetas laterales

Las cunetas laterales en nuestro caso consideraremos de flujo uniforme para las mismas, la norma NEVI-12-MTOP (MTOP, 2013) establece las siguientes condiciones y formulación que se debe usar.

Las condiciones contemplan que tanto la profundidad, gasto y velocidad son constantes en cada sección del canal, otro aspecto es que las líneas de energía, eje hidráulico y de fondo son iguales.

Se utilizará la ecuación de Manning para su dimensionamiento.

$$V = \frac{1}{n} \cdot R^{\frac{2}{3}} \cdot i^{1/2}$$
 (Ecuación50)

$$Q = V.A$$
 (Ecuación51)

Donde:

Q= gasto en m3/s

V= Velocidad media en m/s

i= Gradiente de fondo, m/m

n= Coeficiente de rugosidad, adimensional

A= Área de sección de escurrimiento, m2

R= Radio hidráulico, m.

Para elegir el valor del coeficiente rugosidad tenemos las siguientes tablas en las cuales podemos basarnos.

Tabla 4. 5 Valores del coeficiente de rugosidad o de Manning

Valores del coeficiente de rugosidad o de Manning en canales TIPO DE CANAL MATRICO DE SUPERFICIE LIBRE MINIMO | MEDIO | MAXIMO 0,009 0,010 0,013 0,010 0,011 0,012 0,013 0,017 0,021 0,010 0,012 0,016 0,013 0,014 0,014 0,016 0,019 0,024 0,013 0,014 0,017 0,014 0,016 0,015 0,017 0,021 0,030 e) Metal Corrug 0,009 0,010 0,011 0,013 0,011 0,013 0,010 0,013 0,013 0,015 0,013 0,014 0,008 0,009 0,010 0,011 0,010 0,011 0,011 0,012 0,014 0,013 0,014 0,017 0,012 0,017 0,013 0,014 0,015 0,016 0,014 0,016 0,020 0,014 0,020 0,017 0,017 0,017 0,018 0,012 0,012 0,013 0,010 0,015 0,011 0,011 0,013 0,014 ciada con tratam iberías comunes ibo de alcantarilla ibo con cámaras f) Arcilla 0,011 0,013 0,015 0,012 0,015 0,017 0,016 0,020 0,018 0,025 0,030 0.011 0.014 0,012 0,021 0,010 0,011 0,013 0,025 0,011 0,013 0,017 0,030 0,013 0,015 0,010 0,012 0,014 0,013 0,015 0,014 0,015 0,018 0,017 0.011

(continuación)

| d) Hormigón | Platachado | 0,011 | 0,013 | 0,015 |
|--|---|-------|-------|---------|
| | Alisado con regla | 0,013 | 0,015 | 0,016 |
| | Alisado con ripio a la vista en el fondo | 0.015 | 0.017 | 0.020 |
| | Sin alisar | 0.014 | 0.017 | 0.020 |
| | Gunita (hormigón proyectado), sección regular | 0.016 | 0.019 | 0,023 |
| | Idem, sección ondulada | 0.018 | 0.022 | 0,025 |
| | Garita sobre una roca bien excavada | | | 0,025 |
| | | 0,017 | 0,020 | |
| | Garita sobre una roca excavada en forma irregular | 0,022 | 0,027 | 100.000 |
| e) Fondo de hormigón alisado con lados de; | Piedra acomodada en mortero | 0,015 | 0,017 | 0,020 |
| | Piedra distribuida al azar en mortero | 0.017 | 0.020 | 0.024 |
| | Albañilería de piedra en bruto unida con | 0.016 | 0,020 | 0,024 |
| | cemento, enlucida | | | 0.000 |
| | Albañilería de piedra en bruto unida con cemento | 0,020 | 0,025 | 0,030 |
| | Empedrado o enrocado (rip rap) | 0,020 | 0,030 | 0,035 |
| f) Fondo de grava con lados de: | Hormigón (con moldaje) | 0,017 | 0,020 | 0,025 |
| | Piedra distribuida al azar en mortero | 0.020 | 0.023 | 0.026 |
| | Empedrado o rip rap | 0.023 | 0.033 | 0.036 |
| g) Ladrillo | Terminación tipo barnizada o vidriada | 0,011 | 0,013 | 0,015 |
| g) cadmio | En mortero de cemento | 0,012 | 0,015 | 0.018 |
| h) Albadilada | | | | |
| h) Albañilería | Empedrado cementado | 0,017 | 0,025 | 0,030 |
| | Empedrado libre | 0,023 | 0,032 | 0,035 |
| | Piedra conteada | 0,013 | 0,015 | 0,017 |
| i) Asfalto | Liso | 0,013 | 0,013 | A COTTO |
| | Rugoso | 0,016 | 0,016 | |
| j) Cubierto con Vegetación | J. 37 | 0,030 | . 2 | 0,500 |
| CANALES EXCAVADOS Y UNIFORM | MES | | | |
| a) Tierra, Rectos y Uniformes | Limpio, recién terminado | 0,016 | 0,018 | 0,020 |
| | Limpio en uso | 0.018 | 0.022 | 0.025 |
| | Con grava, sección uniforme, limpio | 0,022 | 0.025 | 0.030 |
| | Con pasto corto, poca maleza | 0,022 | 0,027 | 0.033 |
| b) Tierra, con curvas y sin mantención | | 0,022 | 0,025 | 0,030 |
| mantencion | Con pasto y algo de maleza | 0,025 | 0.030 | 0.033 |
| | Gran cantidad de maleza o algas en canales profundos | 0,020 | 0,035 | 0,040 |
| | Fondo de tierra y lados de piedra en bruto | 0,028 | 0.030 | 0.035 |
| | Fondo de piedra y lados de piedra en broto | 0.025 | 0,035 | 0.040 |
| | | | | |
| | Fondo de guijarros y lados limpios | 0,030 | 0,040 | 0,050 |
| c) Excavado mecánicamente o dragrado | Sin vegetación | 0,025 | 0,028 | 0,033 |
| d) Evenuedo en Dono | Lados con algo de vegetación y materrales | 0,035 | 0,050 | 0,060 |
| d) Excavado en Roca | Liso y uniforme | 0,025 | 0,035 | 0,040 |
| | Irregular, dentado | 0,035 | 0,040 | 0,050 |
| e) Canales sin mantención, malezas y matorrales sin cortar | Malezas densas de altura comparable con la profundidad del escurrimiento | 0,050 | 0,080 | 0,120 |
| | Fondo limpio, con matorrales en los lados | 0.040 | 0.050 | 0.080 |
| | Idem, a niveles máximos de escurrimiento | 0.045 | 0,070 | 0,110 |
| | Matorrales densos a nivelles altos de | 0,080 | 0,100 | 0,140 |
| | | | | |

La gradiente longitudinal para cunetas revestidas será de 0.12% y de 0.25% para las que estén sin revestir.La capacidad hidráulica de una cuneta triangular y las velocidades máximas admisibles se expresan en las imágenes adjuntas.

Tabla 4. 6 Características de cuneta triangular

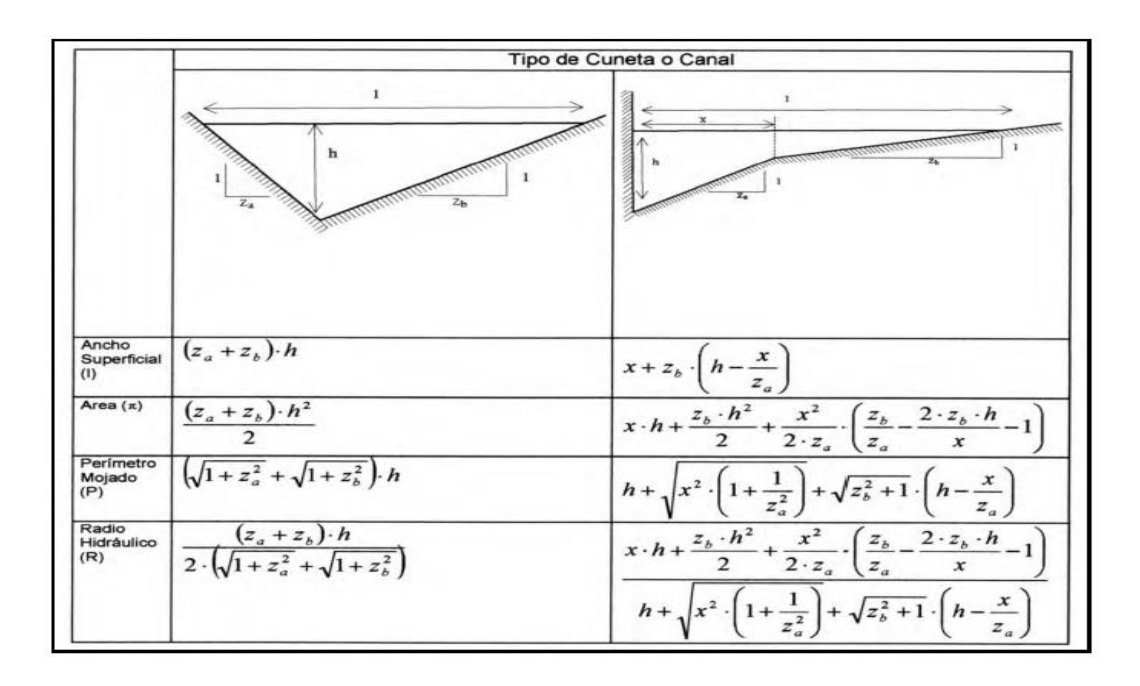


Tabla 4. 7 Velocidad máxima admisible en canales y cunetas

Velocidades máximas admisibles en canales y cunetas revestidas

| Tipo de revestimiento | Velocidad máxima admisible, m/s |
|--|---------------------------------|
| Mezclas asfálticas en sitio y tratamientos superficiales | 3,00 |
| Mampostería de piedra | 4,50 |
| Hormigón asfáltico o de cemento portland | 4,50 |

Fuente: (MTOP, 2013).

Para nuestro caso la velocidad será de 4.5 m/s.

4.5 Estudio hidrológico e hidráulico del proyecto

Para comenzar el estudio hidrológico recopilamos información de las precipitaciones máximas en 24 horas de los últimos 20 años obtenidos del Instituto Nacional de Meteorología e Hidrología(INAMHI), y para este caso escogimos la estación Saraguro (M142) por la proximidad a la localidad y por la falta de información histórica en sectores aledaños.Los datos recolectados son los siguientes tomados del anuario meteorológico del INAMHI (INAMHI).

Tabla 4. 8 Anuario meteorologico 1991

| M142 | | | | | | | | SA | RAGI | JRO | | | | | | I | NAMHI | |
|---------------|-------------|---------------|-------|--------|-------|-----------|--------------------|---------|---------|--------|----------|-------|-------|----------|------------------|----------------|----------------|-----------|
| | HELIO FANIA | | TEM | PERATU | RA D | EL AIRE A | LA SOMBRACO | 0) | Н | UM ED. | AD REL | ATTVA | (%) | PUNTO | TENSION | PRECIPI | TAC IO N (mn | n) |
| MES | (Horas) | AB: Mårdma | SO LU | | dia | Mádroa | M ED IAS Minima | Mensual | Máxima | dla | Minima | dla | Media | DE ROCIO | DEVAPOR (hPa) | 3.ma Mensud | Māxima 24ms | en dla |
| | (noras) | manna | чы | mrana | uka - | manna | M F F I I I | MCTOCK | Imaxina | uia | na a a m | y ula | media | (0) | un a | mana | 2413 | uia |
| ENERO | | | | 7,2 | 4 | | 10,7 | 14,8 | 1 | | | | | | | 32,0 | 6,5 | 17 |
| FEB RERO | | | | 4,8 | 10 | | 10,5 | 15,2 | 1 | | | | | | | 60,2 | 18,5 | 24 |
| MARZO | | | | 7,1 | 30 | | 9,8 | 14,8 | 1 | | | | | | | 124,5 | 20,0 | 26 |
| ABRIL | | | | 5,8 | 6 | | 10,0 | 14,5 | 99 | 17 | 62 | 17 | 84 | 11,5 | 13,8 | 28,6 | 4,6 | 23 |
| MAYO | | 24,0 | 23 | 9,0 | 20 | 21,5 | 11,1 | 15,3 | 98 | ŧ | 58 | 24 | 84 | 12,6 | 14,8 | 48,1 | 9,3 | 1 |
| JUNIO | | 24,2 | 2 | 8,0 | 11 | 20,7 | 10,3 | 14,7 | 99 | 26 | 48 | 2 | 91 | 13,2 | 15,5 | 28,9 | 9,2 | 29 |
| 10 FIO | | 21,6 | 13 | 8,0 | 17 | 19,5 | 9,5 | 13,9 | 1 | | | | | | | 16,6 | 3,5 | 9 |
| AGOSTO | | 21,1 | 5 | 7,1 | 5 | 17,5 | 8,8 | 12,5 | 1 | | | | | | | 28,4 | 8,0 | 11 |
| SEPTIEMBRE | | | | 1,2 | 1 | | 9,2 | 13,8 | 1 | | | | | | | 18,2 | 8,5 | 27 |
| OCTUBRE | | | | 7,0 | 6 | | 9,6 | 14,7 | 99 | 18 | 79 | 8 | 96 | 14,0 | 16,2 | 51,1 | 18,5 | 1 |
| NOVIEMBRE | | | | 6,1 | 25 | | 9,3 | 14,9 | | | | | | | | 86,9 | 18,4 | 3 |
| DICIEMBRE | | | | 7,1 | 18 | | 8,9 | 15,2 | | | | | | | | 94,0 | 24,0 | 29 |
| VALO R A NUAL | | | | 5.8 | | | 9.8 | 14,5 | | | | | | | | 617.6 | 24,0 | |

Fuente: (INAMHI).

Tabla 4. 9 Anuario meteorologico 1992

| M142 | | | | | | | | SA | RAGI | JRO |) | | | | | ı | NAMHI | | |
|-------------|------------------------|---------------|---------|-------|----|------|------------------------------------|--------------|---------------|-----|--------|----|----|---------------------------|------------------------------|----------------------------|---------------------------------|----|---------------------------------------|
| MES | HELIO FANIA (Horas) | $\overline{}$ | 30 L UT | ras . | | | LA SOMBRA (C M E DIAS Minima |) Mensual | HU Mäxim a | | AD REL | | | PUNTO DE ROCIO (°C) | TENSION DE VAPOR (IPa) | PRECIPI Suma Mensual | TACION (n n Maxima 24) rs | eı | NOmero de dias con predpliación |
| ENERO | (10.000) | | | 8.0 | 28 | | 9.4 | 15,3 | 100 | 6 | 83 | 8 | 97 | 14.7 | 17.2 | 38,1 | 11,0 | 27 | 10 |
| FEBRERO | | | | 8,0 | 19 | | 9,1 | 15,1 | 100 | 6 | 87 | 25 | 97 | 14,6 | 17,1 | 101,7 | 19,8 | 10 | 16 |
| MARZO | | | | 7,9 | 25 | | 9,4 | 15,0 | 99 | 29 | 88 | 15 | 97 | 14,5 | 16,9 | 77,8 | 11,5 | 24 | 16 |
| ABRIL | | | | 7,9 | 3 | | 8,8 | 14,3 | 100 | 21 | 89 | 25 | 97 | 13,9 | 16,2 | 67,5 | 9,9 | 22 | 21 |
| MAYO | | | | 8,0 | 12 | | 8,9 | 14,3 | 100 | 31 | 84 | 22 | 98 | 13,9 | 16,3 | 72,1 | 18,8 | 30 | 12 |
| JUNIO | | | | 7,5 | 11 | | 8,8 | 13,9 | 100 | 6 | 92 | 17 | 98 | 13,5 | 15,8 | 54,0 | 10,5 | 1 | 14 |
| *JULIO | | | | | | | | | | | | | | | | | | | |
| AGOSTO | | | | 8,0 | 17 | | 8,6 | 12,7 | 100 | 6 | 94 | 26 | 98 | 12,4 | 14,6 | 31,4 | 4,3 | 9 | 20 |
| SEPTIEMBRE | | | | 6,4 | 14 | | 0,8 | 13,4 | 99 | 21 | 93 | 19 | 98 | 13,0 | 15,3 | 70,7 | 11,2 | 14 | 19 |
| OCTUBRE | | | | 6,5 | 24 | | 8,3 | 14,8 | 99 | 2 | 94 | 21 | 98 | 14,5 | 16,9 | 20,7 | 3,4 | 24 | 13 |
| NOVIEMBRE | | 22,7 | 24 | 5,2 | 10 | 18,9 | 7,2 | 13,3 | 100 | 11 | 95 | 25 | 98 | 13,0 | 15,4 | 44,2 | 8,0 | 18 | 15 |
| DICIEMBRE | | 22,5 | 13 | 6,4 | 5 | 19,8 | 8,2 | 14,2 | 99 | 9 | 88 | 14 | 98 | 13,9 | 16,2 | 43,4 | 12,8 | 9 | 19 |
| VALOR ANUAL | | | | | | | | | | | | | | | | | | | |

Fuente: (INAMHI).

Tabla 4. 10 Anuario meteorologico 1993

| M142 | | | | | | | | SA | RAGL | JRO |) | | | | | II | NAMHI | | |
|-------------|------------------------|------|--------|-----|----|------|----------------------------------|--------------|----------------|-----|--------|----|----|---------------------------|-------------------------------|----------------------------|--------------------------------|----|---------------------------------------|
| MES | HELIO FANIA (Horas) | | 30 L U | TAS | | | LA SOMBRA (C MEDIAS Minima |) Mensual | H L Máx h a | | AD REL | | | PUNTO DE ROCIO (°C) | TENSION DE VAPOR (NP a) | PRECIPI Suma Mensual | TACION (n m Maxima 24h s | eı | Número de dias con predpliación |
| ENERO | | 21.8 | 29 | 5,2 | 25 | 18,2 | 7.3 | 13.2 | 99 | 8 | 79 | 26 | 97 | 12,7 | 15.0 | 76.5 | 13,1 | 13 | |
| FEBRERO | | 21,5 | 16 | 5,4 | 2 | 18,1 | 6,9 | 13,1 | 99 | 1 | 94 | 22 | 98 | 12,7 | 15,1 | 179,1 | 18,0 | 25 | 23 |
| MARZO | | 22,2 | 28 | 4,9 | 17 | 17,0 | 6,5 | 12,5 | 99 | 18 | 93 | 9 | 98 | 12,2 | 14,5 | 404,0 | 34,7 | 12 | 29 |
| ABRIL | | 24,6 | 15 | 5,5 | 1 | 21,3 | 7,3 | 14,7 | 99 | 7 | 87 | 7 | 98 | 14,3 | 16,9 | 139,2 | 28,9 | 2 | 19 |
| MAYO . | | 25,2 | 3 | 5,3 | 22 | 20,9 | 6,9 | 14,9 | 99 | 1 | 91 | 14 | 98 | 14,5 | 17,0 | 20,6 | 6,3 | 12 | 9 |
| JUNIO | | 23,1 | 15 | 5,2 | 21 | 20,1 | 6,6 | 14,6 | 99 | 5 | 93 | 28 | 98 | 14,3 | 16,6 | 21,2 | 6,8 | 20 | 16 |
| 1000 | | 20,6 | 10 | 5,3 | 25 | 17,8 | 6,7 | 13,2 | 100 | 6 | 95 | 25 | 98 | 12,8 | 15,1 | 26,3 | 8,4 | 11 | 15 |
| AGOSTO | | 22,2 | 30 | 5,5 | 15 | 19,4 | 6,9 | 13,5 | 100 | 5 | 96 | 2 | 98 | 13,2 | 15,6 | 13,4 | 3,2 | 16 | 14 |
| SEPTIEMBRE | | 24,1 | 22 | 4,0 | 3 | 20,3 | 7,8 | 13,9 | 99 | 11 | 90 | 22 | 98 | 13,5 | 15,9 | 35,5 | | | |
| OCTUBRE | | 24,2 | 23 | 6,2 | 19 | 21,0 | 9,2 | 15,1 | 99 | 4 | 77 | 7 | 96 | 14,5 | 16,9 | 65,5 | 14,2 | 17 | 26 |
| NOVIEMBRE | | 25,4 | 5 | 6,2 | 29 | 21,6 | 8,5 | 15,3 | 100 | 4 | 83 | 23 | 96 | 14,7 | 17,2 | 66,4 | 19,4 | 14 | 15 |
| DICIEMBRE | | 25,3 | 1 | 4,5 | 1 | 21,5 | 7,7 | 14,9 | 98 | 8 | 72 | 31 | 94 | 14,0 | 16,5 | 156,3 | 26,8 | 14 | 21 |
| VALOR ANUAL | | 25,4 | | 4,0 | | 19,8 | 7,4 | 14,1 | 100 | | 72 | | 97 | 13,6 | 16,0 | 1204,0 | | | |

Tabla 4. 11 Anuario meteorologico 1994

| M142 | | | | | | | | S | ARAGI | JRO |) | | | | | II | NAMHI | | |
|-------------|------------------------|----------------|-------|-----|----|--------------------|---------------------------------------|----------------|-------|-----|--------|----|----|-------------------|------------------------------|----------------------------|-------------------------------|----|--|
| MES | HELIO FANIA (Horas) | AB: Māx īna | 30 LU | TAS | | DELAIREA Māxima | LA SOMBRA (1 M E D I A S Minima | C) Mensital | | | AD REL | | | PUNTO DE ROCIO | TENSION DE VAPOR (IPa) | PRECIPE Suma Mensual | TACIO N(mm Máxima 24h s | eı | Nûmero de dias con precipilación |
| ENERO | | 23,1 | 20 | 6,2 | 7 | 20,9 | 8.0 | 14,5 | 96 | 15 | 46 | 2 | 77 | 10,3 | 12,9 | 131,9 | 18,0 | 10 | 26 |
| FEBRERO | | 24,6 | 11 | 6,4 | 2 | 21,4 | 9,2 | 15,3 | 98 | 28 | 53 | 21 | 84 | 12,5 | 14,8 | 85,1 | 16,8 | 1 | 18 |
| MARZ0 | | 23,6 | 21 | 6,9 | 17 | 21,9 | 9,2 | 15,5 | 96 | 14 | 59 | 7 | 79 | 11,9 | 14,2 | 173,5 | 24,5 | 3 | 21 |
| ABRIL | | 23,5 | 16 | 7,5 | 23 | 21,0 | 9,0 | 15,0 | 97 | 6 | 64 | 21 | 82 | 12,0 | 14,3 | 141,0 | 24,2 | 18 | 21 |
| MAY0 | | 25,6 | 28 | 7,2 | 3 | 21,5 | 8,8 | 15,4 | 95 | 14 | 58 | 30 | 80 | 11,9 | 14,3 | 30,8 | 7,9 | 6 | 18 |
| JUNIO | | 23,4 | 5 | 6,2 | 12 | 20,8 | 8,1 | 14,9 | 90 | 5 | 65 | 9 | 75 | 10,5 | 13,0 | 56,5 | 8,3 | 9 | 20 |
| JULIO | | 22,9 | 22 | 5,0 | 12 | 18,9 | 7,1 | 13,0 | 90 | 8 | 60 | 25 | 72 | 8,1 | 11,1 | 22,5 | 4,3 | 2 | 12 |
| AGOSTO | | 22,9 | 10 | 4,1 | 26 | 17,5 | 6,7 | 11,9 | 90 | 27 | 53 | 8 | 72 | 6,9 | 10,3 | 81,5 | 14,2 | 19 | 26 |
| SEPTIEMBRE | | 23,4 | 29 | 3,9 | 5 | 19,2 | 6,8 | 12,9 | 92 | 28 | 55 | 21 | 75 | 8,6 | 11,5 | 55,1 | 8,3 | 19 | 20 |
| OCTUBRE | | 27,5 | 27 | 5,2 | 20 | 22,8 | 8,5 | | | | | | | | | 43,2 | 11,6 | 7 | 18 |
| NOMEMBRE | | 24,5 | 16 | 5,2 | 21 | 21,5 | 8,2 | | | | | | | | | 66,0 | 11,5 | 5 | 18 |
| DICIEMBRE | | 25,4 | 3 | 6,5 | 14 | 21,6 | 9,7 | 15,9 | 91 | 11 | 69 | 16 | 83 | 12,9 | 15,2 | 78,6 | 17,β | 7 | 19 |
| VALOR ANUAL | | 27,5 | | 3,9 | | 20,8 | 8,3 | | | | | | | | | 965,7 | 24,5 | | 237 |

Fuente:(INAMHI).

Tabla 4. 12 Anuario meteorologico 1995

| M142 | | | | | | | | S/ | \RAG(| JRO |) | | | | | ll . | IHMAN | | |
|-------------|-------------|--------|------|-------|----|-------|-------------|---------|---------|-----|---------|-----|-------|-------------------|---------------------|---------|----------------------|-----|-----------------------|
| MES | HELIO FANIA | | 90LU | TAS | | | LA SOMBRA (| | | | A D REL | | | PUNTO DE ROCKO | TENSION DE VAPOR | Sıma | TACIO N(mm Maxima | eı | Número de dias con |
| | (Horas) | Mäxima | aн | Mirma | aн | Maxma | Minma | Merstal | Māx Ima | dh | Mirma | a B | месна | (0) | (NPa) | Merstal | 2416 | dla | predpliación |
| ENERO | | 24.3 | 13 | 5.5 | 10 | 22.0 | 9.0 | 15.9 | 94 | 10 | 53 | 28 | 82 | 12.8 | 15.0 | 13.7 | 7.7 | 8 | 7 |
| FEBRERO | | 24.7 | 8 | 5.2 | 10 | 21.8 | 8.4 | 15.8 | 92 | 6 | 54 | 16 | 80 | 122 | 14.4 | 77.0 | 17.8 | 21 | 17 |
| MARZ0 | | 24.5 | 14 | 6.2 | 6 | 22.4 | 8.2 | 16 D | 93 | 5 | 62 | 9 | 81 | 12.5 | 14.8 | 94.3 | 18.8 | 20 | 17 |
| AB RIL | | 24.5 | 19 | 6.5 | 1 | 22.2 | 8.9 | 16.2 | 92 | 3 | 48 | 16 | 80 | 12.8 | 15.0 | 118.5 | 19.6 | 12 | 15 |
| MAY0 | | 24.0 | 23 | 2.5 | 27 | 21.7 | 7.8 | 15.8 | 99 | 31 | 64 | 29 | 82 | 12.6 | 14.8 | 44.0 | 18.9 | 8 | 18 |
| JUNIO | | 27.5 | 17 | | | 20.8 | | | | | | | | | | 20.0 | 5.5 | 3 | 8 |
| JULIO | | 24.5 | 25 | | | 21.0 | | | | | | | | | | 45.2 | 11.6 | 21 | 19 |
| AG OST O | | 24.7 | 10 | 3.0 | 18 | 21.4 | 6.5 | 14.7 | 96 | 5 | 37 | 9 | 74 | 9.8 | 12.2 | 8.2 | 2.7 | 1 | 11 |
| SEPTIEMBRE | | 25.0 | 28 | 4.8 | 8 | 20.8 | 7.5 | 14.7 | 98 | 11 | 39 | 18 | 72 | 9.4 | 11.9 | 23.9 | 9.1 | 12 | 17 |
| OCTUBRE | | 27.0 | 8 | 2.0 | 19 | 23.2 | 7.2 | 15.1 | 98 | 10 | 33 | 7 | 72 | 9.7 | 12.2 | 36.3 | 10.7 | 30 | 13 |
| NOMEMBRE | | 25.5 | 2 | 2.5 | 24 | 22.3 | 8.9 | 15.4 | 99 | 9 | 44 | 18 | 76 | 10.9 | 13.1 | 147.7 | 382 | 12 | 19 |
| DICIEMBRE | | 25.5 | 2 | 1.0 | 12 | 21.6 | 7.6 | 14.7 | 98 | 16 | 44 | 2 | 75 | 10.1 | 12.6 | 108.4 | 16.4 | 22 | 20 |
| VALOR ANUAL | | 27.5 | | | | 21.8 | | | | | | | | | | 737.2 | 382 | | 181 |

Tabla 4. 13 Anuario meteorologico 1996

| M1 42 | | | | | | | | S | 4RAGI | URC | | | | | | | INAMHI | | |
|-------------|-------------|--------|-------|--------|-------|-----------|--------------|---------|--------|--------|--------|-------|-------|---------|----------|---------|-------------|-----|---------------|
| | HELIO FANIA | | TEM | PERAT | URA D | EL AIRE A | LA SOMBRA (" | C) | н | UM ED/ | O REL | ATIVA | (%) | PUNTO | TENSION | PRECIPI | FACIO N(mm) | 0 | Número |
| MES | | AB | 30 LU | TAS | | | MEDIAS | | | | | | | DEROCIO | DE VAPOR | Suma | Mäxima | en | de ditas con |
| | (Horas) | Máxima | dla | Minima | d la | Máxima | Minima | Mensual | Máxima | dla | Minima | dla | Media | (°C) | (h Pa) | Mensual | 24ms | dla | pre dpilación |
| ENER0 | | | | | | 20.8 | 9,9 | 14.4 | | | | | 79 | 10.6 | 12.9 | 75.2 | 23.8 | 2 | 21 |
| FEBRERO | | 24.5 | 22 | | | 20.3 | 10.8 | 14.8 | | | | | 83 | 11.8 | 13.9 | 98.7 | 18.4 | 23 | 23 |
| MARZ0 | | | | | | 21.4 | 10.5 | 15.2 | 100 | 1 | 54 | 31 | 80 | 11.6 | 13.8 | 100.6 | 22.4 | 10 | 23 |
| AB RIL | | | | | | 21.4 | 10.7 | 15.0 | 98 | 26 | 45 | 4 | 78 | 11.1 | 13.4 | 66.9 | 21.3 | 17 | 20 |
| MAY0 | | | | | | 20.8 | 9.7 | 14.3 | | | | | 79 | 10.5 | 12.9 | 48.6 | 15.8 | 15 | 21 |
| JUNIO | | | | | | 19.8 | 10.0 | 13.6 | 95 | 6 | 46 | 7 | 79 | 9,9 | 12.4 | 63.1 | 30.9 | 26 | 10 |
| JULIO | | | | | | 18.6 | 7.0 | 12.6 | | | | | 87 | 10.5 | 13.1 | 51.8 | 9.9 | 29 | 17 |
| AG OST O | | | | | | 20.6 | 9.7 | 14.9 | | | | | 80 | 11.3 | 13.8 | 14.9 | 2.7 | 6 | 15 |
| SEPTIEMBRE | | | | | | 20.3 | 9.8 | 14.3 | | | | | 69 | 8.4 | 11.0 | 29.7 | 10.4 | 16 | 13 |
| OCTUBRE | | 25 D | 18 | 2.4 | 13 | 223 | 9.3 | 14.7 | 98 | 7 | 32 | 6 | 75 | 9.8 | 12.2 | 99.6 | 25.6 | 15 | 18 |
| NOVIEMBRE | | | | | | 23.1 | 7.3 | 14.3 | | | | | 71 | 8.6 | 11.4 | 29.4 | 6.2 | 29 | 7 |
| DICIEMBRE | | | | | | 21.5 | 10.3 | 14.9 | | | | | 78 | 10.7 | 12.9 | 47.0 | 9.0 | 16 | 18 |
| VALOR ANUAL | | | | | | 20.9 | 9.5 | 14.4 | | | | | 78.1 | 10.4 | 12.8 | 725.5 | 30.9 | | |

Fuente:(INAMHI).

Tabla 4. 14 Anuario meteorologico 1997

| M142 | | | | | | | S. | ARAG | UR |) | | | | | | INAMHI | | |
|-------------|---------------|--------|-----------------------|-------|------------|-------------|---------|--------|-------|--------|-------|-------|------------------|--------------------|-----------------|------------------------|-----|------------------------|
| MES | H EL IO FANIA | ABS | TEMPERATU 30 LUTAS | R.A.D | EL AIR E A | LA SOMBRACO | 0) | Н | UM ED | AD REL | ATIVA | (%) | PUNTO Derocko | TENSION Devapor | PRECIPI Suma | TAC 10 Nijmm Maxima | | Número de d'las con |
| | (Horas) | Máxima | dia Minima | dla | Máxim a | M inim a | Mensual | Máxima | dla | Minima | dla | Media | (°C) | (hPa) | Mensual | 24Ys | dia | precipi ladón |
| ENERO | | | | | 21.1 | 8.8 | 14.5 | 99 | 3 | 44 | 7 | 82 | 112 | 13.4 | 143.2 | 23.1 | 21 | 28 |
| FEBRERO | | | | | 20.1 | 10.9 | 14.3 | | | | | 84 | 11.5 | 13.6 | 109.5 | 25.6 | 16 | 17 |
| MARZO | | | | | 21.2 | 10.2 | 14.4 | 99 | 18 | 40 | 28 | 82 | 11.1 | 13.3 | 107.7 | 24.2 | 18 | 20 |
| ABRIL | | 24.5 | 1 | | 21.2 | 10.3 | 14.6 | | | | | 82 | 113 | 13.5 | 603 | 14.6 | 28 | 13 |
| MAY0 | | | | | 20.6 | 10.3 | 14.2 | | | | | 80 | 10.6 | 12.8 | 56.8 | 23.8 | 4 | 18 |
| JUNIO | | | | | 22.4 | 8.9 | 14.7 | 98 | 25 | 37 | 6 | 74 | 9.4 | 11.9 | 200 | 7.5 | 24 | 8 |
| JULIO | | | | | | 9.8 | 14.4 | | | | | 68 | 8.0 | 10.8 | 310 | 9,6 | 6 | 15 |
| AGOSTO | | 26.0 | 3 | | 18.9 | 9.6 | 14.1 | 98 | 26 | 30 | 11 | 73 | 9.0 | 11.5 | 31.1 | 7.9 | 27 | 16 |
| SEPTIEMBRE | | 26.5 | 21 | | 21.8 | 9.5 | 14.4 | 98 | 29 | 39 | 19 | 74 | 9.5 | 11.9 | 36.6 | 14.4 | 23 | 13 |
| OCTUBRE | | 27.5 | 12 | | 23.1 | 102 | 15.3 | 98 | 28 | 35 | 17 | 75 | 10.4 | 12.6 | 50.1 | 12.6 | 27 | 14 |
| NOMEMBRE | | 24.2 | 21 | | 21.7 | 10.4 | 14.7 | 99 | 20 | 51 | 13 | 83 | 11.6 | 13.7 | 900 | 15.1 | 19 | 22 |
| DICIEMBRE | | 24.5 | 12 | | 22.2 | 11.5 | 15.6 | 98 | 17 | 51 | 11 | 79 | 11.6 | 13.7 | 82D | 16.2 | 13 | 17 |
| VALOR ANUAL | | | | | | 100 | 14.6 | | | | | 78 | 10.4 | 12.7 | 818.3 | 25.6 | | |

Tabla 4. 15 Anuario meteorologico 1998

| M142 | | | | | | | | S | ARAGI | JRO |) | | | | | | INAMH | | |
|-------------|--------------|--------|-----|-----|--------|-----------|--------------|---------|--------|-------|---------|---------|-------|-------------------|--------------------|-----------------|----------------------|-----|------------------------|
| MES | HELIO FAN IA | AB | TEM | | U RA D | EL AIRE A | LA SOMBRA (* | C) | HI | M ED/ | AD R EL | ATIVA (| %) | PUNTO De rocio | TENSION Devapor | PRECIPI Suma | TACIO N(mn Máxima | | Kûmero de d'ias con |
| | (H oras) | Māxima | | | dla | Máxima | Minima | Mensual | Māxima | dia | Minima | dla | Media | (°C) | (hPa) | Mensual | 24hrs | dla | predpilación |
| ENER0 | | | | | | 21.5 | 11.4 | | | | | | | | | 39.1 | 160 | 7 | 19 |
| FEBRERO | | | | | | 23.1 | | 15.8 | | | | | 83 | 12.5 | 146 | 67.0 | 23.5 | 19 | 15 |
| MARZ0 | | 24.5 | 10 | | | 22.6 | | 15.6 | | | | | 82 | 12.3 | 14.4 | 187.1 | 63.5 | 11 | 18 |
| AB RIL | | | | | | 23 D | | 15.9 | | | | | 82 | 12.5 | 145 | 79.4 | 19.8 | 18 | 23 |
| MAY0 | | | | | | 21.3 | 11.3 | 15.4 | | | | | 80 | 11.6 | 13.8 | 89.3 | 26.6 | 26 | 19 |
| JUNIO | | | | | | 20.3 | 10.2 | 14.6 | | | | | 75 | 9.9 | 123 | 10.0 | | | |
| JULIO | | | | | | | 10.0 | 148 | | | | | 73 | 9.9 | 123 | 30.5 | | | |
| AG OST O | | | | 6.0 | 14 | 21.3 | 9.7 | 15D | 100 | 22 | 37 | 14 | 70 | 9.1 | 11.6 | 28.6 | 5.5 | 19 | 18 |
| SEPTIEMBRE | | | | 4.5 | 1 | 22.4 | 8.6 | 145 | | | | | 72 | 8.8 | 11.5 | 29.9 | 5.7 | 19 | 14 |
| OCTUBRE | | 27.5 | 18 | 7.6 | 12 | 22.1 | 10.3 | 149 | | | | | 75 | 9.9 | 123 | 84.7 | 22.6 | 24 | 16 |
| NOMEMBRE | | | | 4.6 | 29 | 23.1 | 10.5 | 15.5 | | | | | 77 | 11.1 | 13.3 | 45.9 | 160 | 13 | 16 |
| DICIEMBRE | | 26.8 | 8 | 1.5 | 3 | 23.3 | 8.3 | 149 | 96 | 13 | 30 | 9 | 68 | 8.3 | 11.4 | 42.5 | 17.0 | 12 | 10 |
| VALOR ANUAL | | | | | | | | | | | | | | | | 734D | | | |

Fuente: (INAMHI).

Tabla 4. 16 Anuario meteorologico 1999

| M142 | | | | | | | | S | ARAGI | UR(| | | | | | | INAMHI | | |
|--------------|--------------|--------|------------|-------|-----|------------|--------------|---------|--------|------|--------|-------|-------|-------------------|---------------------|-----------------|--------------------------|----|-----------------------|
| MES | HEL IO FANIA | AB | TE SOLU | | URA | DEL AIRE A | LA SOMBRA (1 | 0) | H | UMED | AD REL | ATTVA | (%) | PUNTO DE ROCIO | TENSION DE VAPOR | PRECIPI Suma | TACION (firm Máx lina | - | Número de dias con |
| | (Horas) | Mäxima | dla | Mirma | dla | Máxima | Mirima | Mensual | Māxima | dla | Mirma | dla | Media | (%) | (i Pa) | Me is tal | 24118 | dh | precipilación |
| ENERO | | | | | | 21.8 | 10.4 | 14.7 | 98 | 26 | 36 | 3 | 80 | 10.9 | 13.1 | 129.0 | 19.4 | 7 | 23 |
| FEBRERO | | 23.0 | 3 | 9.0 | 3 | 20.1 | 11.4 | 14.7 | 98 | 23 | 45 | 1 | 85 | 12.0 | 14.1 | 254.0 | 51.2 | 16 | 24 |
| MARZO | | | | | | 21.0 | 10.8 | 15.1 | | | | | 81 | 11.6 | 13.7 | 157.5 | 20.0 | 16 | 27 |
| ABRIL | | 21.5 | 30 | 8.5 | 25 | 19.6 | 11.1 | 15.2 | 94 | 27 | 54 | 30 | 75 | 10.7 | 12.9 | 62.4 | 22.2 | 27 | 23 |
| MAYO | | | | 7.0 | 10 | 20.1 | 10.3 | 14.7 | 95 | 8 | 41 | 7 | 78 | 10.6 | 12.9 | 112.8 | 19.9 | 11 | 23 |
| JUNIO | | | | 7.4 | 29 | 21.0 | 9.8 | 15.4 | | | | | 74 | 10.3 | 12.6 | 66.7 | 7.3 | 26 | 20 |
| JULIO | | | | 3.0 | 11 | 18.4 | 9.3 | 14.1 | 94 | 29 | 44 | 11 | 72 | 8.9 | 11.5 | 42.4 | 10.0 | 28 | 17 |
| AGOSTO | | | | | | | | | | | | | | | | | | | |
| SEPTIEMBRE | | | | 6.6 | 8 | 21.1 | 9.3 | 14.7 | 97 | 12 | 37 | 6 | 72 | 9.1 | 11.7 | 63.2 | 17.0 | 27 | 17 |
| OCTUBRE | | 25.0 | 25 | 5.0 | 18 | 20.7 | 92 | 14.8 | 98 | 26 | 40 | 17 | 70 | 9.0 | 11.6 | 35.6 | 12.7 | 26 | 11 |
| NOVIEMBRE | | | | 6.7 | 27 | 23.2 | 9.5 | 15.5 | 97 | 22 | 40 | 16 | 71 | 9.8 | 12.2 | 24.8 | 6.3 | 17 | 12 |
| DICIEMBRE | | 23.5 | 30 | 8.0 | 12 | 20.0 | 10.8 | 14.3 | 98 | 17 | 56 | 12 | 84 | 11.6 | 13.7 | 179.7 | 22.0 | 18 | 27 |
| VALOR ANTIAL | | | | | | | | | | | | | | | | | | | |

Tabla 4.17 Anuario meteorologico 2000

| M142 | | | | | | | | S. | ARAGI | UR(|) | | | | | | INAMH | l | |
|-------------|-----------------------|------|--------|-----|----|------------------|-------------------------------------|---------------|---------|-----|--------|----|----|---------------------------|-----------------------------|----------------------------|--------------------------------|----|---------------------------------------|
| MES | HELIOFANIA (Horas) | | 30 L U | TAS | | ELAIREA Mäxma | LA SOMBRA (1 M E DIA S Minima | C) Merstal | Māx Ima | | AD REL | | | PUNTO DE ROCIO (°C) | TENSION DEVAPOR (1Pa) | PRECIPI Suma Messual | TACION (mm Maxima 24 his | | Nûmero de dias con predpilación |
| ENERO | | 25.0 | 9 | 5.5 | 7 | 20.6 | 10.0 | 14.5 | | | | | 80 | 10.7 | 12.9 | 79.7 | 21.0 | 26 | 20 |
| FEBRERO | | 24.0 | 9 | 8.0 | 4 | 20.5 | 10.3 | 14.5 | 98 | 27 | 50 | 8 | 81 | 11.1 | 13.3 | 126.4 | 22.2 | 17 | 22 |
| MARZO | | 23.2 | 31 | 7.6 | 23 | 20.3 | 11.0 | 14.7 | 99 | 5 | 42 | 27 | 83 | 11.4 | 13.6 | 146.2 | 17.6 | 14 | 25 |
| ABRIL | | | | 8.2 | 1 | 21.0 | 10.9 | 15.1 | | | | | 77 | 10.9 | 13.1 | 85.7 | 35.1 | 18 | 22 |
| MAYO | | 26.0 | 15 | 8.0 | 16 | 21.0 | 10.7 | 15.0 | 96 | 2 | 48 | 16 | 78 | 10.9 | 13.1 | 60.1 | 11.1 | 10 | 22 |
| JUNIO | | 23.5 | 15 | 6.2 | 25 | 20.5 | 10.0 | 14.9 | 96 | 17 | 47 | 24 | 74 | 10.1 | 12.4 | 59.5 | 14.5 | 16 | 16 |
| JULIO | | 25.0 | 21 | 5.0 | 20 | 20.0 | 9.4 | 14.2 | | | | | 72 | 8.9 | 11.4 | 11.3 | 3.8 | 3 | 13 |
| AGOSTO | | | | | | | | | | | | | | | | | | | |
| SEPTIEMBRE | | | | | | | | | | | | | | | | | | | |
| OCTUBRE | | | | | | | | | | | | | | | | | | | |
| NOMEMBRE | | | | | | | | | | | | | | | | | | | |
| DICIEMBRE | | | | | | | | | | | | | | | | | | | |
| VALOR ANUAL | | | | | | | | | | | | | | | | | | | |

Fuente: (INAMHI).

Tabla 4. 18 Anuario meteorologico 2001

| M142 | | | | | | | | S | ARAGI | UR(|) | | | | | | INAMH | | |
|-------------|--------------|--------|-----|-----|-------|------------|-------------|----------|--------|------|--------|-------|--------|-------------------|---------------------|-----------------|------------------------|-----|-----------------------|
| MES | HELIO FA NIA | | TEI | | URA (| DEL AIRE A | LA SOMBRA (| C) | н | UMED | AD REL | ATIVA | (%) | PUNTO DE ROCIO | TENSION DE VAPOR | PRECIPI Suma | TACIO N(mm Màx in a | | Número de dias con |
| MEG | (Horas) | Máxima | | | db | Máxha | Mir Ima | Mensital | Máxima | db | Mirima | dh | Me dia | (0) | (IPa) | Mersual | 24118 | dla | predpiladón |
| ENERO | | | | | | | | | | | | | | | | | | | |
| FEBRERO | | | | | | 20.7 | 10.7 | 14.9 | | | | | 77 | 10.7 | 12.9 | 82.8 | | | |
| MARZO | | 24.0 | 6 | 7.0 | 8 | 21.7 | 9.9 | 15.1 | 98 | 16 | 40 | 25 | 76 | 10.6 | 12.9 | 122.1 | 21.0 | 15 | 19 |
| ABRIL | | 24.5 | 20 | 7.1 | 25 | 20.6 | 10.3 | 15.1 | 95 | 1 | 48 | 20 | 74 | 10.3 | 12.6 | 43.2 | 10.1 | 16 | 20 |
| MAYO | | | | | | 21.4 | 9.9 | 152 | | | | | 75 | 10.6 | 12.9 | 61.7 | 10.6 | 20 | 17 |
| JUNIO | | | | 5.8 | 24 | 19.0 | 9.6 | 14.4 | 94 | 6 | 45 | 24 | 72 | 9.2 | 11.7 | 53.2 | 14.4 | 10 | 17 |
| JULIO | | | | | | 19.7 | 9.9 | 14.5 | | | | | 72 | 9.4 | 11.8 | 16.7 | | | |
| AGOSTO | | 26.0 | 23 | 2.5 | 24 | 18.3 | 8.6 | 13.5 | | | | | 70 | 7.8 | 10.7 | 26.6 | 12.8 | 8 | 13 |
| SEPTIEMBRE | | | | 4.6 | 5 | 21.2 | 8.3 | 14.9 | | | | | 68 | 8.5 | 11.2 | 23.6 | 10.4 | 11 | 10 |
| DCTUBRE | | | | 6.8 | 11 | 23.2 | 9.8 | 15.7 | 98 | 17 | 42 | 15 | 70 | 9.8 | 12.2 | 29.8 | 11.7 | 21 | 10 |
| NOVIEMBRE | | | | | | 23.1 | 9.0 | 15.2 | | | | | 70 | 9.1 | 11.8 | 79.2 | | | |
| DICIEMBRE | | | | | | 22.7 | 10.1 | 15.6 | | | | | 75 | 10.9 | 13.2 | 66.8 | 23.4 | 29 | 18 |
| VALOR ANUAL | | | | | | | | | | | | | | | | | | | |

Tabla 4. 19 Anuario meteorologico 2002

| M142 | | | | | | | | S | ARAGI | URC |) | | | | | | INAMH | <u> </u> | |
|-----------------|-------------|------|--------|-----|----|-------------------|-------------------------------------|---------------|---------|-----|--------|----|----|---------------------------|-----------------------------|-----------------|----------------------------------|----------|---------------------------------------|
| MES | HELIO FANIA | | 90 L U | | | ELAIREA Mäxina | LA SOMBRA (1 M E D IAS Minima | C) Mersial | Māx Ima | | AD REL | | | PUNTO DE ROCIO (°C) | TENSION DEVAPOR (NPa) | P RECIPION Suma | TACION (finm Maxima 24) 16 | , | Número de dias con predpilación |
| ENERO | Ų, | 25.0 | 13 | | | 22.3 | 10.3 | 15.6 | 99 | 2 | 42 | 13 | 75 | 10.7 | 13.0 | 21.6 | 7.7 | 2 | 14 |
| FEBRERO | | 25.5 | | 6.0 | 9 | 22.4 | 10.7 | 15.5 | " | - | - | | 78 | 11.4 | 13.6 | 71.9 | 17.2 | 4 | 19 |
| MARZO | | 24.5 | 16 | 8.4 | 11 | 22.2 | 10.9 | 15.9 | | | | | 77 | 11.5 | 13.6 | 68.4 | 17.0 | 5 | 13 |
| ABRIL | | | | | | 21.8 | 10.7 | 15.5 | | | | | 78 | 11.4 | 13.6 | 95.9 | | | |
| MAYO | | | | 5.5 | 31 | 21.3 | 10.8 | 15.4 | | | | | 77 | 11.0 | 13.2 | 83.4 | 36.0 | 21 | 21 |
| JUNIO | | 23.0 | 5 | 7.2 | 18 | 19.2 | 10.2 | 14.3 | 98 | 5 | 51 | 6 | 73 | 9.2 | 11.7 | 54.5 | 11.5 | 10 | 16 |
| JULIO AGOSTO | | | | 6.4 | 21 | 19.5 | 10.6 | 14.5 | 98 | 18 | 47 | 21 | 75 | 10.0 | 12.3 | 54.0 | 23.6 | 5 | 15 |
| SEPTIEMBRE | | | | 1.8 | 8 | 21.4 | 8.8 | 15.4 | | | | | 69 | 9.3 | 11.8 | 72 | 3.0 | 3 | 11 |
| OCTUBRE | | | | | | 21.6 | 9.3 | | | | | | | | | 51.8 | | | |
| NOVIEMBRE | | | | | | 21.5 | 10.4 | | | | | | | | | | | | |
| DICIEMBRE | | | | 9.2 | 12 | 21.5 | 11.4 | 15.9 | 98 | 22 | 53 | 11 | 82 | 12.7 | 14.8 | 116.9 | 25.5 | 7 | 20 |
| VALOR ANUAL | | | | | | | | | | | | | | | | | | | |

Fuente:(INAMHI).

Tabla 4. 20 Anuario meteorologico 2003

| M142 | | | | | | | | SA | 4RAG | JR(|) | | | | | | INAMH | I | |
|-------------|------------|--------|--------|-------|-----|-------|--------------|---------|--------|-----|--------|-----|--------|-------------------|--------------------|---------|------------------------|-----|-----------------------|
| MES | HELIOFANIA | | 30 L U | TAS | | | LA SOMBRA (1 | | | | AD REL | | | PUNTO DE ROCIO | TENSION DEVAPOR | Sima | TACION († nm Maxima | éı | Namero de dias con |
| | (Horas) | Máxima | dB | Milma | dia | Maxma | Min in a | Merstal | Maxima | dB | Mirma | dia | Me dia | (%) | (li Pa) | Merstal | 241 8 | dla | predpliación |
| ENERO | | | | 6.5 | 23 | 21.0 | 10.0 | 15.4 | 97 | 16 | 50 | 26 | 79 | 11.6 | 13.9 | 26.4 | 11.4 | 31 | 16 |
| FEBRERO | | 25.5 | 17 | | | 21.1 | 10.3 | 15.8 | | | | | 78 | 11.7 | 14.1 | 48.6 | 15.4 | 27 | 21 |
| MARZO | | 25.5 | 28 | | | 21.1 | 9.9 | 15.6 | | | | | 78 | 11.5 | 13.8 | 119.5 | 16.5 | 15 | 17 |
| ABRIL | | 25.5 | 19 | 7.3 | 17 | 21.1 | 11.4 | 15.8 | | | | | 83 | 12.8 | 14.9 | 97.4 | 27.0 | 8 | 22 |
| MAYO | | 25.0 | 5 | 8.5 | 5 | 20.6 | 11.1 | 15.3 | | | | | 83 | 12.4 | 14.5 | 54.0 | 19.6 | 13 | 19 |
| JUNIO | | 23.0 | 3 | | | 20.5 | 10.1 | 15.1 | 97 | 26 | 46 | 5 | 79 | 11.5 | 13.7 | 28.9 | 6.6 | 1 | 16 |
| JULIO | | | | | | | | | | | | | | | | | | | |
| AGOSTO | | 23.0 | 22 | | | 19.6 | 9.7 | 14.5 | 94 | 11 | 33 | 1 | 71 | 9.1 | 11.7 | 13.6 | 2.8 | 10 | 12 |
| SEPTIEMBRE | | | | 6.0 | 15 | 21.1 | 9.1 | 14.9 | | | | | 70 | 9.2 | 11.7 | 46.8 | 18.1 | 26 | 10 |
| OCTUBRE | | 26.5 | 7 | | | 22.3 | 10.5 | 15.8 | | | | | 73 | 10.6 | 12.9 | 43.8 | 11.3 | 8 | 12 |
| NOVIEMBRE | | 25.5 | 9 | 3.6 | 2 | 22.9 | 9.4 | 15.6 | 96 | 17 | 29 | 1 | 71 | 9.9 | 12.4 | 65.3 | 22.9 | 28 | 13 |
| DICIEMBRE | | | | 6.5 | 6 | 21.5 | 10.9 | 15.4 | 96 | 1 | 42 | 5 | 77 | 11.2 | 13.4 | 79.4 | 19.9 | 12 | 15 |
| VALOR ANUAL | | | | | | | | | | | | | | | | | | | |

Tabla 4. 21 Anuario meteorologico 2004

| M142 | | | | | | | | S | ARAGURO | | | | INAMHI | | |
|-------------|------------|--------|--------|---------|-------|----------|--------------|---------|-----------------------------|---------|---------|-----------|-------------|-----|--------------|
| | HELIOFANIA | | TEI | MPERATI | JRA D | DELAIREA | LA SOMBRA (* | (C) | HUMEDAD RELATIVA (%) | PUNTO | TENSION | P RECIP (| TACIO N(mm) | | Número |
| MES | | | 90 L U | | | | MEDIAS | | | DEROCIO | DEVAPOR | Sima | Max in a e | | de dias con |
| | (Horas) | Max ma | dB | Mirma | dla | Maxma | Mirma | Merstal | Maxima dia Minima dia Media | (°C) | (IPa) | Merstal | 241 8 | dia | predpilación |
| ENERO | | | | 1.5 | 22 | 22.1 | 8.3 | 14.9 | 76 | 10.2 | 12.7 | 50.8 | | | |
| FEBRERO | | 25.0 | 17 | | | 22.5 | 9.8 | 15.8 | 74 | 10.8 | 13.1 | 51.4 | 13.2 | 19 | 17 |
| MARZO | | | | | | 21.2 | 11.5 | 16.1 | 74 | 11.2 | 13.4 | 55.8 | 12.0 | 26 | 23 |
| ABRIL | | 25.0 | 17 | | | 21.9 | 10.6 | 15.8 | 75 | 11.1 | 13.3 | 103.9 | 18.0 | 12 | 19 |
| MAYO | | | | | | 21.5 | 10.3 | 15.7 | 74 | 10.8 | 13.1 | 50.1 | | | |
| JUNIO | | 20.5 | 26 | 3.0 | 16 | 18.5 | 8.3 | 14.3 | 76 | 10.0 | 12.3 | 58.2 | 13.8 | 3 | 22 |
| JULIO | | | | | | 19.7 | 8.3 | 14.7 | 71 | 9.2 | 11.7 | 17.0 | | | |
| AGOSTO | | | | | | 19.2 | 7.4 | 14.1 | 71 | 8.6 | 11.2 | 4.4 | | | |
| SEPTIEMBRE | | | | 4.0 | 15 | 19.6 | 7.7 | 14.5 | 76 | 10.0 | 12.3 | 42.0 | 16.3 | 8 | 17 |
| OCTUBRE | | | | | | 22.3 | 8.0 | 15.1 | 81 | 11.6 | 13.7 | 60.0 | | | |
| NOVIEMBRE | | 25.6 | 16 | 2.6 | 15 | 23.1 | 6.6 | 15.6 | 98 3 53 23 80 | 11.8 | 14.0 | 95.5 | 27.6 | 29 | 19 |
| DICIEMBRE | | | | | | 22.6 | 6.0 | 15.3 | 81 | 11.7 | 13.9 | 75.1 | | | |
| VALOR ANUAL | | | | | | 21.2 | 8.6 | 15.2 | 75 | 10.6 | 12.9 | 6642 | | | |

Fuente: (INAMHI).

Tabla 4. 22 Anuario meteorologico 2005

| M142 | | | | | | | | SA | RAG | URC |) | | | | | | INAMH | | |
|-------------|------------|----------|-------------|-------|-------|------------|--------------|---------|----------|---------|----------|------|-------|-------------------|---------------------|-----------------|-----------------------|-----|-----------------------|
| MES | HELIOFANIA | AB | TEI SOLU | | JRA D | EL A IRE A | LA SOMBRA (C | 9 | Н | U MED A | AD REI | ATNA | (%) | PUNTO DE ROCIO | TENSION DE VAPOR | PRECIPI Suma | TACION (n m Máxima | | Número de d'as con |
| | (Horas) | Mãx im a | dla | Mirma | db | Máxima | Mirima | Mensial | Mãx im a | dla | Min im a | db | Media | (°C) | (IPa) | Merstal | 24 hrs | dla | precipi ladón |
| ENERO | | 28,0 | 25 | | | 22,3 | 7,0 | 15,3 | | | | | 79 | 11,3 | 13,5 | 48,0 | | | |
| FEBRERO | | 24,0 | 23 | 7,2 | 23 | 21,2 | 9,6 | 15,7 | | | | | 83 | 12,5 | 14,5 | 104,0 | 13,4 | 7 | 22 |
| MARZO | | 23,5 | 15 | 4,0 | 21 | 21,5 | 9,1 | 15,6 | | | | | 85 | 12,9 | 14,9 | 218,0 | 35,2 | 16 | 24 |
| ABRIL | | | | 6,5 | 12 | 21,4 | 9,3 | 15,9 | | | | | 79 | 12,1 | 14,2 | 81,9 | 15,0 | 24 | 24 |
| MAYO | | 25,0 | 18 | 0,5 | 24 | 21,9 | 7,7 | 15,2 | 97 | 8 | 35 | 21 | 76 | 10,7 | 13,0 | 36,7 | 7,4 | 5 | 16 |
| JUNIO | | 26,5 | 26 | | | 20,6 | 8,5 | 15,2 | 98 | 23 | 25 | 26 | 74 | 10,4 | 12,7 | 28,4 | 7,6 | 28 | 19 |
| JULIO | | | | | | 19,6 | 7,7 | 14,2 | | | | | 70 | 8,5 | 11,2 | 11,2 | 1,5 | 6 | 13 |
| AGOSTO | | | | 3,5 | 22 | 20,2 | 7,8 | 14,5 | | | | | 72 | 9,2 | 11,7 | 6,8 | 1,6 | 1 | 10 |
| SEPTIEMBRE | | 26,6 | 25 | 7,8 | 19 | 21,4 | 9,6 | 15,0 | | | | | 73 | 9,8 | 12,1 | 27,9 | 15,1 | 26 | 10 |
| OCTUBRE | | | | | | 23,2 | 9,8 | 15,2 | | | | | 77 | 10,8 | 13,0 | 37,9 | 10,3 | 30 | 15 |
| NOVIEMBRE | | | | | | 22,6 | 7,9 | 14,7 | | | | | 64 | 7,1 | 10,5 | 7,4 | | | |
| DICIEMBRE | | 25,6 | 1 | | | 21,9 | 10,0 | 14,4 | 98 | 25 | 40 | 8 | 81 | 10,8 | 13,1 | 150,0 | | | |
| VALOR ANUAL | | | | | | 21,5 | 8,7 | 15,1 | | | | | 76 | 10,5 | 12,9 | 758,2 | | | |

Tabla 4. 23 Anuario meteorológico 2006

| M142 | | | | | | | | S | ARAGI | JRC | | | | | | | INAMHI | | |
|-------------|--------------|--------|--------------|-------|-------|------------|--------------|----------|--------|--------|---------|-------|-------|-------------------|---------------------|------------------|------------------------|----|-----------------------|
| MES | HEL IO FANIA | AB | TEN SOLUT | | URA (| DEL AIRE A | LA SOMBRA (Y |) | н | UM ED/ | AD RELA | ATTVA | (%) | PUNTO DE ROCIO | TENSION DE VAPOR | PRECIPIT Suma | 'ACION (mm) Mãx ima |) | Número de dias con |
| | (Horas) | Mäxima | dla | Mirma | dla | Máxima | Mirima | Mersital | Māxima | dla | Mirima | dla | Media | (7) | (hPa) | Mersital | 24118 | db | precipilación |
| ENERO | | | | | | 20,9 | 11,6 | | | | | | | | | 65,0 | | | |
| FEBRERO | | | | | | 21,4 | 11,4 | 15,7 | | | | | 85 | 13,0 | 15,1 | 99,2 | 24,8 | 2 | 15 |
| MARZO | | | | 6,5 | 18 | 21,5 | 11,4 | 15,5 | 99 | 23 | 51 | 1 | 86 | 13,0 | 15,0 | 128,1 | 27,5 | 18 | 18 |
| ABRIL | | 25,2 | 19 | 6,6 | 28 | 21,5 | 10,4 | 15,2 | 100 | 5 | 54 | 29 | 84 | 12,3 | 14,4 | 67,3 | 11,8 | 5 | 14 |
| MAYO | | 24,2 | 20 | | | 21,0 | 9,7 | 14,8 | 98 | 12 | 42 | 19 | 74 | 9,9 | 12,3 | 10,4 | 3,9 | 1 | 8 |
| JUNIO | | | | | | 20,4 | 9,8 | 14,5 | | | | | 77 | 10,2 | 12,5 | 63,8 | | | |
| JULIO | | | | 5,0 | 6 | 19,2 | 9,9 | 14,4 | 99 | 9 | 43 | 28 | 71 | 9,1 | 11,6 | 13,7 | 5,3 | 2 | 12 |
| AGOSTO | | 22,2 | 13 | 6,7 | 26 | 20,0 | 10,3 | 14,8 | 94 | 11 | 46 | 4 | 69 | 9,1 | 11,6 | 15,4 | 5,6 | 2 | 12 |
| SEPTIEMBRE | | | | | | 21,1 | 9,5 | 15,1 | | | | | 70 | 9,3 | 11,8 | 11,0 | 5,2 | 18 | 7 |
| OCTUBRE | | 27,0 | 28 | 1,0 | 19 | 23,3 | 9,4 | 15,2 | | | | | 72 | 9,6 | 12,2 | 45,1 | 18,2 | 12 | 10 |
| NOVIEMBRE | | 26,0 | 5 | 7,0 | 3 | 22,6 | 10,0 | 15,1 | 100 | 19 | 38 | 8 | 79 | 11,0 | 13,2 | 123,6 | 27,8 | 10 | 19 |
| DICIEMBRE | | 24,6 | 19 | 6,8 | 13 | 22,4 | 11,0 | 15,5 | 99 | 6 | 42 | 10 | 81 | 11,9 | 13,9 | 83,6 | 14,3 | 20 | 18 |
| VALOR ANUAL | | | | | | 21,3 | 10,4 | | | | | | | | | 726,2 | | | |

Fuente: (INAMHI).

Tabla 4. 24 Anuario meteorológico 2007

| M142 | | | | | | | | SA | 4RAGI | UR(|) | | | | | | INAMH | | |
|-------------|--------------|--------|--------|-------|----|-------|--------------|---------|--------|-----|--------|----|-------|-------------------|---------------------|---------|------------------------|-----|-----------------------|
| MES | HELIO FA NIA | | 90 L U | TAS | | | LA SOMBRA (C | | | | AD REL | | . , | PUNTO DE ROCIO | TENSION DE VAPOR | Sıma | TACIO N(mm Máx in a | eı | Numero de d'as con |
| | (Horas) | Maxima | dia | Milma | an | Maxma | Mirma | Mensial | Máx ma | dia | Minma | an | Media | (0) | (NPa) | Merstal | 24118 | dla | predpilación |
| ENERO | | 23.6 | 16 | 9.1 | 14 | 21.8 | 12.1 | 16.1 | 98 | 25 | 49 | 16 | 78 | 12.0 | 14.1 | 105.8 | 48.6 | 25 | 20 |
| FEBRERO | | | | 72 | 22 | 21.3 | 10.7 | 15.1 | 99 | 16 | 42 | 21 | 81 | 11.7 | 13.8 | 42.0 | 13.1 | 13 | 16 |
| MARZO | | | | 8.5 | 27 | 21.3 | 11.0 | 15.3 | | | | | 80 | 11.7 | 13.8 | 85.3 | 19.8 | 28 | 25 |
| ABRIL | | 26.5 | 5 | 9.3 | 29 | 22.1 | 11.7 | 15.6 | 97 | 8 | 50 | 5 | 80 | 11.9 | 14.0 | 120.8 | 33.2 | 24 | 24 |
| MAYO | | 24.0 | 6 | | | 21.2 | 11.2 | 15.1 | | | | | 81 | 11.6 | 13.7 | 44.6 | 14.4 | 17 | 17 |
| JUNIO | | | | 82 | 29 | 18.6 | 11.0 | 14.1 | 98 | 19 | 57 | 1 | 77 | 10.1 | 12.4 | 39.4 | 9.8 | 10 | 22 |
| JULIO | | 24.5 | 22 | 6.0 | 3 | 20.8 | 9.5 | 14.5 | 97 | 19 | 49 | 23 | 74 | 9.6 | 12.1 | 15.6 | 7.2 | 26 | 8 |
| AGOSTO | | | | 5.5 | 2 | 19.8 | 9.5 | 14.1 | | | | | 72 | 8.7 | 11.3 | 48.2 | 17.9 | 11 | 18 |
| SEPTIEMBRE | | 23.2 | 18 | | | 19.5 | 10.3 | 142 | 97 | 24 | 50 | 18 | 73 | 9.3 | 11.8 | 22.5 | 5.6 | 15 | 16 |
| OCTUBRE | | | | | | 21.8 | 9.3 | 14.4 | 97 | 21 | 40 | 28 | 77 | 10.0 | 12.4 | 69.4 | 15.6 | 22 | 18 |
| NOVIEMBRE | | | | | | 21.6 | 10.3 | 14.8 | | | | | 81 | 11.5 | 13.7 | 65.5 | | | |
| DICIEMBRE | | 24.5 | 4 | 2.6 | 5 | 21.4 | 8.4 | 14.5 | 100 | 14 | 41 | 6 | 76 | 10.0 | 12.5 | 117.8 | 22.0 | 20 | 18 |
| VALOR ANUAL | | | | | | 20.9 | 10.4 | 14.8 | | | | | 77 | 10.7 | 13.0 | 776.9 | | | |

Tabla 4. 25 Anuario meteorológico 2008

| M142 | | | | | | | | SA | RAGI | JRC |) | | | | | | INAMH | | |
|---|-------------------------|----------------------|---------------|---------------------------------|---------------------------|--------------|--|---------------------------------|-----------------|--------------|----------------|--------------|----------------------------------|--|--------------------------------------|---|--------------------------------------|---------------------------|---------------------------------------|
| MES | HELIO FA NIA (Horas) | ABS Māxima | 30 L U | TAS | | | LA SOMBRA (C Medias Minima | () Mensual | H L Māx ima | | O REL | | | PUNTO DE ROCIO (°C) | TENSION DE VAPOR (1Pa) | PRECIPE Suma Mensual | FACIO Nộnm Máx in a 24 hrs | eı | Número de dias con predpliación |
| ENERO FEBRERO MARZO ABRIL MAYO JUNIO | | 23.0 | 7 | 4.1 3.1 2.5 4.0 5.0 | 18 15 21 14 7 | 20.0 21.4 | 8.1 7.2 6.4 7.2 8.9 9.6 | 148 143 150 148 148 | 100 99 99 | 10 7 1 | 53 55 56 | 13 5 4 | 75 85 84 86 84 81 | 10.2 11.7 12.1 12.3 11.8 11.1 | 12.8 14.0 14.2 14.3 13.9 | 58.2 148.0 155.5 115.3 83.7 46.1 | 18.5 23.3 26.8 18.6 18.0 | 25 16 30 7 27 | 20 25 25 23 21 |
| JULIO AGOSTO SEPTIEMBRE OCTUBRE NOVIEMBRE DICIEMBRE VALOR ANUAL | | 22.5 24.6 24.5 | 31 8 19 | 45 7.0 7.0 | 19 16 21 | | 9.9 10.0 10.4 | 14.1 15.2 15.3 | 99 98 100 | 9 1 31 | 56 62 71 | 9 27 | 83 89 92 | 11.0 13.2 13.9 | 13.2 15.3 16.1 | 23.2 107.0 62.6 | 4.2 16.0 12.9 | 11 26 27 | 19 23 20 |

Fuente:(INAMHI).

Tabla 4. 26 Anuario meteorológico 2009

| M142 | SVDVGIDU | INAMHI |
|--------|----------|--------|
| IW1142 | JARAGURU | INAWHI |

| | HEL IO FANIA | | TEM | IPERATU | JRA D | EL AIRE A | LA SOMBRA (10 |) | HU | MED | AD REL | ATIVA | (%) | PUNTO | TENSION | PRECIPI | TACIO N (tnrr | 1) | N Grnero |
|-------------|--------------|--------|------|---------|-------|-----------|---------------|---------|--------|-----|--------|-------|-------|----------|---------|---------|---------------|-----|--------------|
| MES | | AB | SOLU | TAS | | | MEDIAS | | 1 | | | | | DE ROCIO | DEVAPOR | Sıma | Māxim a | e 1 | de dias con |
| | (Horas) | Máxima | dla | Mir Ima | db | Mäxima | Mirima | Merstal | Máxima | dla | Mir ma | dla | Media | (9) | (i Pa) | Mensial | 241 6 | dh | predpilación |
| ENERO | | 24.0 | 19 | 9.5 | 16 | 20.6 | 11.4 | 15.4 | 100 | 29 | 69 | 6 | 93 | 14.3 | 16.4 | 150.7 | 31.3 | 23 | 25 |
| FEBRERO | | 24.3 | 25 | 92 | 20 | 20.9 | 11.6 | 15.4 | 100 | 1 | 81 | 1 | 95 | 14.6 | 16.8 | 87.0 | 26.3 | 17 | 18 |
| MARZO | | | | 62 | 14 | 21.5 | 11.2 | 15.6 | 100 | 2 | 76 | 17 | 94 | 14.6 | 16.8 | 108.2 | 22.7 | 12 | 21 |
| ABRIL | | | | | | 20.9 | 11.4 | 15.5 | 100 | 3 | 71 | 2 | 94 | 14.5 | 16.7 | 56.0 | 10.1 | 20 | 20 |
| MAYO | | | | | | 21.7 | 10.5 | 15.5 | | | | | 94 | 14.6 | 16.9 | 41.5 | 8.7 | 1 | 15 |
| JUNIO | | 23.6 | 5 | 7.0 | 15 | 20.8 | 10.4 | 15.2 | 100 | 7 | 79 | 5 | 95 | 14.4 | 16.7 | 21.4 | 72 | 11 | 18 |
| סחחס | | 23.8 | 21 | 5.8 | 11 | 20.1 | 10.6 | 14.8 | | | | | 95 | 14.0 | 16.2 | 26.3 | 6.5 | 22 | 19 |
| AGOSTO | | 25.3 | 16 | 5.8 | 6 | 20.5 | 10.5 | 15.0 | 100 | 6 | 84 | 15 | 96 | 14.3 | 16.6 | 22.0 | 4.1 | 19 | 16 |
| SEPTIEMBRE | | 24.8 | 16 | | | 21.0 | 10.4 | 15.5 | | | | | 95 | 14.7 | 17.0 | 20.4 | | | |
| OCTUBRE | | 26.2 | 12 | 6.5 | 29 | 23.1 | 9.8 | 15.9 | 100 | 11 | 85 | 21 | 96 | 15.2 | 17.8 | 68.3 | 26.1 | 21 | 17 |
| NOVIEMBRE | | 26.6 | 17 | 32 | 7 | 23.3 | 8.7 | 15.6 | 100 | 24 | 82 | 9 | 96 | 14.9 | 17.6 | 41.0 | 9.5 | 24 | 15 |
| DICIEMBRE | | 25.5 | 6 | 5.6 | 31 | 23.3 | 9.6 | 16.0 | | | | | 97 | 15.5 | 18.0 | 63.8 | 23.7 | 26 | 20 |
| VALOR ANUAL | | | | | | 21.5 | 10.5 | 15.5 | | | | | 95 | 14.6 | 17.0 | 706.6 | | | |

Tabla 4. 27 Anuario meteorológico 2010

| M142 | | | | | | | | SA | RAGURO | | | | INAMHI | | |
|-------------|--------------|--------|--------|---------|-----|-------|--------------------------|---------|-----------------------------|-------------------|--------------------|---------|------------------------|----|------------------------|
| MES | HEL IO FANIA | AB | 90 LU1 | TAS | | | LA SOMBRA (*C MEDIA S | | HUMEDAD RELATIVA (%) | PUNTO DE ROCKO | TENSION DEVAPOR | Suma | FACION (fnm Máxim a | eı | N Omero de d'as con |
| | (Horas) | Máxima | dia | MII Ina | Q B | Maxma | Mirma | Merstal | Máxima dia Minima dia Media | (0) | (I Pa) | Mensial | 241 6 | dB | predpilación |
| ENERO | | 24.8 | 24 | 7.5 | 2 | 21.3 | 10.9 | 15.9 | 97 | 15.4 | 17.8 | 29.8 | 6.5 | 11 | 15 |
| FEBRERO | | 25.2 | 5 | 8.5 | 15 | 22.0 | 11.6 | 16.4 | 96 | 15.8 | 18.2 | 111.3 | 34.0 | 24 | 27 |
| MARZO | | | | | | 22.1 | 11.3 | 16.6 | 96 | 16.0 | 18.4 | 56.4 | 17.8 | 31 | 24 |
| ABRIL | | | | | | 22.5 | 10.3 | 16.4 | 96 | 15.8 | 18.2 | 107.7 | | | |
| MAYO | | 25.6 | 22 | 6.6 | 24 | 22.1 | 10.6 | 16.3 | 95 | 15.5 | 18.0 | 91.9 | 25.5 | 2 | 22 |
| JUNIO | | 22.6 | 1 | 1.5 | 6 | 19.9 | 8.8 | 15.2 | 95 | 14.4 | 16.6 | 57.7 | 15.9 | 20 | 18 |
| סחחר | | 24.2 | 21 | | | 21.7 | 8.7 | 15.1 | 96 | 14.5 | 17.1 | 52.1 | 13.4 | 13 | 10 |
| AGOSTO | | | | | | 20.7 | 7.6 | 14.5 | 95 | 13.7 | 16.1 | 16.2 | | | |
| SEPTIEMBRE | | 26.0 | 28 | 42 | 10 | 22.0 | 8.3 | 15.2 | 95 | 14.4 | 17.1 | 29.1 | 9.8 | 1 | 8 |
| OCTUBRE | | 27.0 | 31 | 45 | 6 | 23.0 | 9.0 | 15.6 | 96 | 15.0 | 17.7 | 36.1 | 15.1 | 19 | 10 |
| NOVIEMBRE | | 26.2 | 5 | 4.0 | 9 | 23.0 | 8.2 | 14.8 | 96 | 14.2 | 16.9 | 63.2 | 17.7 | 13 | 16 |
| DICIEMBRE | | | | | | 21.5 | 9.8 | 15.0 | 97 | 14.5 | 16.9 | 112.5 | | | |
| VALOR ANUAL | | | | | | 21.8 | 9.6 | 15.6 | 95 | 14.9 | 17.4 | 764.0 | | | |

Fuente:(INAMHI).

A continuación se muestran el histórico de las precipitaciones máximas desde 1991 al 2010.

Tabla 4. 28 Año y precipitación máxima correspondiente

| AÑO. | PRECIPITACIÓN. |
|------|----------------|
| 1991 | 24 |
| 1992 | 19.8 |
| 1993 | 34.7 |
| 1994 | 24.5 |
| 1995 | 38.2 |
| 1996 | 30.9 |
| 1997 | 25.6 |
| 1998 | 63.5 |
| 1999 | 51.2 |
| 2000 | 35.1 |
| 2001 | 23.4 |
| 2002 | 36 |
| 2003 | 27 |
| 2004 | 27.6 |
| 2005 | 35.2 |
| 2006 | 27.8 |
| 2007 | 48.6 |
| 2008 | 26.8 |
| 2009 | 31.3 |
| 2010 | 34 |

Para lograr una estimación estadística debemos organizar los datos de menor a mayor como se presenta a continuación.

Tabla 4. 29 Muestra y orden de precipitación máxima

| MUESTRA. | ORDEN. |
|----------|--------|
| 1 | 19.8 |
| 2 | 23.4 |
| 3 | 24 |
| 4 | 24.5 |
| 5 | 25.6 |
| 6 | 26.8 |
| 7 | 27 |
| 8 | 27.6 |
| 9 | 27.8 |
| 10 | 30.9 |

| 11 | 31.3 |
|----|------|
| 12 | 34 |
| 13 | 34.7 |
| 14 | 35.1 |
| 15 | 35.2 |
| 16 | 36 |
| 17 | 38.2 |
| 18 | 48.6 |
| 19 | 51.2 |
| 20 | 63.5 |

El análisis de la precipitación máxima en 24 horas se lo realizará con el Método de Gumbel. (INVIAS, 2009).

$$x = \mu - \alpha[\ln(-\ln(F(x)))]$$
 (Ecuación52)

$$\alpha = \frac{\sqrt{6}s}{\pi}$$
 (Ecuación53)

$$\mu = \dot{x} - 0.5772\alpha \tag{Ecuación 54}$$

μ= Parámetro de ubicación de moda

x= Media aritmética

α= Parámetro de escala

s= Desviación Estándar.

El periodo de retorno considerado es de 100 años establecido por la Norma de diseño geométrico de carreteras para caminos vecinales (MTOP, 2003).

$$T(X) = \frac{1}{1 - F(x)}$$
 (Ecuación55)

T(x)=Periodo de retorno

F(x)= Función de probabilidad

X= Precipitación proyectada

El valor de la frecuencia observada se obtiene de la siguiente manera.

Frecuencia observada =
$$\frac{1}{20}$$
 (Ecuación 56)

Frecuencia observada = 0.05

Frecuencia teorica =
$$e^{-e^{\frac{\mu-x}{\alpha}}}$$
 (Ecuación57)

Frecuencia teorica =
$$e^{-e^{\frac{28.45-24}{8.32}}}$$

Frecuencia teorica = 0.18.

Tabla 4. 30 Valores calculados para el método de Gumbel

| media (x) | 33.26 |
|-----------------------------|-------------|
| desv estndr(s) | 10.6746823 |
| α | 8.32301564 |
| μ | 28.45595537 |
| PERIODO DE RETORNO | 100 |
| F(x) | 0.99 |
| X(precipitación proyectada) | 66.74306933 |
| frecuencia observada | 0.05 |
| frecuencia teorica | 0.181211044 |
| \overline{Fnxi} | 0.5 |
| | |

4.5.1 Test de Kolmogorov Smirmov

Para el test de Kolmogorov necesitamos sacar la frecuencia acumulada y la frecuencia teórica. El primer valor para la frecuencia acumulada viene dado por la ecuación.

$$Frecuencia\ acumulada 1 valor = \frac{1}{20+1}$$
 (Ecuación 58)

Frecuencia acumulada1valor = 0.04761

Para la muestra 2 el valor sería 0.04761+0.04761=0.09523 (Ecuación59)

Para la muestra 3 el valor sería 0.09523+0.04761=0.1428

(Ecuación60)

Frecuencia teorica =
$$e^{-e^{\frac{\mu-x}{\alpha}}}$$

Fn(xi)=Frecuencia acumulada

F(xi)= Frecuencia acumulada teórica.

Tabla 4. 31 Valores obtenidos del Test de Kolmogorov-Smirmov

| MUESTRA | ORDEN | Frecuencia acumulada | frecuencia acmulada teorica | D=Sup[Fn(xi-F(xi)] | [Fn(xi)-F(xi)]^2 | $ Fn(xi) - \overline{Fnxi} ^2$ |
|---------|-------|----------------------|-----------------------------|--------------------|------------------|--------------------------------|
| 1 | 19.8 | 0.047619048 | 0.059058694 | 0.011439647 | 0.000130866 | 0.204648526 |
| 2 | 23.4 | 0.095238095 | 0.159489841 | 0.064251746 | 0.004128287 | 0.009070295 |
| 3 | 24 | 0.142857143 | 0.181211044 | 0.038353901 | 0.001471022 | 0.020408163 |
| 4 | 24.5 | 0.19047619 | 0.200187329 | 0.009711138 | 9.43062E-05 | 0.036281179 |
| 5 | 25.6 | 0.238095238 | 0.244298279 | 0.006203041 | 3.84777E-05 | 0.056689342 |
| 6 | 26.8 | 0.285714286 | 0.295190503 | 0.009476217 | 8.97987E-05 | 0.081632653 |
| 7 | 27 | 0.333333333 | 0.303867266 | 0.029466068 | 0.000868249 | 0.111111111 |
| 8 | 27.6 | 0.380952381 | 0.330114322 | 0.050838059 | 0.002584508 | 0.145124717 |
| 9 | 27.8 | 0.428571429 | 0.338916631 | 0.089654798 | 0.008037983 | 0.183673469 |
| 10 | 30.9 | 0.476190476 | 0.474478875 | 0.001711601 | 2.92958E-06 | 0.22675737 |
| 11 | 31.3 | 0.523809524 | 0.491371239 | 0.032438285 | 0.001052242 | 0.274376417 |
| 12 | 34 | 0.571428571 | 0.59827608 | 0.026847509 | 0.000720789 | 0.326530612 |
| 13 | 34.7 | 0.619047619 | 0.623588005 | 0.004540386 | 2.06151E-05 | 0.383219955 |
| 14 | 35.1 | 0.666666667 | 0.637561011 | 0.029105656 | 0.000847139 | 0.444444444 |
| 15 | 35.2 | 0.714285714 | 0.640997513 | 0.073288201 | 0.00537116 | 0.510204082 |
| 16 | 36 | 0.761904762 | 0.667662246 | 0.094242516 | 0.008881652 | 0.580498866 |
| 17 | 38.2 | 0.80952381 | 0.733345054 | 0.076178756 | 0.005803203 | 0.655328798 |
| 18 | 48.6 | 0.857142857 | 0.914940221 | 0.057797364 | 0.003340535 | 0.734693878 |
| 19 | 51.2 | 0.904761905 | 0.937024857 | 0.032262952 | 0.001040898 | 0.818594104 |
| 20 | 63.5 | 0.952380952 | 0.985270585 | 0.032889633 | 0.001081728 | 0.907029478 |
| | | | MAXIMO | 0.094242516 | 0.045606388 | 6.71031746 |

Escogemos el D máximo 0.09424 luego con una confiabilidad del 95%, numero de valores de muestra 20 con estos datos recabados y usando la tabla del test de Kolmogorov Smirmov.

Tabla 4. 32 Distribución del estadístico del Test de Kolmogorov

| 72 | 0'2 | 0'1 | 0'05 | 0'02 | 0'01 |
|----|-------|-------|-------|-------|-------|
| 1 | 0'900 | 0'950 | 0'975 | 0'990 | 0'995 |
| 2 | 0'684 | 0'776 | 0'842 | 0'900 | 0'929 |
| 3 | 0'565 | 0'636 | 0'780 | 0'785 | 0'829 |
| 4 | 0'493 | 0'565 | 0'624 | 0'689 | 0'734 |
| 5 | 0'447 | 0'509 | 0'563 | 0'627 | 0'669 |
| 6 | 0'410 | 0'468 | 0'519 | 0'577 | 0'617 |
| 7 | 0'381 | 0'436 | 0'483 | 0'538 | 0'576 |
| 8 | 0'358 | 0'410 | 0'454 | 0'507 | 0'542 |
| 9 | 0'339 | 0'387 | 0'430 | 0'480 | 0'513 |
| 10 | 0'323 | 0'369 | 0'409 | 0'457 | 0'489 |
| 11 | 0'308 | 0'352 | 0'391 | 0'437 | 0'468 |
| 12 | 0'296 | 0'338 | 0'375 | 0'419 | 0'449 |
| 13 | 0'285 | 0'325 | 0'361 | 0'404 | 0'432 |
| 14 | 0'275 | 0'314 | 0'349 | 0'390 | 0'418 |
| 15 | 0'266 | 0'304 | 0'338 | 0'377 | 0'404 |
| 16 | 0'258 | 0'295 | 0'327 | 0'366 | 0'392 |
| 17 | 0'250 | 0'286 | 0'318 | 0'355 | 0'381 |
| 18 | 0'244 | 0'279 | 0'309 | 0'346 | 0'371 |
| 19 | 0'237 | 0'271 | 0'301 | 0'337 | 0'361 |
| 20 | 0'232 | 0'265 | 0'294 | 0'329 | 0'352 |

Fuente: (INVIAS, 2009).

El valor que escogemos es 0.294 por lo tanto D<Dt, por lo tanto el ajuste es adecuado.

$$R^{2} = 1 - \frac{\sum (Fn(x)i) - F(x)i)^{2}}{\sum (Fn(x)i - \overline{Fn(x)1})^{2}}$$
(Ecuación61).

$$0 \le R^2 \le 1$$

Fn(x)1 = media de frecuencias observadas acumuladas.

$$R^2 = 0.99$$

Por lo tanto, si cumplió con lo estipulado.

Precipitación proyectada para 100 años = 66.74 mm/h

$$Id_{TR} = 66.74/24$$

$$Id_{TR} = 2.78$$
mm/h

Peña Cabrera, Cabrera Guambaña 125

De acuerdo a los mapas de zonificación, se escoge la fórmula de acuerdo a la región que

se analiza y el tiempo de concentración escogemos de 5 minutos por ser la condición

mas desfavorable.

 $I_{TR} = 97.389. t^{-0.6117}. Id_{TR}$

(Ecuación62)

 $I_{TR} = 97.389.5^{-0.6117} * 2.78 mm/h$

 $I_{TR} = 101.15 \text{mm/h}$

 $I_{TR} = 101.15 \frac{mm}{h} * \frac{1h}{3600 seg} * \frac{1m}{1000 mm} = 0.000028 m/s$

4.5.2 Diseño del Caudal Máximo

Para el diseño del caudal máximo necesitamos estimar mediante el método racional ya

que tiene un área de aporte menor a 400 Ha (MTOP, 2003).

Pendiente longitudinal máxima: 8.4%

Pendiente de la cuneta: 3H:1V (33.33%)

N (rugosidad):0.014

C ladera: 0.6

C calzada: 0.9

Longitud del tramo con mayor pendiente= 165m

Aladera= 20*165

Aladera=3300 m2

Acalzada= 2.2*165

Acalzada= 363m2.

Areatotal= 3300m2+363m2

Areatotal= 3663 m2. (0.3663ha)

Por tanto, se usará el método racional para estimar el caudal.

Cponderado = ((Cladera*Aladera) + (Ccalzada*Acalzada))/(Aldera+Acalzada)

(Ecuación63)

Cponderado = ((0.6*3300)+(0.9*363))/(3663)

Cponderad0 = 0.63.

Q=Cponderado*Idtr*Areatotal

(Ecuación64)

Q=0.63*0.000028m/s*3663m2

Q=0.065 m3/s.

Calculo del tirante crítico

Área de la cuneta triangular

$$A = \frac{z(y^2)}{2}$$
 (Ecuación65)

Perímetro mojado

$$Pm = y + y(\sqrt{1 + z^2})$$
 (Ecuación66)



 $tg^{-1}(pendientedesdelacalzada) = \theta_1$

 $(ángulodesdelacalzada) = \theta_1$

$$ctg\theta 1 = z$$
 (Ecuación67)

Qcuneta =
$$\frac{\left((So)^{\frac{1}{2}} \right) \left(\frac{z(y^2)}{2} \right)^{\frac{5}{3}}}{\left(y + y(\sqrt{1 + z^2}) \right)^{\frac{2}{3}}(n)}$$
 (Ecuación68).

$$0.065 = \frac{((8.4/100)^{\frac{1}{2}})(\frac{3(y^2)}{2})^{5/3}}{\left(y + y(\sqrt{1+3^2})\right)^{\frac{2}{3}}(0.014)}$$

Y=0.13m.

Sección de diseño

Alto=0.2m

Ancho=0.6m

Pendiente del 33.33%

Área = 0.06m2

Perímetro mojado= 0.8324m.

4.5.3 Diseño de cunetas

Para el diseño de cunetas utilizamos la fórmula de Henderson recomendada por la Norma de diseño geométrico (MTOP, 2003).

Según la formula Henderson estipula los siguientes criterios.

$$V_0 = \frac{i}{3.6*10^6}$$
 (Ecuación69)

$$a = \frac{So^{1/2}}{n}$$
 (Ecuación70)

$$t_e = \left(\frac{L}{Vo^{\frac{2}{3}}*a}\right)^{3/5}$$
 (Ecuación71)

$$qm\acute{a}x = a * (Vo * te)^{5/3}$$
 (Ecuación72).

So=Pendiente media de la superficie

n=Coeficiente de rugosidad

L=Longitud del tramo

i= Intensidad de precipitación en exceso

te = Tiempo de equilibrio para que se presente el qmax (s)

4.5.4 Diseño hidráulico de cunetas

Es de mucha importancia ya que con la ayuda de la ecuación de Manning se estima el caudal que lleva la cuneta, el mismo que debe ser mayor al qmáx. (Chow, 1994).

$$Q = \frac{(Am)*(R)^{\frac{2}{3}}*(So)^{1/2}}{n}$$
 (Ecuación73)

Am= Área mojada (m2)

R= Radio hidráulico (m)

So= Pendiente del fondo

n=Coeficiente de rugosidad

Q= Caudal de diseño (m3/s)

4.5.5 Datos y resultados de cálculos

n=0.014.

w = 4.4m.

So=2%.

I=101.16mm/h.

Tabla con resultados en el ANEXO D.

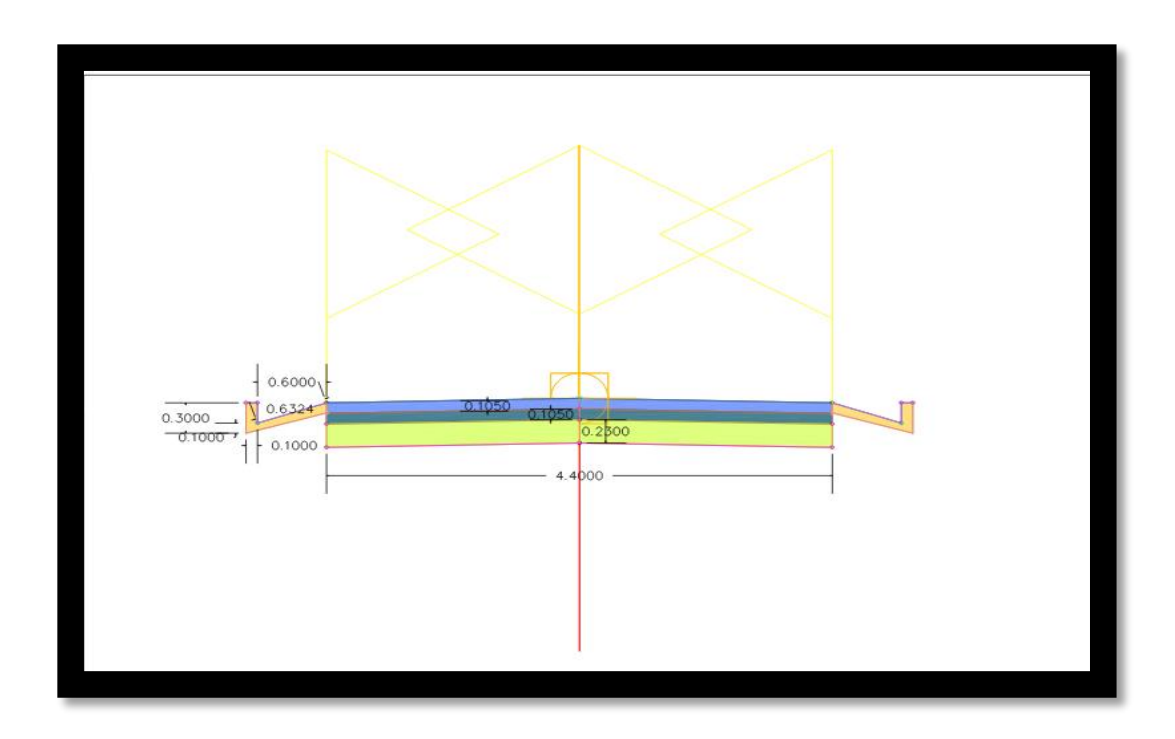


Figura 4. 6 Cuneta tipo.

4.5.6 Diseño de alcantarillas

Para el diseño hidraúlico se toma en cuenta tanto el caudal máximo, pendiente máxima, velocidad máxima y altura de remanso.

Para este caso utilizamos la ecuación de Manning, con lo cual observamos el coeficiente de rugosidad en la tabla 4.1.

Con lo cual obtenemos un valor de 0.024 para metal corrugado sin revestir.

4.5.7 Flujo con control de salida

El control en el flujo de salida se da cuando en la sección de entrada se genera un flujo subcritico y a la salida un flujo supercrítico.

Los datos de entrada para generar este control son los siguientes:

Tipos y dimensiones de la sección transversal

Geometría de la embocadura

Nivel de agua en la entrada

Nivel de agua a la salida

Pendiente del conducto

Rugosidad del conducto

Largo del conducto.

Dentro de su clasificación podemos tener de 4 tipos como se cita a continuación:

- A. Sección llena con nivel de aguas abajo por encima del dintel de la sección de salida
- B. Sección llena con nivel de aguas abajo por debajo del dintel de la sección de salida
- C. Sección parcialmente llena en un tramo del conducto
- D. Sección parcialmente llena en todo el conducto

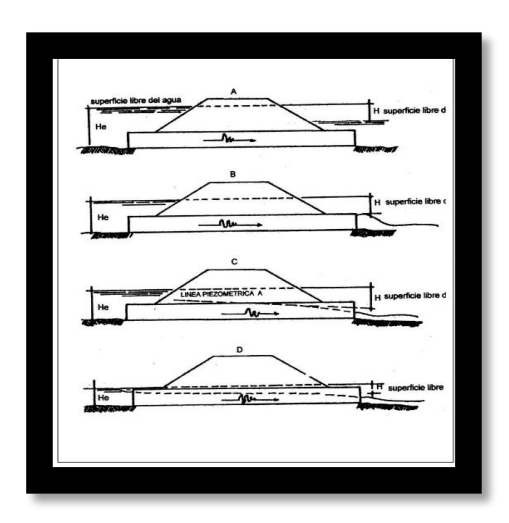


Figura 4. 7 Flujo con control de salida

Fuente: (MTOP, 2003).

Para el cálculo del flujo de control de salida tenemos que realizar la ecuación de energía entre la sección de entrada y la de salida.

Resultando la siguiente ecuación.

He=H+H1-L*i. (Ecuación74)

He= Nivel de agua a la entrada.

H1= Nivel de aguas a la salida.

H= Energía empleada en la obtención de energía de velocidad a la salida, mas la perdida por fricción y pérdidas a la entrada.

L= Longitud del conducto.

i= Pendiente del conducto.

Para lo cual analizamos el caso A en donde:

$$H = h_v + h_e + h_f (Ecuación75)$$

$$h_v = \frac{V^2}{2*g} \tag{Ecuación76}$$

$$h_e = K_e * \frac{V^2}{2*g}$$
 (Ecuación77)

$$h_e = \frac{2*g*n^2*V^2*L}{R^{4/3}*2g}$$
 (Ecuación78)

Lo cual viene de:

$$h_f = L * S_f$$
 (Ecuación79)

$$V = \frac{R^{\frac{2}{3}} \cdot S^{1/2}}{n}$$
 (Ecuación80)

$$S = \frac{V^2 n^2}{R^{4/3}}$$
 (Ecuación81)

$$h_f = L * \frac{V^2 n^2}{R^{4/3}}$$
 (Ecuación82).

El valor de H1 es un valor conocido ya que es el tirante crítico de la sección circular de metal corrugado.

El valor de Ke es una valor que se determina utilizando la tabla anexada en la parte de abajo.

| TUBOS DE CONCRETO | $- \Box$ | ESPIGA SALIENTE (Ne se recomiendo su use) | 0.5 | |
|-------------------------------|----------|--|-----|--|
| | | CON ALETAS (NO" . 90") CAMPANA ET EL EXTREMO | 0.2 | |
| | | CON ALETAS (« 0° « 90°) ESPIGA EN EL EXTREMO (Moserscamiende su uso) | | |
| | | CON ALETAS (~ 0° - 90°) REDONDEADA (Rod 0/12) | | |
| | | SECCION TERMINAL PREFABRICADA DE ACUERDO CON TALUD | 0.5 | |
| TUBOS O ARCOS METAL CORRUGADO | -= | EXTREMO SALIENTE | 0.9 | |
| | | CON ALETAS (~ 0° • 90°) | 0.8 | |
| | | CHAFLANADO DE ACUERDO CON TALUD | 0.7 | |
| | | SECCION TERMINAL PREFABRICADA DE ACUFRDO CON TALUB | 0.5 | |
| CALONES DE CONCRETO ARMADO | | ALETAS O MUROS DE CABECERAS | | |
| | - = | MURO DE CABECERA TRES ARISTAS REDONDEADAS (Roses: %) emention (quin) | 0.2 | |
| | | ALETA W ENTRE 30" V 75" ARISTA SUPERIOR REDONDEADA : Podio - //; d-mantion coido 3 | 0.7 | |

Figura 4. 8 Valor de Ke

Fuente: (MTOP, 2003).

Para nuestro caso tomamos un valor de Ke de 0.5 para secciones con aletas entre 0° y 90° de metal corrugado.

4.5.8 Cálculo de alcantarillas del proyecto

• Cálculo de área de alcantarillas en quebradas



Figura 4. 9 Longitud de quebrada en el sector de María Auxiliadora.

Fuente: Google Earth.

La longitud determinada para la quebrada 1 es de 2892,34m.



Figura 4. 10 Longitud de quebrada en el sector de Yaguarcocha

Fuente: Google Earth.

La longitud de la quebrada 2 determinada es de 4155.65 m.

Tabla con los resultados en el ANEXO E, planos con el diseño de las alcantarillas en el ANEXO I.

CAPITULO 5

PRESUPUESTO

El presupuesto o también llamado estimado se define como el proceso de estimar de manera anticipada el número de materiales, mano de obra, equipo y utilidad por parte del contratista según manifiesta el Ing. Leopoldo Varela en su libro Ingeniería de costos teórica y práctica (Varela, 2009).

El presupuesto se encuentra en el ANEXO G.

5.1 Determinación de rubros

- 1. Obras preliminares
- 2. Excavaciones y colocación de alcantarillas
- 3. Hormigón
- 4. Acero
- 5. Desalojo y compactación
- 6. Colocación de agregados
- 7. Señalización.

5.2 Cantidades de obra

El cálculo de las cantidades de obra, conocido como cubicación, es un método empleado en el área de la construcción, el cual significa que, basándose en los planos, especificaciones técnicas y el listado de actividades constructivas que componen el proyecto de edificación, permite al contratista obtener el volumen de materiales necesarios en forma ordenada y ágil, ofreciendo la posibilidad de revisar, controlar y modificar los datos en caso de que sea necesario. Se obtiene valores como un producto estos son metros cúbicos, metros lineales, metros cuadrados, quintales, kilogramos, entre otras.

5.2.1 Objetivo

Obtener las cantidades de obra necesarias para la construcción de la carpeta asfáltica como producto final, en la vía San Fernando-Yaguarcocha.

5.2.2 Desarrollo

En el presente trabajo se procederá a dividir las actividades por capítulos, teniendo: obras preliminares, excavaciones, colocación de tubería para alcantarillas, colocación de agregados, acero, hormigones y señalización.

La tabla de cantidad de obra se encuentra en el ANEXO F.

5.3 Análisis de precios unitarios

El análisis de precios unitarios es una técnica estimativa del valor del proyecto, y se trata de reflejar la cantidad de materiales, mano de obra y equipo. El análisis de precios unitarios está conformado por los costos directos y los costos indirectos en los mismos que se incluyen costo por financiamiento, cargo por la utilidad del contratista y cargos adicionales según expresa el Ing. Leopoldo Varela en su libro Ingeniería de costos (Varela, 2009).

Consta de los siguientes campos por lo general de 6 columnas en donde están colocados: Item, Rubro, Unidad, Cantidad, Costo unitario, Costo total.

Tabla 5.1 Formato para costos

| ITEM | RUBRO | UNIDAD | CANTIDAD | COSTO | COSTO |
|------|-------|--------|----------|----------|-------|
| | | | | UNITARIO | TOTAL |
| | | | | | |

El análisis de precios unitarios se encuentra en el ANEXO G

Costos directos

El costo directo es la suma tanto de la mano de obra, material y equipo. Para la elaboración de este según Álvaro Beltrán en su libro costos y presupuestos (Álvaro, 2012), se inicia por los planos y especificaciones que tendrán que estar desarrollados de buena forma para disminuir el error que puede existir, luego tenemos la determinación del concepto de obra para definir el alcance de la obra, después tenemos el listado de materiales, la cuantificación del concepto y la maquinaria y equipo necesarios para el desarrollo de la obra.

Costos Indirectos

El gasto que no sea necesario para la elaboración de un producto se considera como un costo indirecto especialmente los gastos para dirección técnica, administración, organización, vigilancia, supervisión, fletes, acarreos y prestaciones sociales.

Los costos indirectos de administración y de campo, es necesario conocer la estructura de organización de las oficinas en forma general y particular según manifiesta Álvaro Beltrán en su libro costos y presupuestos (Álvaro, 2012).

CONCLUSIONES

- Mediante el conteo vehicular, el cual se consideró del lunes 21 de noviembre del 2015 al domingo 27 de noviembre del 2015 se observó un tráfico de 2250 vehículos y con los conteos automáticos se obtuvo factores horario, diario, semanal, mensual. Teniendo finalmente un TPDA de 445 vehículos.
- En el presente proyecto vial, el radio de curvatura fue de 45m para una velocidad de diseño de 40 Km/h, de acuerdo al estudio de tráfico realizado. Por lo que, en la primera, cuarta y quinta curva se evidencia un radio de curvatura menor al estipulado, por lo que solo en estos tramos se necesitara una velocidad de diseño de 25 Km/h de acuerdo a lo que estipula Norma Ecuatoriana Vial en la Tabla 2A.204-203.Para el diseño vertical se evitó hacer cortes muy grandes debido a la presencia de sistemas de riego de los cuales no se tiene un conocimiento de la profundidad a la que se encuentran, además de la presencia de 2 quebradas las cuales ya cuentan con alcantarillas para su respectiva conducción, por lo que para cumplir con el diseño geométrico vertical se optó por más volúmenes de relleno y por último la sección transversal debido al estudio de tráfico efectuado, según la Norma Ecuatoriana lo clasifica en una camino agrícola forestal con un ancho mínimo de 2m de calzada, para nuestro caso escogimos un ancho de 2.2m de calzada, 0.7m de ancho de cuneta por presentarse un ancho de vía muy reducido.
- El estudio de suelos fue donado por el GAD de San Fernando, se observó que en todas las calicatas teníamos limos de alta y baja plasticidad y arenas limosas.
- Obtuvimos un CBR del 2.3% de los estudios de suelo, mismo que nos permitió diseñar una estructura vial, de 4 pulgadas de pavimento flexible, 4 pulgadas de material de base granular, y 11 pulgadas de sub-base granular.

- En cuanto al estudio hidrológico y de drenaje, se evidencio 2 alcantarillas que conducían agua de dos quebradas, las mismas se encontraron en buenas condiciones, y con una capacidad hidráulica óptima, estaban compuestas de metal corrugado y con un diámetro de 1.2m y una pendiente del 0.5%.
- Las cunetas las diseñamos tomando en cuenta tramos específicos para que el mayor porcentaje proveniente de laderas se puedan drenar conjuntamente con el agua de las cunetas.
- El presupuesto estimado para el proyecto vial es de dos millones setecientos cincuenta y dos mil noventa y nueve con 16/100 dólares (\$2, 752,099.16).

BIBLIOGRAFÍA

AASHO. (1962). The AASHO Road Test. Washigton, DC.

AASHTO. (1993). Guia para el Diseño de Estructuras de Pavimentos.

Álvaro, B. (2012). Costos y presupuestos.

Autodesk. (20 de Enero de 2015). AutocadCivil3D.

Casanova, L. (2012). Topografía Plana. Mérida.

Chow, V. T. (1994). Hidraulica de canales abiertos.

Corredor, I. G. (s.f.). Experimento vial de la AASHO y las Guias de diseño AASHTO.

Das, B. M. (s.f.). Fundamentos de ingenieria geotécnica.

Dirección financiera del G.A.D de San Fernando. (2014). *Estudio economico del cantón San Fernando*. San Fernando.

INAMHI. (2014). Anuario Meteorológico. Recuperado el 11 de Diciembre de 2015, de servicio meteorologico: http://www.serviciometeorologico.gob.ec/wpcontent/uploads/anuarios/meteorologicos/Am%202011.pdf

INAMHI. (s.f.). Manual hidrologico del Ecuador.

INEC. (s.f.). *Instituto Nacional de estadisticas y censos*. Recuperado el 23 de Diciembre de 2015, de http://www.ecuadorencifras.gob.ec/

INVIAS. (2009). Manual de drenaje para carreteras.

Iturbide, I. J. (2002). *Manual Centroamericano para el diseño de pavimentos*. Gautemala.

Jacob, C. (1985). Carreteras Estudio y Proyecto. Vega.

Medellin, U. N. (s.f.). *unal*. Obtenido de http://www.docentes.unal.edu.co/eazapata/docs/CIV-CLASE%2020.pdf

Milton, T. E. (s.f.). Ingenieria de Pavimentos.

- Ministerio de Transporte y Obras Públicas. (2013). *MTOP*. Recuperado el 14 de Octubre de 2015, de Norma Ecuatoriana Vial:

 http://www.obraspublicas.gob.ec/norma-ecuatoriana-vial-nevi-12/
- MTOP. (2002). MOP 001 –F-2002. En MTOP, Especificaciones generales para la construcciones de caminos y puentes.
- MTOP. (2003). Normas de diseño geometrico de carreteras.
- MTOP. (2013). Norma Ecuatoriana Vial. Quito.
- SHE. (2014). En S. N. Hidrocarburos, *Consumo de combustibles de la provincia del Azuay*.
- sjnavarro. (s.f.). *wordpress*. Obtenido de https://sjnavarro.files.wordpress.com/2008/08/movimiento-de-tierra1.pdf
- USON. (s.f.). Recuperado el 1 de octubre del 2015, de http://tesis.uson.mx/digital/tesis/docs/8693/Capitulo6.pdf
- Varela, L. (2009). Ingenieria de Costos Teórica y práctica en construcción. Mexico.

ANEXOS.